



REGIONE PUGLIA
PROVINCIA DI FOGGIA



Progetto per la realizzazione di un impianto fotovoltaico sito nel Comune di Ascoli Satriano (FG) in loc. "Zambaglione"



COMUNE DI ASCOLI SATRIANO

COMMITTENTE

Ascoli Satriano PV s.r.l.

Via Giovanni Boccaccio - 20123 Milano

p.iva 15423421005

PROGETTAZIONE

Leukos

LEUKOS Consorzio Stabile

Via Giuseppe Mengoni n. 4
20121 Milano
www.leukos.org

FDGL

FDGL s.r.l.

Via Ferrera n. 39
83100 Avellino
www.fdgl.it

Progettista:
Ing. Fabrizio Davide



Collaboratori:
Ing. Mario Lucadamo
Ing. Antonello della Sala

PROGETTO DEFINITIVO

Elaborato:

DEF-REL.03 - Relazione idrologica ed idraulica



Dott. Geologo Nicola Polzone

SCALA

DATA

11/2021

FORMATO STAMPA

A4

REDATTO

APPROVATO

DESCRIZIONE E REVISIONE DOCUMENTO

DATA:

REV.N°

| REDATTO | APPROVATO | DESCRIZIONE E REVISIONE DOCUMENTO | DATA: | REV.N° |
|---------|-----------|-----------------------------------|-------|--------|
| | | | | |
| | | | | |
| | | | | |

INDICE

| | |
|---|----|
| 1. Premessa e metodologie di studio----- | 2 |
| 2. Metodologie di calcolo per la stima delle portate massime annuali----- | 3 |
| 3. Caratteristiche morfometriche ed altimetriche del bacino idrografico ----- | 10 |
| 4. Bilancio idrologico e calcolo coefficienti idraulici----- | 14 |
| 5. Durata critica e calcolo portate----- | 20 |
| 6. Verifica sezioni d'alveo ----- | 22 |
| 7. Conclusioni----- | 25 |

Allegati

1. Stralcio aerofotogrammetrico con ubicazione interventi;
2. Planimetria con individuazione dell'Idrografia e Bacino;
3. Tabulati di calcolo idrologici ed idraulici;
4. Planimetria sezioni di calcolo;
5. Tabulati di calcolo della verifica delle sezioni dell'alveo;
6. Copia del documento d'identità.

1. PREMESSA E METODOLOGIE DI STUDIO

Il presente studio idrologico ed idraulico è stato redatto, su incarico della ditta ASCOLI SATRIANO PV S.r.l., ai fini del "*Progetto per la realizzazione di un impianto fotovoltaico nel Comune di Ascoli Satriano (FG) in loc. Zambaglione*".

Come suggerisce il titolo stesso dell'intero studio sono state effettuate analisi sia in campo idrologico che idraulico, al fine di ottemperare alle Norme di Attuazione dell'Autorità di bacino competente sul territorio comunale di Ascoli Satriano.

Lo studio di compatibilità idrologica ed idraulica, come richiesto espressamente dalle Norme di Attuazione del PAI vigente (cfr. art. 6 "*Aree di alveo in modellamento attivo/Aree golenali*"), è stato svolto al fine di analizzare compiutamente gli effetti sul regime idraulico a monte e a valle dell'area interessata dall'intervento in oggetto.

Il lavoro, allo scopo di definire le caratteristiche idrologiche ed idrauliche del sito, è stato svolto secondo il seguente programma d'indagini:

- Individuazione del bacino idrografico di competenza e relativo studio delle caratteristiche morfometriche ed altimetriche;
- Studio dei dati pluviometrici forniti dagli Annali idrologici;
- Bilancio idrologico e calcolo parametri idrologici ed idraulici;
- Calcolo delle portate massime di piena per differenti periodi di ritorno;
- Verifica delle sezioni d'alveo.

2. METODOLOGIE DI CALCOLO PER LA STIMA DELLE PORTATE MASSIME ANNUALI

La stima dei massimi istantanei della portata di piena corrispondenti ad assegnati valori del periodo di ritorno T può essere effettuata con diversi tipi di approcci. Tra questi, vengono spesso utilizzati i modelli di *Gumbel* e il modello *T.C.E.V.*

Il limite delle analisi statistiche locali è che presuppone la disponibilità di serie di misure delle portate massime annuali per bacino di calcolo. Nel caso in cui il bacino non sia attrezzato questa metodologia non è applicabile. I metodi di analisi statistica regionale tentano di superare questo limite attraverso l'individuazione di zone, a livello regionale, in cui la funzione di distribuzione della probabilità delle portate di massima annuale $F(x)$ possa essere considerata praticamente identica. La grandezza $F(x)$ prende il nome di *Curva di crescita regionale* e consente di identificare, all'interno della zona omogenea, l'andamento delle portate di massima piena, a meno di un fattore di scala, in funzione del tempo di ritorno.

Nell'ambito del Progetto VAPI del G.N.D.C.I./C.N.R. il territorio nazionale è stato suddiviso in aree idrologicamente omogenee, caratterizzate pertanto da un'unica distribuzione di probabilità delle piene annuali rapportate al valore medio (legge regionale di crescita con il periodo di ritorno $K_T(T)$).

L'indagine regionale volta alla determinazione di tale legge è stata svolta per la regione d'interesse nel Rapporto VAPI Puglia. I risultati sono stati ottenuti sotto forma di una relazione tra K_T e T esplicitata

come:

$$T = \frac{1}{1 - F_K(k)} = \frac{1}{1 - \exp(-\Lambda_1 e^{-\eta k} - \Lambda_* \Lambda_1^{1/\theta_*} e^{-\eta k/\theta_*})}$$

Nelle pratiche approssimazioni, sempre per la regione Puglia, è possibile anche fare riferimento all'espressione semplificata del tipo:

$$K_T = \left(\frac{\theta_* \text{Ln } \Lambda_*}{\eta} + \frac{\text{Ln } \Lambda_1}{\eta} \right) + \frac{\theta_*}{\eta} \text{Ln } T$$

che, dati i valori assunti dai parametri della distribuzione T.C.E.V. in Puglia, diventa:

$$K_T = 0.5648 + 0.415 \text{Ln } T$$

con un errore inferiore al 3% per $T \geq 5$ anni.

Le grandezze λ_1 , λ_* , θ_* , η sono i parametri regionalizzati della curva di crescita, quindi invarianti all'interno della zona omogenea alla quale si riferiscono.

Per applicare tale metodologia bisogna procedere come segue:

- s'individua nella zona omogenea a cui appartiene il bacino da verificare un corso d'acqua attrezzato, per il quale siano disponibili i dati relativi alle portate massime annuali per un intervallo di tempo sufficientemente lungo (almeno dieci anni);
- si calcola la portata massima annuale media Q_m , mediando i dati di portata misurati;

-
- si calcola l'area del bacino A_r rispetto alla sezione dell'alveo in corrispondenza della quale è stato posto il misuratore di portate;
 - si stima la portata indice con la relazione:

$$q^* = Q_m(A_b/A_r)$$

Ad ogni modo nel nostro caso, non avendo dagli Annali Idrologici della Puglia dati di riferimento sulle portate annuali, si è scelto di effettuare i calcoli delle portate massime applicando i *metodi cinematici*, i quali necessitano, prima della loro calcolazione, di una serie di elaborazioni dei dati idrologici e morfometrici del bacino idrografico al fine di individuarne le diverse caratteristiche, sia dal punto di vista morfometrico che idraulico.

Metodi cinematici

Si tratta di relazioni che si basano sulla stima del tempo di corrivazione (τ_c) del bacino.

Per tempo di corrivazione s'intende il tempo necessario, perché le acque di afflusso meteorico raggiungano la sezione di chiusura del bacino, rispetto alla quale viene eseguito il calcolo della portata di massima piena, partendo dai punti più lontani del bacino. Questo parametro è una costante per ogni bacino, in quanto funzione esclusivamente della morfologia, delle litologie affioranti e della copertura vegetale.

Alcuni fra i metodi di calcolo più usati nella pratica, tra cui anche quelli applicati per codesto studio, sono elencati di seguito.

- Formula di Giandotti:

$$\tau_c(h) = \frac{4\sqrt{S_b} + 1,5L_p}{0,8\sqrt{H_m}}$$

- Formula di Pezzoli:

$$\tau_c(h) = \frac{0,055L_p}{\sqrt{0,01P_m}}$$

- Formula di F.A.O.:

$$\tau_c(h) = \frac{L_p^{1.15}}{15h_{\max}^{0.38}}$$

- Formula di Kirpich:

$$\tau_c(h) = 0,003245 \left(\frac{1000L_p \sqrt{1000L_p}}{\sqrt{h_{\max}}} \right)^{0,77}$$

- Formula di Ventura:

$$\tau_c(h) = 0,1272 \left(\frac{S_b}{0,01S_a} \right)^{\frac{1}{2}}$$

-
- Formula di Pasini modificata:

$$\tau_c(h) = \frac{0,0864\sqrt[3]{S_b L_p}}{\sqrt{0,01S_a}}$$

- Formula di Ongaro:

$$\tau_c(h) = 4,32\sqrt[3]{S_b L_p}$$

dove:

S_b (kmq) = superficie del bacino;

L_p (km) = lunghezza dell'asta principale;

P_m (%) = pendenza media del bacino;

H_m (m) = altezza media del bacino rispetto alla sezione di chiusura;

h_{max} (m) = altezza massima del bacino rispetto alla sezione di chiusura.

L (ft) = lunghezza del corso d'acqua principale esteso fino allo spartiacque;

CN = Curve Number del bacino;

S_a (%) = inclinazione media del corso d'acqua principale.

Le relazioni poc'anzi elencate sono impiegabili per bacini di piccola e media estensione. La formula di Giandotti fornisce per bacini molto piccoli (inferiori a 100 kmq) valori generalmente sovrastimati. La formula di Ongaro va utilizzata esclusivamente per bacini di pianura con area inferiore a 1 kmq.

Stimato il valore di τ_c è possibile passare alla valutazione delle portate

di massima piena al colmo. Il primo dato che occorre ricavare è la pioggia di progetto, per un tempo di ritorno fissato, corrispondente ad una durata uguale al tempo di corrivazione.

L'altezza di precipitazione ricavata (h) va introdotta in una delle formule cinematiche disponibili in letteratura. Tra le più utilizzate sono le formule del metodo razionale, di Giandotti e di Merlo. Quest'ultima è una delle formule utilizzate in questo studio, in quanto adatta per i bacini di piccola estensione, come nel caso in questione.

- Formula del metodo razionale:

$$Q_{\max} (mc/s) = 0.278 \frac{k_f c_a h A}{\tau_c}$$

dove:

Q_{\max} (mc/s) = portata di massima piena al colmo per un dato tempo di ritorno;

c_a = coefficiente di afflusso, variabile da 0 a 1;

A (kmq) = area del bacino;

h (mm) = altezza di precipitazione ragguagliata riferita a τ_c per un dato tempo di ritorno;

k_f = fattore di frequenza funzione del tempo di ritorno.

τ_c (h) = tempo di corrivazione.

-
- Formula di Giandotti:

$$Q_{\max} (mc / s) = 0.278 \frac{ChA}{\tau_c}$$

dove C in bacini con area inferiore ai 300 kmq deve essere posto uguale a 1.25. In alternativa, Visentini (1938) ha proposto di ricavare il parametro C attraverso la relazione:

$$C = 6.19A^{-0.319}$$

dove A è l'area del bacino espressa in kmq.

L'esperienza ha dimostrato, però, che questa relazione tende a sovrastimare le portate nel caso di piccoli bacini (poche decine di kmq), in quanto inizialmente calibrato su bacini con estensione superiore ai 500 km².

- Formula di Merlo:

$$Q_{\max} (mc / s) = C_m hA$$

dove:

$$C_m = 0.0363 + 0.0295 \times \ln(T_r);$$

T_r(anni) = tempo di ritorno.

Questo metodo é stato calibrato su piccoli bacini, ed è quindi particolarmente utile per valutazioni eseguite in tale contesto.

Riassumendo, per codesto studio il calcolo delle portate massime annuali è stato svolto attraverso l'impiego dei metodi cinematici; in particolare le portate sono state calcolate, come mostrato in dettaglio negli allegati, tramite l'utilizzo della formula del metodo razionale e quella di Merlo, escludendo quella di Giandotti, non idonea per bacini di piccole dimensioni, come nel caso in questione.

3. CARATTERISTICHE MORFOMETRICHE ED ALTIMETRICHE DEL BACINO IDROGRAFICO

Il primo passo da effettuare al fine di ottenere i dati necessari al calcolo delle portate massime annuali è sicuramente l'individuazione del bacino idrografico e le sue caratteristiche morfometriche.

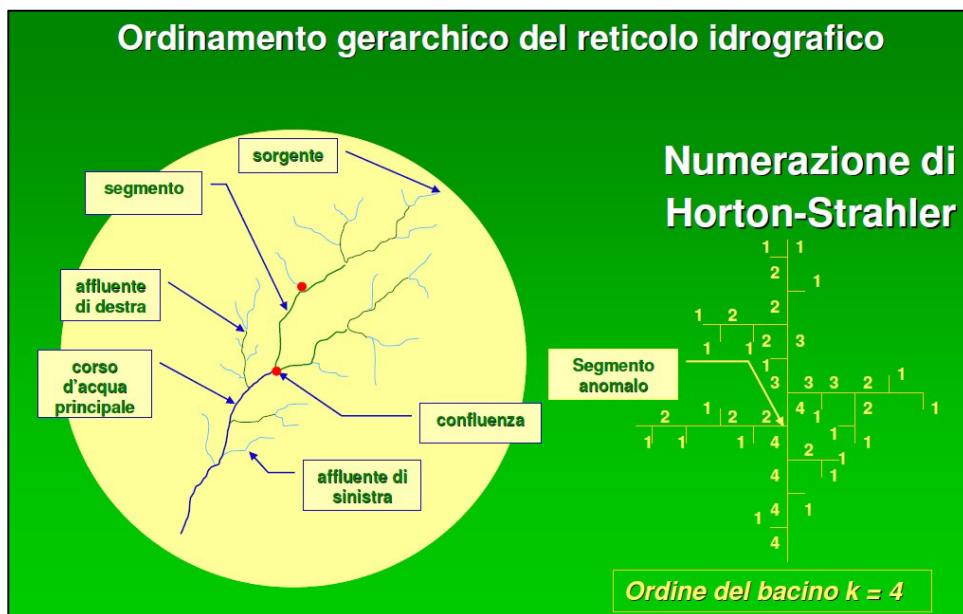
Il bacino idrografico è caratterizzato morfologicamente ed altimetricamente attraverso la definizione di una serie di grandezze. Precisamente per questo lavoro sono state considerate le seguenti caratteristiche geometriche:

- Superficie del bacino idrografico S_{tot} ;
- Lunghezza dell'asta principale L_{asta} ;
- Quota minima coincidente con la sezione di chiusura del bacino Q_{Bmin} ;
- Altitudine massima del bacino riferita al livello medio del mare Q_{Bmax} ;
- Quota media del bacino Q_{Bmed} ;
- Pendenza media dell'asta principale $P_{\%MEDIA}$.

La stima dei suddetti parametri sono stati ricavati avvalendosi delle CTR della Regione Puglia, scaricabili in formato shape files dalla sezione S.I.T. WebGis del sito ufficiale della regione. Successivamente, attraverso l'utilizzo del software Open Source QGIS ver.2.0.1, è stato possibile trasformare gli shape files in formato dxf, senza perdere la relativa georeferenziazione (WGS84), di modo tale da poter operare in ambiente CAD su file in formato dwg, permettendo una maggiore precisione nel disegno, essenziale per i calcoli a farsi.

La delimitazione del bacino idrografico, rappresentato nella cartografia allegata, avviene delimitando la linea di spartiacque sino alla sezione di chiusura del corso d'acqua di riferimento.

Nel caso in questione il bacino idrografico oggetto di studio è caratterizzato da un corso d'acqua con soli due piccoli affluenti, pertanto si ha un ordine gerarchico $k = 2$, in base alla numerazione di Horton-Strahler.



Esempio grafico di gerarchizzazione di un bacino idrografico secondo la numerazione di Horton-Strahler.

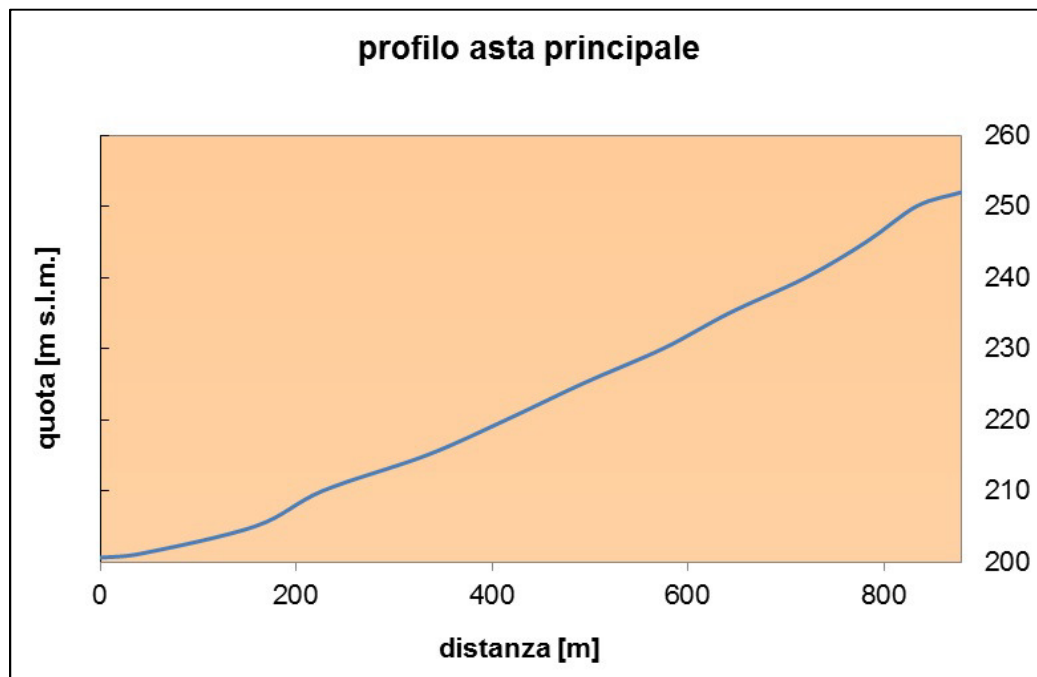
Per lunghezza dell'asta principale si intende il tratto del corso d'acqua principale partendo dalla prima biforcazione sino alla sezione di chiusura.

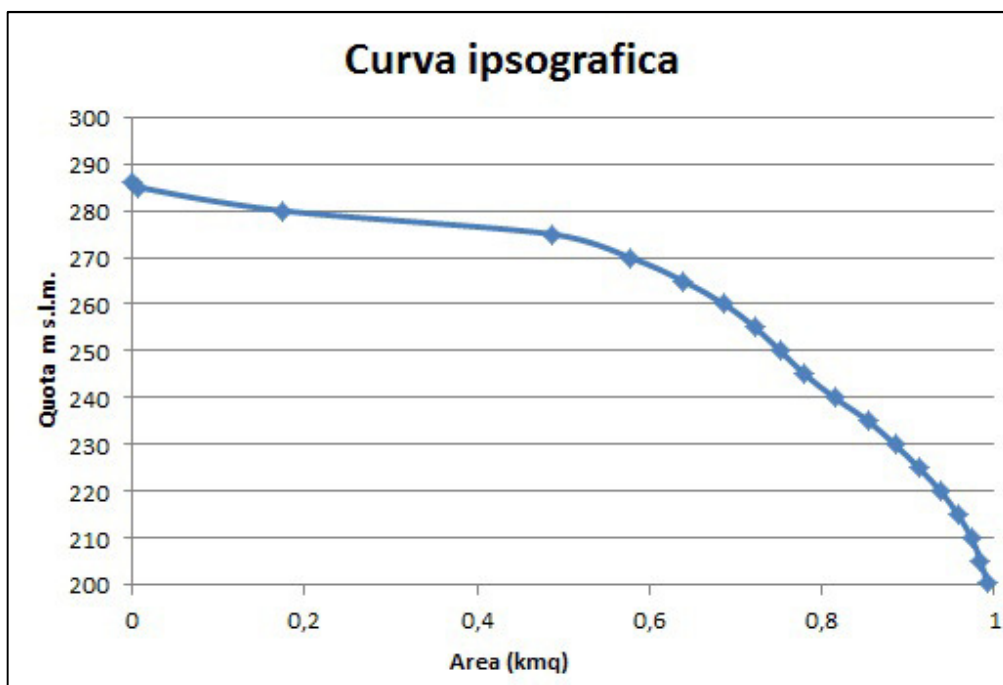
La pendenza media dell'asta principale (i_m) è fornita dalla formula di Taylor & Schwart, che può essere applicata solo dopo aver suddiviso il profilo del corso d'acqua principale in una serie di tratti di lunghezza L_k , misurandone la corrispondente pendenza i_k .

$$i_m = \frac{1}{L} \sum_k i_k l_k$$

Le caratteristiche morfometriche del bacino oggetto di studio possono essere elencate nella seguente tabella:

| PARAMETRI MORFOMETRICI | BACINO |
|---|-----------------------|
| AREA TOTALE DEL BACINO IDROGRAFICO S_{tot} | 0.991 Km ² |
| QUOTA MASSIMA BACINO Q_{Bmax} | 286.1 m |
| QUOTA MINIMA BACINO Q_{Bmin} | 200.6 m |
| QUOTA MEDIA BACINO Q_{Bmed} | 263,7 m |
| LUNGHEZZA ASTA PRINCIPALE L_{asta} | 878.6 m |
| PENDENZA MEDIA DELL'ASTA PRINCIPALE $P_{\%MEDIA}$ | 5,84% |





Curva ipsografica del bacino di competenza.

Attraverso la soprastante curva ipsografica, ottenuta dalla suddivisione del bacino in sottoaree, di cui è stata misurata la relativa quota media, è stato possibile ottenere in maniera corretta la quota media del bacino idrografico, la cui delimitazione è mostrata nella cartografia allegata.

4. BILANCIO IDROLOGICO E CALCOLO COEFFICIENTI IDRAULICI

Il primo passo da effettuare al fine di svolgere le dovute valutazioni sugli aspetti idrologici ed idraulici del bacino idrografico di competenza è una dettagliata ricerca sui dati idrologici disponibili.

Dal sito della Protezione civile della Regione Puglia è stato possibile scaricare gli Annali Idrologici degli ultimi 10 anni (2009-2019), nonché individuare, tramite la sezione S.I.T., le stazioni pluviometriche di riferimento, ovvero quelle poste all'interno o in prossimità del bacino idrografico di competenza.

Precisamente per tale lavoro si è fatto riferimento a due stazioni, ovvero quella di Ascoli Satriano e quella di Borgo Libertà, dando maggior peso alle informazioni restituite da quest'ultima in quanto più prossima al bacino di competenza, come mostrato nelle immagini seguenti.

Anagrafica stazione



ASCOLI SATRIANO

COMUNE: ASCOLI SATRIANO

PROVINCIA: FG

COORDINATE: 41.20083, 15.55056

QUOTA: 435 m s.l.m.

Anagrafica stazione



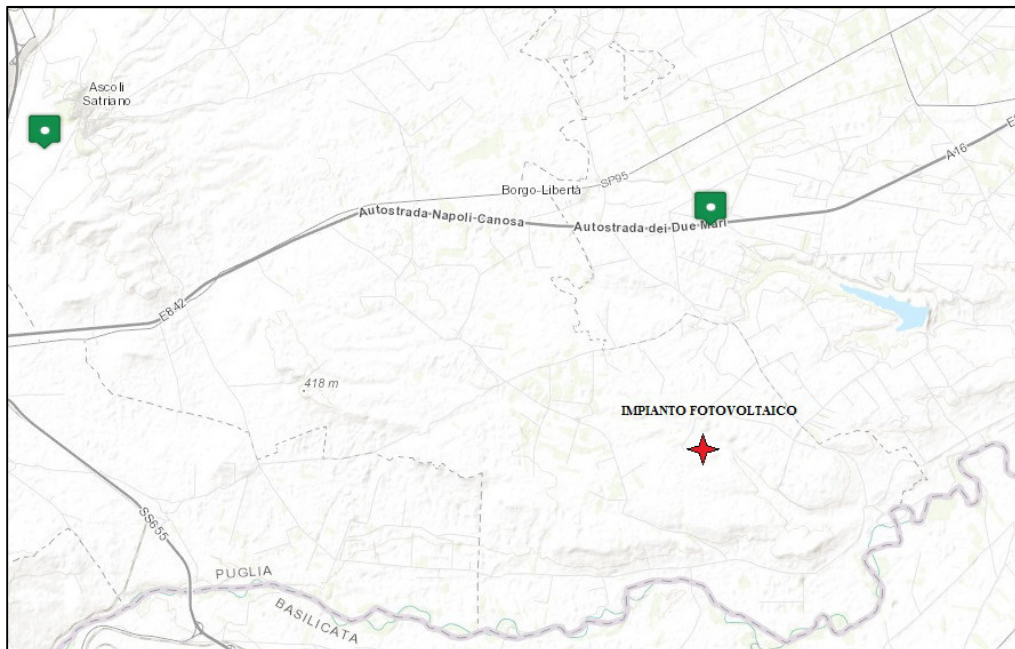
BORGO LIBERTA

COMUNE: CERIGNOLA

PROVINCIA: FG

COORDINATE: 41.18361, 15.75056

QUOTA: 235 m s.l.m.



Ubicazione delle stazioni pluviometriche prese di riferimento rispetto al sito oggetto di studio.

Tutte le elaborazioni idrologiche ed idrauliche effettuate per questo lavoro sono state realizzate attraverso l'impiego dei software Piena e Piena ver. 3.0.

Come primo step nell'analisi idrologica del bacino d'interesse è stata effettuata un' *analisi dei dati*, ottenendo le precipitazioni e le temperature medie per ogni singolo anno considerato (vedi allegati), ovvero a partire dall'anno 2009 sino al 2019. A tal proposito bisogna precisare, che tale bilancio non è stato effettuato per l'anno 2014, a causa dell'assenza totale di dati per entrambe le stazioni considerate.

Dopo di ciò è stato possibile effettuare un *bilancio idrologico* (cfr. allegati), nonché il calcolo del coefficiente di deflusso medio annuo del bacino attraverso il metodo semplificato di Kennessey, applicabile soprattutto a piccoli bacini.

Questo metodo passa attraverso la stima di tre indici parziali, legati rispettivamente all'acclività media del bacino (Ca), alla sua copertura vegetale (Cb) e alla permeabilità delle rocce affioranti (Cp), che sono, insieme a quelli climatici, i principali fattori influenzanti il volume del deflusso superficiale.

| Coefficiente | Valore | Ia < 25 | 25 ≤ Ia ≤ 40 | Ia > 40 |
|-----------------|-------------|---------|--------------|---------|
| Ca-acclività | > 35% | 0.22 | 0.26 | 0.30 |
| | 10 - 35 | 0.12 | 0.16 | 0.20 |
| | 3.5 - 10 | 0.01 | 0.03 | 0.05 |
| | < 3.5 | 0.00 | 0.01 | 0.03 |
| Cp-permeabilità | Molto bassa | 0.21 | 0.26 | 0.30 |
| | Bassa | 0.17 | 0.21 | 0.25 |
| | Mediocre | 0.12 | 0.16 | 0.20 |
| | Buona | 0.06 | 0.08 | 0.10 |
| | Elevata | 0.03 | 0.04 | 0.05 |
| Cv-vegetazione | Roccia | 0.26 | 0.28 | 0.30 |
| | Pascolo | 0.17 | 0.21 | 0.25 |
| | Coltivo | 0.07 | 0.11 | 0.15 |
| | Bosco | 0.03 | 0.04 | 0.05 |

Tabella utilizzata nel metodo di Kennesey per il calcolo dell'Indice di aridità.

- Acclività media del bacino:

In generale una maggiore acclività media comporta un aumento del deflusso superficiale, sfavorendo il ristagno delle acque meteoriche e di conseguenza l'infiltrazione e l'evapotraspirazione.

- Copertura vegetale del bacino:

Una fitta copertura vegetale fa diminuire il valore del coefficiente di deflusso, sia perché è maggiore in questi casi il volume d'acqua disperso per traspirazione dalle piante, sia perché la vegetazione tende ad ostacolare il deflusso superficiale, rallentandolo e favorendo quindi l'infiltrazione.

-
- Permeabilità media del bacino:

E' evidente che un'elevata permeabilità media favorisce l'infiltrazione delle acque meteoriche, riducendo di conseguenza il deflusso superficiale.

- Fattori climatici (piovosità e temperatura).

Il valore del coefficiente di deflusso C_f del bacino calcolato secondo la metodologia di Kennesey è pari a 0,182, come mostrato in dettaglio negli allegati.

Partendo dai dati pluviometrici forniti da una stazione di misura, è possibile eseguire le elaborazioni necessarie per ottenere le curve che descrivono l'altezza delle precipitazioni (h) in funzione della loro durata (t).

L'equazione che collega queste due variabili ha la seguente forma:

$$h \text{ (mm)} = at^n$$

dove

a = variabile funzione del tempo di ritorno;

n = costante per un dato valore di t ;

e prende il nome di curva o linea segnalatrice di possibilità climatica o pluviometrica.

I dati pluviometrici necessari al calcolo sono reperibili sugli Annali Idrologici delle stazioni pluviografiche. Su tali documenti vengono generalmente fornite, in forma di tabella, le massime precipitazioni registrate anno per anno, per determinate durate di riferimento.

Normalmente si distinguono i dati relativi alle precipitazioni con durata inferiore ad 1 ora (piogge di notevole intensità e breve durata), da quelle di durata superiore. Le durate di riferimento sono generalmente standard, prendendo in considerazione durate di 10, 15, 30, 45 minuti, nel caso di

piogge brevi ed intense, e di 1, 3, 6, 12 e 24 ore nel caso di precipitazioni orarie. Nel caso in questione sono state elaborate le piogge con durata superiore ad 1 ora (vedi allegati).

Per il calcolo del *coefficiente di afflusso* è stata effettuata la stima delle precipitazioni efficaci, per le quali s'intende la frazione della precipitazione complessiva, non trattenuta dal terreno e dalla vegetazione, che partecipa alla formazione del deflusso superficiale. Il rapporto fra precipitazione efficace e precipitazione lorda prende appunto il nome di *coefficiente di afflusso*.

Il valore della precipitazione efficace dipende principalmente da tre fattori:

- il grado di saturazione del terreno superficiale al momento del verificarsi dell'evento meteorico: maggiore è il grado di saturazione, legato ad eventi meteorici precedenti, minore è la capacità del terreno di assorbire altra acqua e di conseguenza maggiore è la frazione del volume d'acqua precipitato che va ad alimentare il deflusso superficiale;
- la permeabilità delle litologie superficiali: ovviamente una maggiore permeabilità dei terreni superficiali favorisce l'infiltrazione dell'acqua meteorica, comportando una conseguente diminuzione del deflusso superficiale;
- l'uso del suolo: la destinazione del suolo influisce notevolmente sul volume del deflusso superficiale: una fitta copertura vegetale, per esempio, tende a diminuirlo, un'intensa urbanizzazione, diminuendo la permeabilità superficiale del terreno, tende viceversa ad aumentarlo.

Per questo studio il calcolo del coefficiente di afflusso è stato effettuato tramite l'applicazione del metodo di *Rasulo e Gisonni (1997)*, ovvero un

metodo semplificato, che consente di stimare il coefficiente di afflusso di un bacino in funzione del tempo di ritorno dell'evento meteorico.

La relazione è la seguente:

$$c_a = c_{ap} (1 - A_{imp}) + c_{ai} A_{imp}$$

dove:

c_a = coefficiente di afflusso;

c_{ap} = coefficiente di afflusso per le aree permeabili del bacino;

c_{ai} = coefficiente di afflusso per le aree impermeabili del bacino;

A_{imp} = rapporto fra l'area impermeabile e l'area totale del bacino.

Sia c_{ap} che c_{ai} vengono tabellati dal software utilizzato in funzione del tempo di ritorno dell'evento meteorico.

| Tempo di ritorno(anni) | c_{ap} | c_{ai} |
|------------------------|-----------|-----------|
| <2 | 0-0.15 | 0.60-0.75 |
| 2-10 | 0.10-0.25 | 0.65-0.80 |
| >10 | 0.15-0.30 | 0.70-0.90 |

I valori calcolati del coefficiente di afflusso e delle precipitazioni efficaci per ciascun tempo di ritorno considerato sono esposti nei tabulati allegati.

5. DURATA CRITICA E CALCOLO PORTATE

Per la durata critica sono state adottate le formule empiriche suggerite in letteratura per la stima del tempo di corrivazione, già dettagliatamente descritte nel paragrafo 2.

Per questo studio sono state utilizzate due metodologie di calcolo, ovvero quella di Pezzoli e quella di Giandotti, ottenendo rispettivamente un valore di τ_c pari a 0,200 h e 0,834 h.

| Metodo | Pezzoli | Giandotti | Media valori |
|---|---------|-----------|--------------|
| Tempo di corrivazione τ_c (espresso in ore) | 0,200 | 0,834 | 0,517 |

Per quanto riguarda invece il calcolo delle portate massime annuali per i diversi tempi di ritorno considerati, come già anticipato nel paragrafo 2, è stato effettuato applicando sia la formula del metodo razionale sia quella di Merlo, escludendo quella di Giandotti, non idonea per bacini di piccole dimensioni, come nel caso in questione.

I valori di portata di piena massima calcolati secondo i metodi cinematici, secondo diversi periodi di ritorno Tr , possono riassumersi come segue:

| Tempo di ritorno (anni) | Q_{max} Metodo razionale | Q_{max} Metodo di Merlo | Q_{max} Media valori |
|-------------------------|-------------------------------|------------------------------|---------------------------|
| $Tr = 50$ | 2,45 m ³ /s | 0,79 m ³ /s | 1,62 m ³ /s |
| $Tr = 100$ | 3,05 m ³ /s | 1,07 m ³ /s | 2,06 m ³ /s |
| $Tr = 200$ | 4,15 m ³ /s | 1,60 m ³ /s | 2,88 m ³ /s |

Per i successivi calcoli sulla verifica delle sezioni d'alveo sono stati utilizzati i valori medi di Q_{\max} esposti nella tabella precedente.

6. VERIFICA SEZIONI D'ALVEO

La verifica dell'altezza idrometrica relativa alla portata di piena massima per ciascun periodo di ritorno considerato (Tr50, Tr100 e Tr200), è stata svolta su n.8 sezioni topografiche. Le relative tracce e profili di quest'ultime sono mostrati nella cartografia allegata a questo studio.

Per tutte le sezioni è stata applicata una verifica in condizioni di moto uniforme, secondo cui la portata che defluisce per una determinata sezione d'alveo è fornita dalla relazione:

$$Q \text{ (mc/s)} = A \times v_m$$

dove:

$A \text{ (mq)}$ = area della sezione trasversale dell'alveo;

$v_m \text{ (m/s)}$ = velocità media della corrente.

Assumendo il criterio del moto uniforme, cioè immaginando che la linea piezometrica abbia la stessa inclinazione dell'alveo nella direzione della corrente, criterio valido in corsi d'acqua a debole pendenza, la velocità media della corrente può essere espressa dalla relazione Manning-Strickler:

$$v_m \text{ (m/s)} = K_s \times R_h^{2/3} \times (i/100)^{1/2}$$

dove:

$K_s \text{ (m}^{1/3}\text{s}^{-1}\text{)}$ = coefficiente di resistenza di Strickler;

$R_h \text{ (m)}$ = raggio idraulico = $A / \text{Perimetro bagnato}$;

$i \text{ (\%)}$ = pendenza dell'alveo nel tratto considerato.

Per i valori del coefficiente di resistenza K_s (Strickler) in letteratura vengono proposti i valori presentati nella seguente tabella:

| Natura superficie | K |
|--|-------|
| Alveo in terra, rettilineo | 40-50 |
| Alveo in terra, meandriforme | 20-33 |
| Alveo in ghiaia (75-150mm) rettilineo | 25-33 |
| Canali non rivestiti, in terra, rettilinei | 40-55 |
| Canali non rivestiti, in roccia | 22-40 |
| Canali rivestiti (intonaco cementizio) | 60-83 |

Tabella dei valori del coefficiente di Strickler K_s relativi a differenti tipologie di alveo.

Nel nostro caso sono stati considerati valori di coefficiente di resistenza K_s (Strickler) compresi in un range di 40-55 $m^{1/3}s^{-1}$, in quanto trattasi di un alveo non rivestito, con andamento rettilineo. Nei tabulati allegati sono mostrati in dettaglio i valori scelti di K_s in riferimento a ciascun punto della sezione.

Ovviamente i risultati di tale verifica dipendono non soltanto dai valori delle portate e dal coefficiente K_s , ma anche dalla pendenza dell'alveo, calcolata per ciascuna sezione (vedi allegati).

Da come si può evincere dai risultati mostrati dai tabulati di calcolo, la verifica dell'alveo d'interesse, per tutte le sezioni considerate, ha mostrato

che l'altezza idrometrica, in relazione agli eventi di piena, è sempre compresa all'interno dell'alveo, non andando ad interessare le aree oggetto d'intervento (vedi allegati).

7. CONCLUSIONI

Il presente studio idrologico ed idraulico è stato redatto, su incarico della ditta ASCOLI SATRIANO PV S.r.l., ai fini del "Progetto per la realizzazione di un impianto fotovoltaico nel Comune di Ascoli Satriano (FG) in loc. Zambaglione".

Al fine di verificare la stabilità dei luoghi oggetto d'intervento dal punto di vista idraulico è stata effettuata una verifica su n.8 sezioni lungo l'alveo oggetto di studio.

I risultati di tali verifiche hanno dimostrato che, lungo tutto il tratto di alveo d'interesse, in concomitanza di eventi di piena, per differenti periodi di ritorno, si escludono fenomeni di alluvionamento nelle aree oggetto d'intervento.

Alla luce di quanto finora esposto, tutte le valutazioni riportate dovranno essere puntualmente verificate e strettamente commisurate all'opera che dovrà essere realizzata.

In corso d'opera sarà cura del progettista avvertire lo scrivente per rendere possibile ulteriori verifiche.

Si raccomanda, di contattare lo scrivente per eventuali chiarimenti.

Manocalzati (AV), Novembre 2021

Il Geologo

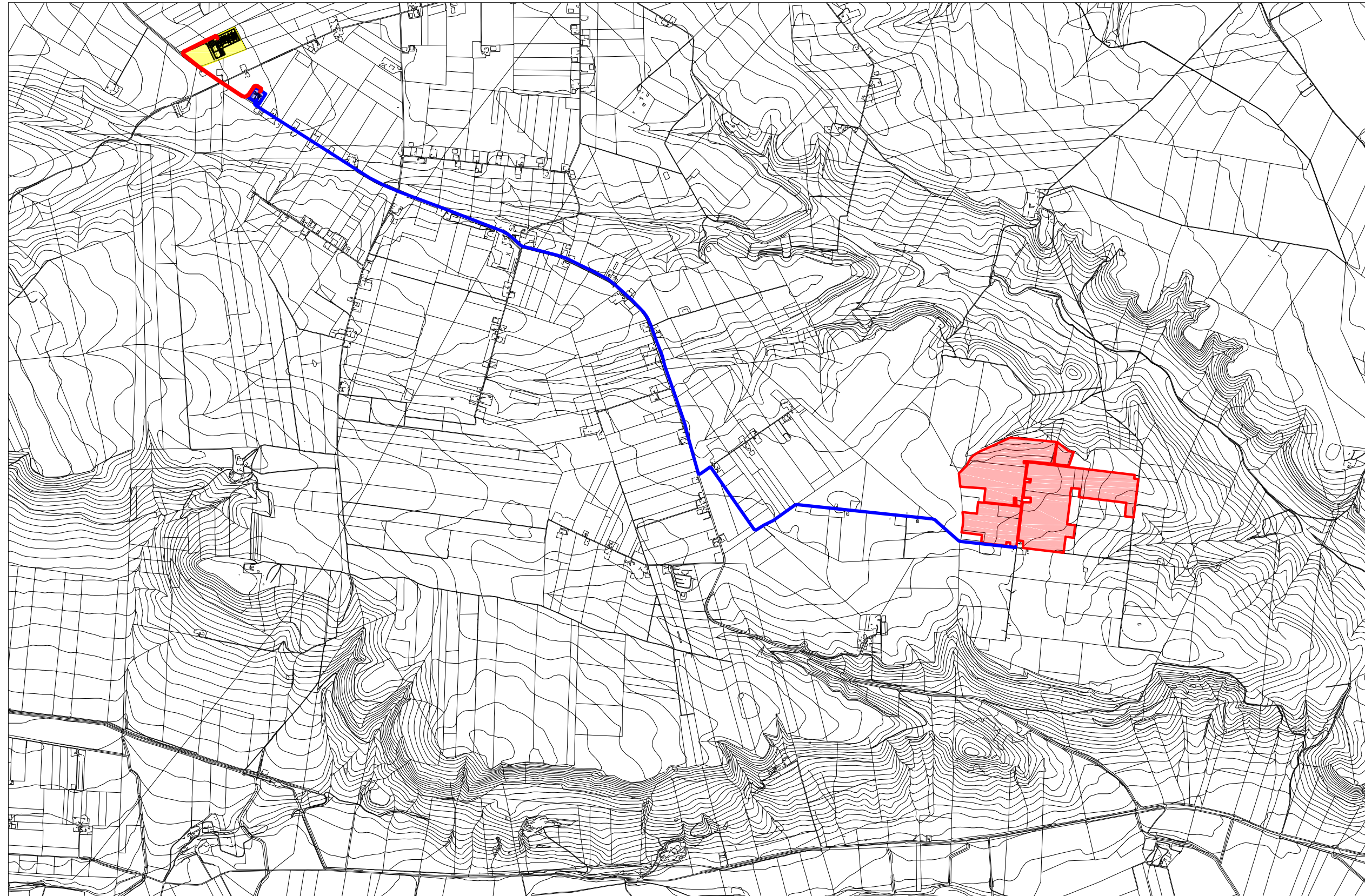
Dott. Nicola Polzone



UBICAZIONE IMPIANTO FOTOVOLTAICO

"Progetto per la realizzazione di un impianto alimentato da fonte fotovoltaica - Ascoli Satriano"

STUDIO DI COMPATIBILITA' IDROGEOLOGICA



LEGENDA

-  Area impianto fotovoltaico
-  Sottostazione
-  Elettrodo MT esterno
-  Elettrodo AT

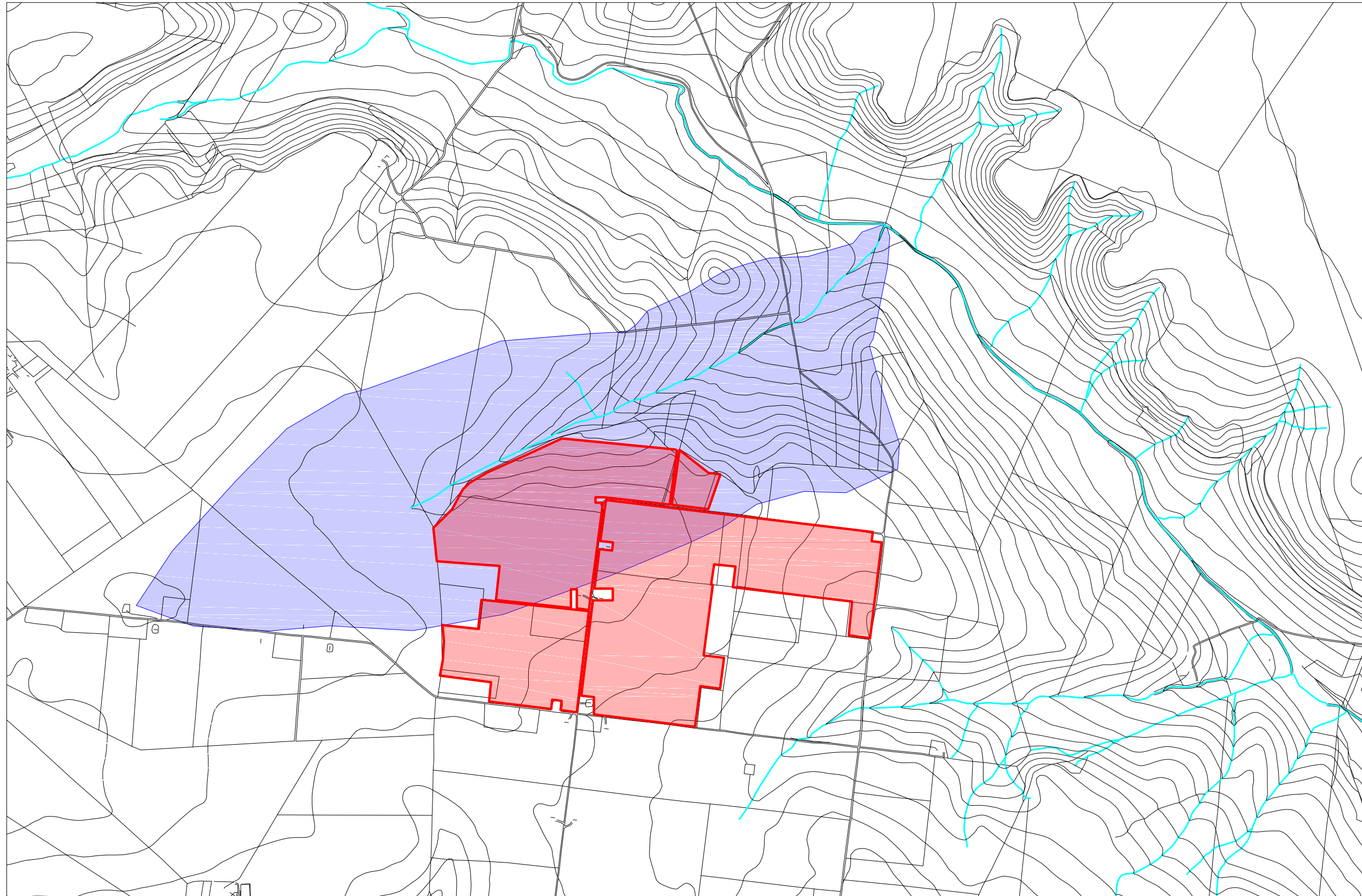


scala 1:25.000




IDROGRAFIA E BACINO

"Progetto per la realizzazione di un impianto alimentato da fonte fotovoltaica - Ascoli Satriano"

STUDIO DI COMPATIBILITA' IDROGEOLOGICA



LEGENDA

-  Area impianto fotovoltaico
-  Bacino idrografico
-  Reticolo idrografico



scala 1:10.000

GEO CONSULTLAB S.r.l.

S.S. 7 Bis AREA P.I.P.-83030 Manocalzati (AV)-tel. 0825675873

Committente: Ascoli Satriano PV S.r.l.

Località: Zambaglione - Ascoli Satriano (FG)

Descrizione: Impianto fotovoltaico

Note: Bilancio idrologico anno 2009

Sigla: 2009

Dati climatici del bacino

| <i>Mese</i> | <i>Temperatura media (°C)</i> | <i>Precipitazione media (mm)</i> | <i>Fattore insolazione</i> |
|-------------|-------------------------------|----------------------------------|----------------------------|
| Gennaio | 6,9 | 156,6 | 1 |
| Febbraio | 5,9 | 18,8 | 1 |
| Marzo | 9,4 | 116,4 | 1 |
| Aprile | 13,7 | 92,6 | 1 |
| Maggio | 20,7 | 14,4 | 1 |
| Giugno | 22,4 | 29,2 | 1 |
| Luglio | 25,9 | 18,6 | 1 |
| Agosto | 26,4 | 3,6 | 1 |
| Settembre | 21,2 | 30,6 | 1 |
| Ottobre | 14,8 | 82,4 | 1 |
| Novembre | 12,8 | 30,4 | 1 |
| Dicembre | 9,1 | 70,4 | 1 |

Precipitazione totale
annua(mm):664

Temperatura media
annua(°C):15,8

GEO CONSULTLAB S.r.l.

S.S. 7 Bis AREA P.I.P.-83030 Manocalzati (AV)-tel. 0825675873

Committente: Ascoli Satriano PV S.r.l.

Località: Zambaglione - Ascoli Satriano (FG)

Descrizione: Impianto fotovoltaico

Note: Bilancio idrologico anno 2010

Sigla: 2010

Dati climatici del bacino

| <i>Mese</i> | <i>Temperatura media (°C)</i> | <i>Precipitazione media (mm)</i> | <i>Fattore insolazione</i> |
|-------------|-------------------------------|----------------------------------|----------------------------|
| Gennaio | 6,1 | 59,8 | 1 |
| Febbraio | 8 | 54,8 | 1 |
| Marzo | 10,3 | 52 | 1 |
| Aprile | 13,1 | 75,2 | 1 |
| Maggio | 17,5 | 26,8 | 1 |
| Giugno | 22,2 | 53,6 | 1 |
| Luglio | 25,7 | 48 | 1 |
| Agosto | 25,6 | 0 | 1 |
| Settembre | 19,8 | 53,8 | 1 |
| Ottobre | 15 | 131,4 | 1 |
| Novembre | 12,9 | 131,2 | 1 |
| Dicembre | 7,4 | 29 | 1 |

Precipitazione totale
annua(mm):716

Temperatura media
annua(°C):15,3

GEO CONSULTLAB S.r.l.

S.S. 7 Bis AREA P.I.P.-83030 Manocalzati (AV)-tel. 0825675873

Committente: Ascoli Satriano PV S.r.l.

Località: Zambaglione - Ascoli Satriano (FG)

Descrizione: Impianto fotovoltaico

Note: Bilancio idrologico anno 2011

Sigla: 2011

Dati climatici del bacino

| <i>Mese</i> | <i>Temperatura media (°C)</i> | <i>Precipitazione media (mm)</i> | <i>Fattore insolazione</i> |
|-------------|-------------------------------|----------------------------------|----------------------------|
| Gennaio | 7,2 | 54,8 | 1 |
| Febbraio | 7,7 | 44,8 | 1 |
| Marzo | 9,4 | 98 | 1 |
| Aprile | 13,9 | 65,6 | 1 |
| Maggio | 17,2 | 45,8 | 1 |
| Giugno | 22,4 | 18,4 | 1 |
| Luglio | 24,7 | 41,2 | 1 |
| Agosto | 26,7 | 0,8 | 1 |
| Settembre | 23,7 | 47,2 | 1 |
| Ottobre | 15,6 | 28,4 | 1 |
| Novembre | 11,5 | 45,6 | 1 |
| Dicembre | 9,4 | 29 | 1 |

Precipitazione totale
annua(mm):520

Temperatura media
annua(°C):15,8

GEO CONSULTLAB S.r.l.

S.S. 7 Bis AREA P.I.P.-83030 Manocalzati (AV)-tel. 0825675873

Committente: Ascoli Satriano PV S.r.l.

Località: Zambaglione - Ascoli Satriano (FG)

Descrizione: Impianto fotovoltaico

Note: Bilancio idrologico anno 2012

Sigla: 2012

Dati climatici del bacino

| <i>Mese</i> | <i>Temperatura media (°C)</i> | <i>Precipitazione media (mm)</i> | <i>Fattore insolazione</i> |
|-------------|-------------------------------|----------------------------------|----------------------------|
| Gennaio | 6,4 | 31 | 1 |
| Febbraio | 3,7 | 92 | 1 |
| Marzo | 12 | 51,6 | 1 |
| Aprile | 13,8 | 53 | 1 |
| Maggio | 17,4 | 14,8 | 1 |
| Giugno | 25,3 | 0,4 | 1 |
| Luglio | 27,2 | 63,2 | 1 |
| Agosto | 27,4 | 7,6 | 1 |
| Settembre | 22,1 | 58 | 1 |
| Ottobre | 17,8 | 42,2 | 1 |
| Novembre | 13,3 | 158,4 | 1 |
| Dicembre | 7,4 | 67,4 | 1 |

Precipitazione totale
annua(mm):640

Temperatura media
annua(°C):16,1

GEO CONSULTLAB S.r.l.

S.S. 7 Bis AREA P.I.P.-83030 Manocalzati (AV)-tel. 0825675873

Committente: Ascoli Satriano PV S.r.l.

Località: Zambaglione - Ascoli Satriano (FG)

Descrizione: Impianto fotovoltaico

Note: Bilancio idrologico anno 2013

Sigla: 2013

Dati climatici del bacino

| <i>Mese</i> | <i>Temperatura media (°C)</i> | <i>Precipitazione media (mm)</i> | <i>Fattore insolazione</i> |
|-------------|-------------------------------|----------------------------------|----------------------------|
| Gennaio | 7,7 | 73,2 | 1 |
| Febbraio | 6,3 | 60 | 1 |
| Marzo | 9,8 | 47,4 | 1 |
| Aprile | 15 | 32,2 | 1 |
| Maggio | 17,2 | 100,4 | 1 |
| Giugno | 21,5 | 32,8 | 1 |
| Luglio | 24,6 | 55,2 | 1 |
| Agosto | 25,2 | 53,6 | 1 |
| Settembre | 21,1 | 13 | 1 |
| Ottobre | 18,1 | 50 | 1 |
| Novembre | 11,8 | 97,2 | 1 |
| Dicembre | 8,9 | 126,6 | 1 |

Precipitazione totale
annua(mm):742

Temperatura media
annua(°C):15,6

GEO CONSULTLAB S.r.l.

S.S. 7 Bis AREA P.I.P.-83030 Manocalzati (AV)-tel. 0825675873

Committente: Ascoli Satriano PV S.r.l.

Località: Zambaglione - Ascoli Satriano (FG)

Descrizione: Impianto fotovoltaico

Note: Bilancio idrologico anno 2015

Sigla: 2015

Dati climatici del bacino

| <i>Mese</i> | <i>Temperatura media (°C)</i> | <i>Precipitazione media (mm)</i> | <i>Fattore insolazione</i> |
|-------------|-------------------------------|----------------------------------|----------------------------|
| Gennaio | 7,9 | 109,4 | 1 |
| Febbraio | 7,6 | 56,8 | 1 |
| Marzo | 10,1 | 68,6 | 1 |
| Aprile | 13,7 | 30,6 | 1 |
| Maggio | 19,7 | 61,2 | 1 |
| Giugno | 22,9 | 35 | 1 |
| Luglio | 28,3 | 1,4 | 1 |
| Agosto | 26,6 | 19,2 | 1 |
| Settembre | 23,1 | 49,2 | 1 |
| Ottobre | 16,5 | 148 | 1 |
| Novembre | 12,7 | 28 | 1 |
| Dicembre | 9,5 | 2,6 | 1 |

Precipitazione totale
annua(mm):610

Temperatura media
annua(°C):16,6

GEO CONSULTLAB S.r.l.

S.S. 7 Bis AREA P.I.P.-83030 Manocalzati (AV)-tel. 0825675873

Committente: Ascoli Satriano PV S.r.l.

Località: Zambaglione - Ascoli Satriano (FG)

Descrizione: Impianto fotovoltaico

Note: Bilancio idrologico anno 2016

Sigla: 2016

Dati climatici del bacino

| <i>Mese</i> | <i>Temperatura media (°C)</i> | <i>Precipitazione media (mm)</i> | <i>Fattore insolazione</i> |
|-------------|-------------------------------|----------------------------------|----------------------------|
| Gennaio | 8,8 | 21,8 | 1 |
| Febbraio | 11,3 | 36 | 1 |
| Marzo | 10 | 135,6 | 1 |
| Aprile | 15,5 | 42,6 | 1 |
| Maggio | 17,4 | 55,4 | 1 |
| Giugno | 23 | 20,8 | 1 |
| Luglio | 26,7 | 77 | 1 |
| Agosto | 25 | 32,6 | 1 |
| Settembre | 20,7 | 188,2 | 1 |
| Ottobre | 16,6 | 70,8 | 1 |
| Novembre | 12,7 | 64 | 1 |
| Dicembre | 8 | 4,2 | 1 |

Precipitazione totale
annua(mm):749

Temperatura media
annua(°C):16,3

GEO CONSULTLAB S.r.l.

S.S. 7 Bis AREA P.I.P.-83030 Manocalzati (AV)-tel. 0825675873

Committente: Ascoli Satriano PV S.r.l.

Località: Zambaglione - Ascoli Satriano (FG)

Descrizione: Impianto fotovoltaico

Note: Bilancio idrologico anno 2017

Sigla: 2017

Dati climatici del bacino

| <i>Mese</i> | <i>Temperatura media (°C)</i> | <i>Precipitazione media (mm)</i> | <i>Fattore insolazione</i> |
|-------------|-------------------------------|----------------------------------|----------------------------|
| Gennaio | 4,5 | 51,6 | 1 |
| Febbraio | 10,4 | 18,4 | 1 |
| Marzo | 12,3 | 4 | 1 |
| Aprile | 14 | 32,4 | 1 |
| Maggio | 18,9 | 77,2 | 1 |
| Giugno | 25,7 | 2,6 | 1 |
| Luglio | 27,6 | 25,4 | 1 |
| Agosto | 28,5 | 0,2 | 1 |
| Settembre | 21 | 68,2 | 1 |
| Ottobre | 16,8 | 16,2 | 1 |
| Novembre | 11,9 | 89,4 | 1 |
| Dicembre | 8,2 | 41,4 | 1 |

Precipitazione totale
annua(mm):427

Temperatura media
annua(°C):16,6

GEO CONSULTLAB S.r.l.

S.S. 7 Bis AREA P.I.P.-83030 Manocalzati (AV)-tel. 0825675873

Committente: Ascoli Satriano PV S.r.l.

Località: Zambaglione - Ascoli Satriano (FG)

Descrizione: Impianto fotovoltaico

Note: Bilancio idrologico anno 2018

Sigla: 2018

Dati climatici del bacino

| <i>Mese</i> | <i>Temperatura media (°C)</i> | <i>Precipitazione media (mm)</i> | <i>Fattore insolazione</i> |
|-------------|-------------------------------|----------------------------------|----------------------------|
| Gennaio | 9,2 | 41,8 | 1 |
| Febbraio | 6,5 | 41,4 | 1 |
| Marzo | 10,4 | 16,2 | 1 |
| Aprile | 16,4 | 8 | 1 |
| Maggio | 19,5 | 123,6 | 1 |
| Giugno | 22,9 | 29,4 | 1 |
| Luglio | 27 | 29,8 | 1 |
| Agosto | 26,2 | 31,8 | 1 |
| Settembre | 22,5 | 61,6 | 1 |
| Ottobre | 17,8 | 114,4 | 1 |
| Novembre | 12,7 | 60,6 | 1 |
| Dicembre | 8,8 | 34,2 | 1 |

Precipitazione totale
annua(mm):593

Temperatura media
annua(°C):16,7

GEO CONSULTLAB S.r.l.

S.S. 7 Bis AREA P.I.P.-83030 Manocalzati (AV)-tel. 0825675873

Committente: Ascoli Satriano PV S.r.l.

Località: Zambaglione - Ascoli Satriano (FG)

Descrizione: Impianto fotovoltaico

Note: Bilancio idrologico anno 2019

Sigla: 2019

Dati climatici del bacino

| <i>Mese</i> | <i>Temperatura media (°C)</i> | <i>Precipitazione media (mm)</i> | <i>Fattore insolazione</i> |
|-------------|-------------------------------|----------------------------------|----------------------------|
| Gennaio | 5,4 | 92,8 | 1 |
| Febbraio | 8,3 | 17,2 | 1 |
| Marzo | 12,1 | 25,8 | 1 |
| Aprile | 13,8 | 63,8 | 1 |
| Maggio | 15,2 | 50,2 | 1 |
| Giugno | 25,7 | 19,8 | 1 |
| Luglio | 26,2 | 94,4 | 1 |
| Agosto | 27,4 | 31,4 | 1 |
| Settembre | 22,9 | 13,4 | 1 |
| Ottobre | 18,6 | 45,4 | 1 |
| Novembre | 14,2 | 77,2 | 1 |
| Dicembre | 10,1 | 30,2 | 1 |

Precipitazione totale
annua(mm):562

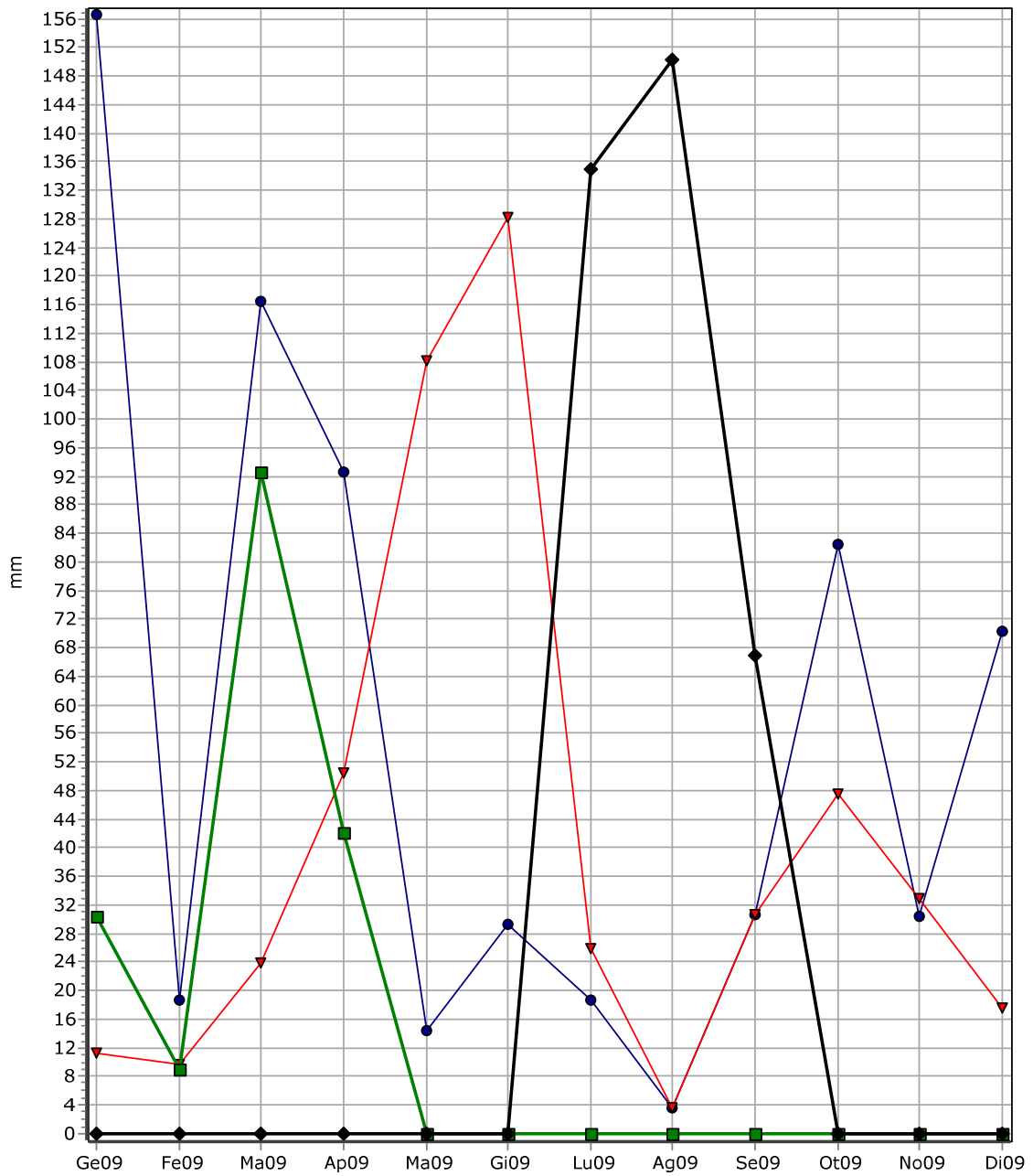
Temperatura media
annua(°C):16,7

Bilancio idrologico di un bacino

| Anno | Mese | P(mm) | T(°) | Fattore K | I | Ep(mm) | EpK(mm) | P-EpK(mm) | R(mm) | Et(mm) | Su(mm) | De(mm) |
|------|-----------|-------|------|-----------|-------|--------|---------|-----------|-------|--------|--------|--------|
| 2009 | Gennaio | 156,6 | 6,9 | 0,79 | 1,63 | 14 | 11 | 145 | 200 | 11 | 30 | 0 |
| 2009 | Febbraio | 18,8 | 5,9 | 0,88 | 1,28 | 11 | 10 | 9 | 200 | 10 | 9 | 0 |
| 2009 | Marzo | 116,4 | 9,4 | 0,99 | 2,6 | 24 | 24 | 93 | 200 | 24 | 93 | 0 |
| 2009 | Aprile | 92,6 | 13,7 | 1,12 | 4,6 | 45 | 50 | 42 | 200 | 50 | 42 | 0 |
| 2009 | Maggio | 14,4 | 20,7 | 1,21 | 8,59 | 89 | 108 | -94 | 106 | 108 | 0 | 0 |
| 2009 | Giugno | 29,2 | 22,4 | 1,26 | 9,68 | 102 | 128 | -99 | 7 | 128 | 0 | 0 |
| 2009 | Luglio | 18,6 | 25,9 | 1,24 | 12,06 | 130 | 161 | -142 | 0 | 26 | 0 | 135 |
| 2009 | Agosto | 3,6 | 26,4 | 1,15 | 12,42 | 134 | 154 | -150 | 0 | 4 | 0 | 150 |
| 2009 | Settembre | 30,6 | 21,2 | 1,05 | 8,91 | 93 | 98 | -67 | 0 | 31 | 0 | 67 |
| 2009 | Ottobre | 82,4 | 14,8 | 0,93 | 5,17 | 51 | 48 | 35 | 35 | 48 | 0 | 0 |
| 2009 | Novembre | 30,4 | 12,8 | 0,82 | 4,15 | 40 | 33 | -3 | 32 | 33 | 0 | 0 |
| 2009 | Dicembre | 70,4 | 9,1 | 0,77 | 2,48 | 23 | 18 | 53 | 85 | 18 | 0 | 0 |

Bilancio idrologico di un bacino

● Precipitazioni ▼ Evapotraspirazione reale ■ Surplus idrico ◆ Deficit idrico

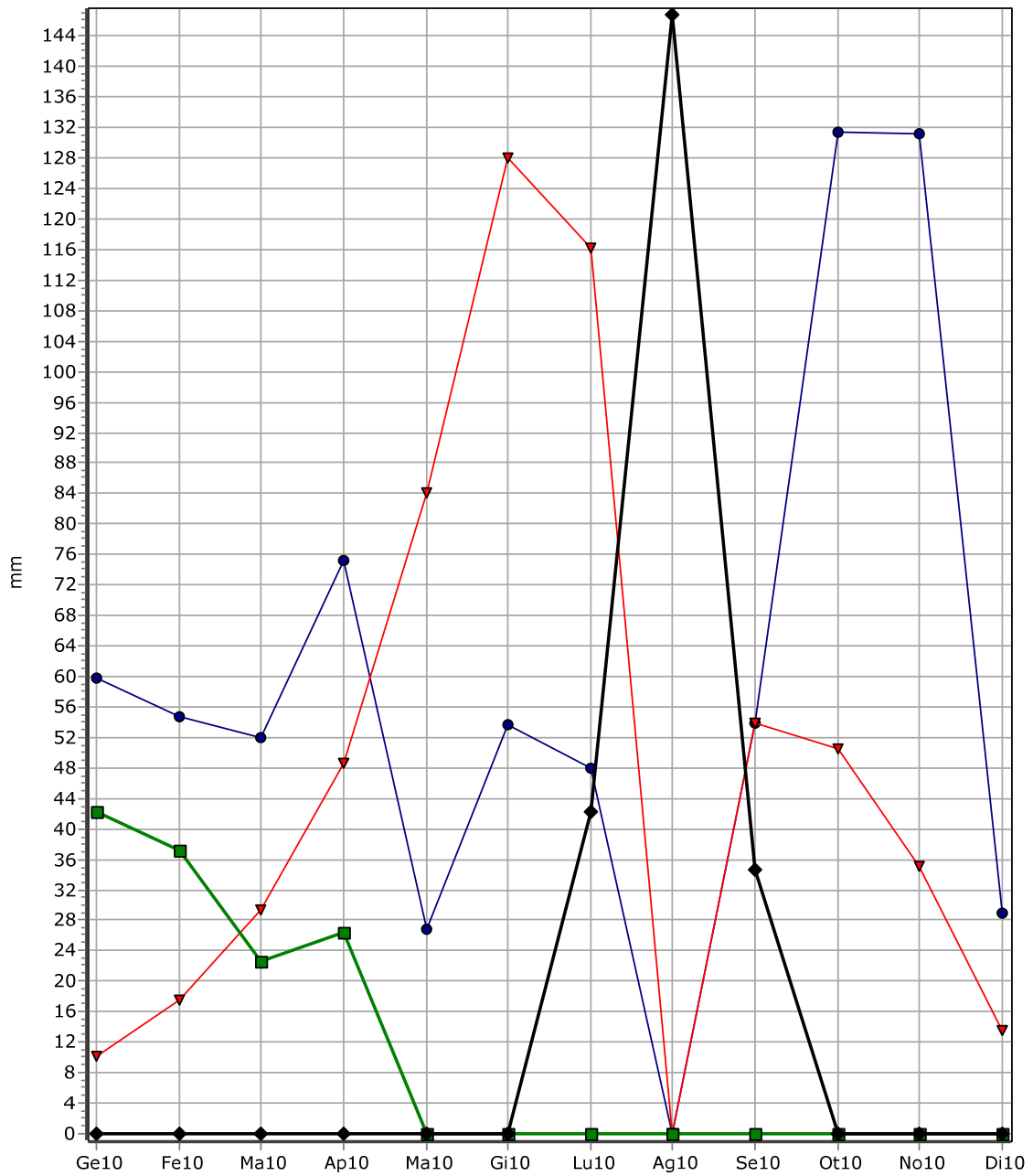


Bilancio idrologico di un bacino

| Anno | Mese | P(mm) | T(°) | Fattore K | I | Ep(mm) | EpK(mm) | P-EpK(mm) | R(mm) | Et(mm) | Su(mm) | De(mm) |
|------|-----------|-------|------|-----------|-------|--------|---------|-----------|-------|--------|--------|--------|
| 2010 | Gennaio | 59,8 | 6,1 | 0,79 | 1,35 | 13 | 10 | 50 | 200 | 10 | 42 | 0 |
| 2010 | Febbraio | 54,8 | 8 | 0,88 | 2,04 | 20 | 18 | 37 | 200 | 18 | 37 | 0 |
| 2010 | Marzo | 52 | 10,3 | 0,99 | 2,99 | 30 | 29 | 23 | 200 | 29 | 23 | 0 |
| 2010 | Aprile | 75,2 | 13,1 | 1,12 | 4,3 | 44 | 49 | 27 | 200 | 49 | 27 | 0 |
| 2010 | Maggio | 26,8 | 17,5 | 1,21 | 6,66 | 69 | 84 | -57 | 143 | 84 | 0 | 0 |
| 2010 | Giugno | 53,6 | 22,2 | 1,26 | 9,55 | 101 | 128 | -74 | 68 | 128 | 0 | 0 |
| 2010 | Luglio | 48 | 25,7 | 1,24 | 11,92 | 128 | 159 | -111 | 0 | 116 | 0 | 42 |
| 2010 | Agosto | 0 | 25,6 | 1,15 | 11,85 | 127 | 147 | -147 | 0 | 0 | 0 | 147 |
| 2010 | Settembre | 53,8 | 19,8 | 1,05 | 8,03 | 85 | 88 | -35 | 0 | 54 | 0 | 35 |
| 2010 | Ottobre | 131,4 | 15 | 0,93 | 5,28 | 54 | 50 | 81 | 81 | 50 | 0 | 0 |
| 2010 | Novembre | 131,2 | 12,9 | 0,82 | 4,2 | 43 | 35 | 96 | 177 | 35 | 0 | 0 |
| 2010 | Dicembre | 29 | 7,4 | 0,77 | 1,81 | 17 | 13 | 16 | 193 | 13 | 0 | 0 |

Bilancio idrologico di un bacino

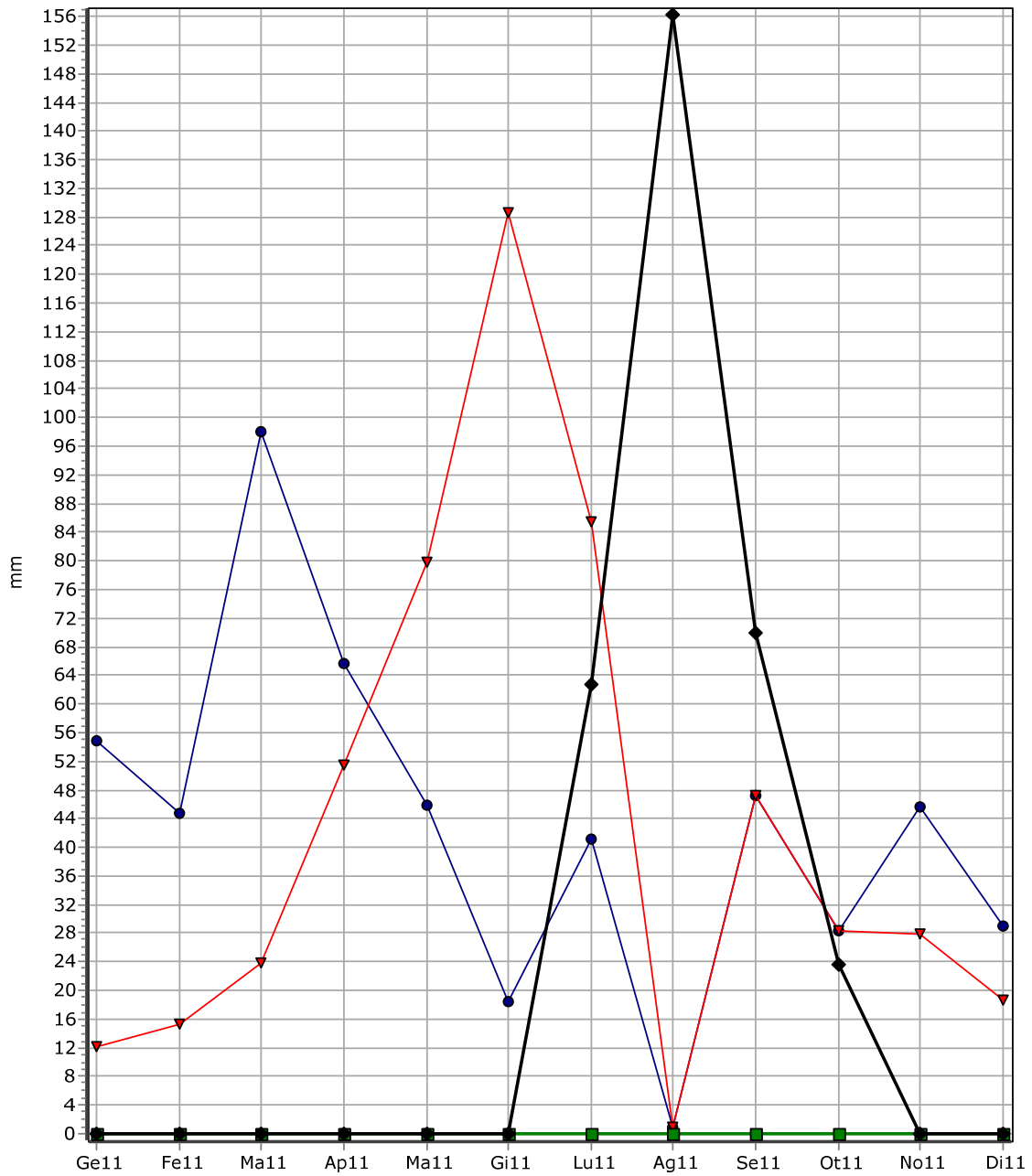
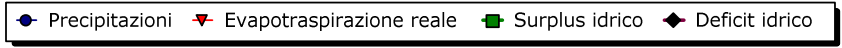
● Precipitazioni ▼ Evapotraspirazione reale ■ Surplus idrico ◆ Deficit idrico



Bilancio idrologico del bacino

| Anno | Mese | P(mm) | T(°) | Fattore K | I | Ep(mm) | EpK(mm) | P-EpK(mm) | R(mm) | Et(mm) | Su(mm) | De(mm) |
|------|-----------|-------|------|-----------|-------|--------|---------|-----------|-------|--------|--------|--------|
| 2011 | Gennaio | 54,8 | 7,2 | 0,79 | 1,74 | 16 | 12 | 43 | 71 | 12 | 0 | 0 |
| 2011 | Febbraio | 44,8 | 7,7 | 0,88 | 1,92 | 17 | 15 | 29 | 100 | 15 | 0 | 0 |
| 2011 | Marzo | 98 | 9,4 | 0,99 | 2,6 | 24 | 24 | 74 | 174 | 24 | 0 | 0 |
| 2011 | Aprile | 65,6 | 13,9 | 1,12 | 4,7 | 46 | 52 | 14 | 188 | 52 | 0 | 0 |
| 2011 | Maggio | 45,8 | 17,2 | 1,21 | 6,49 | 66 | 80 | -34 | 154 | 80 | 0 | 0 |
| 2011 | Giugno | 18,4 | 22,4 | 1,26 | 9,68 | 102 | 129 | -110 | 44 | 129 | 0 | 0 |
| 2011 | Luglio | 41,2 | 24,7 | 1,24 | 11,23 | 120 | 148 | -107 | 0 | 85 | 0 | 63 |
| 2011 | Agosto | 0,8 | 26,7 | 1,15 | 12,63 | 136 | 157 | -156 | 0 | 1 | 0 | 156 |
| 2011 | Settembre | 47,2 | 23,7 | 1,05 | 10,55 | 112 | 117 | -70 | 0 | 47 | 0 | 70 |
| 2011 | Ottobre | 28,4 | 15,6 | 0,93 | 5,6 | 56 | 52 | -24 | 0 | 28 | 0 | 24 |
| 2011 | Novembre | 45,6 | 11,5 | 0,82 | 3,53 | 34 | 28 | 18 | 18 | 28 | 0 | 0 |
| 2011 | Dicembre | 29 | 9,4 | 0,77 | 2,6 | 24 | 19 | 10 | 28 | 19 | 0 | 0 |

Bilancio idrologico del bacino

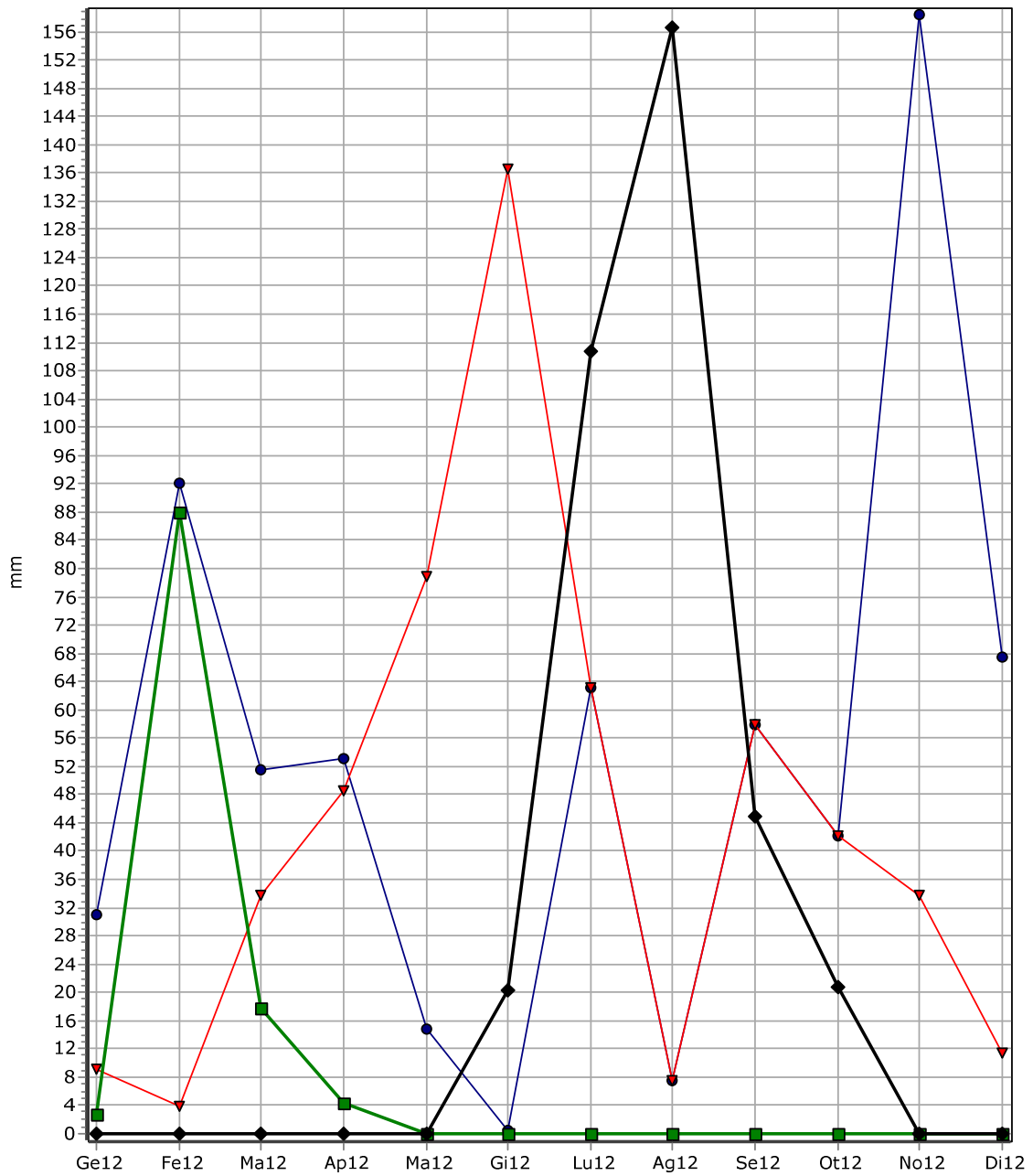


Bilancio idrologico del bacino

| Anno | Mese | P(mm) | T(°) | Fattore K | I | Ep(mm) | EpK(mm) | P-EpK(mm) | R(mm) | Et(mm) | Su(mm) | De(mm) |
|------|-----------|-------|------|-----------|-------|--------|---------|-----------|-------|--------|--------|--------|
| 2012 | Gennaio | 31 | 6,4 | 0,79 | 1,45 | 12 | 9 | 22 | 200 | 9 | 3 | 0 |
| 2012 | Febbraio | 92 | 3,7 | 0,88 | 0,63 | 4 | 4 | 88 | 200 | 4 | 88 | 0 |
| 2012 | Marzo | 51,6 | 12 | 0,99 | 3,76 | 34 | 34 | 18 | 200 | 34 | 18 | 0 |
| 2012 | Aprile | 53 | 13,8 | 1,12 | 4,65 | 44 | 49 | 4 | 200 | 49 | 4 | 0 |
| 2012 | Maggio | 14,8 | 17,4 | 1,21 | 6,61 | 65 | 79 | -64 | 136 | 79 | 0 | 0 |
| 2012 | Giugno | 0,4 | 25,3 | 1,26 | 11,64 | 124 | 157 | -156 | 0 | 136 | 0 | 20 |
| 2012 | Luglio | 63,2 | 27,2 | 1,24 | 12,99 | 141 | 174 | -111 | 0 | 63 | 0 | 111 |
| 2012 | Agosto | 7,6 | 27,4 | 1,15 | 13,14 | 143 | 164 | -157 | 0 | 8 | 0 | 157 |
| 2012 | Settembre | 58 | 22,1 | 1,05 | 9,49 | 98 | 103 | -45 | 0 | 58 | 0 | 45 |
| 2012 | Ottobre | 42,2 | 17,8 | 0,93 | 6,84 | 68 | 63 | -21 | 0 | 42 | 0 | 21 |
| 2012 | Novembre | 158,4 | 13,3 | 0,82 | 4,4 | 41 | 34 | 125 | 125 | 34 | 0 | 0 |
| 2012 | Dicembre | 67,4 | 7,4 | 0,77 | 1,81 | 15 | 11 | 56 | 181 | 11 | 0 | 0 |

Bilancio idrologico del bacino

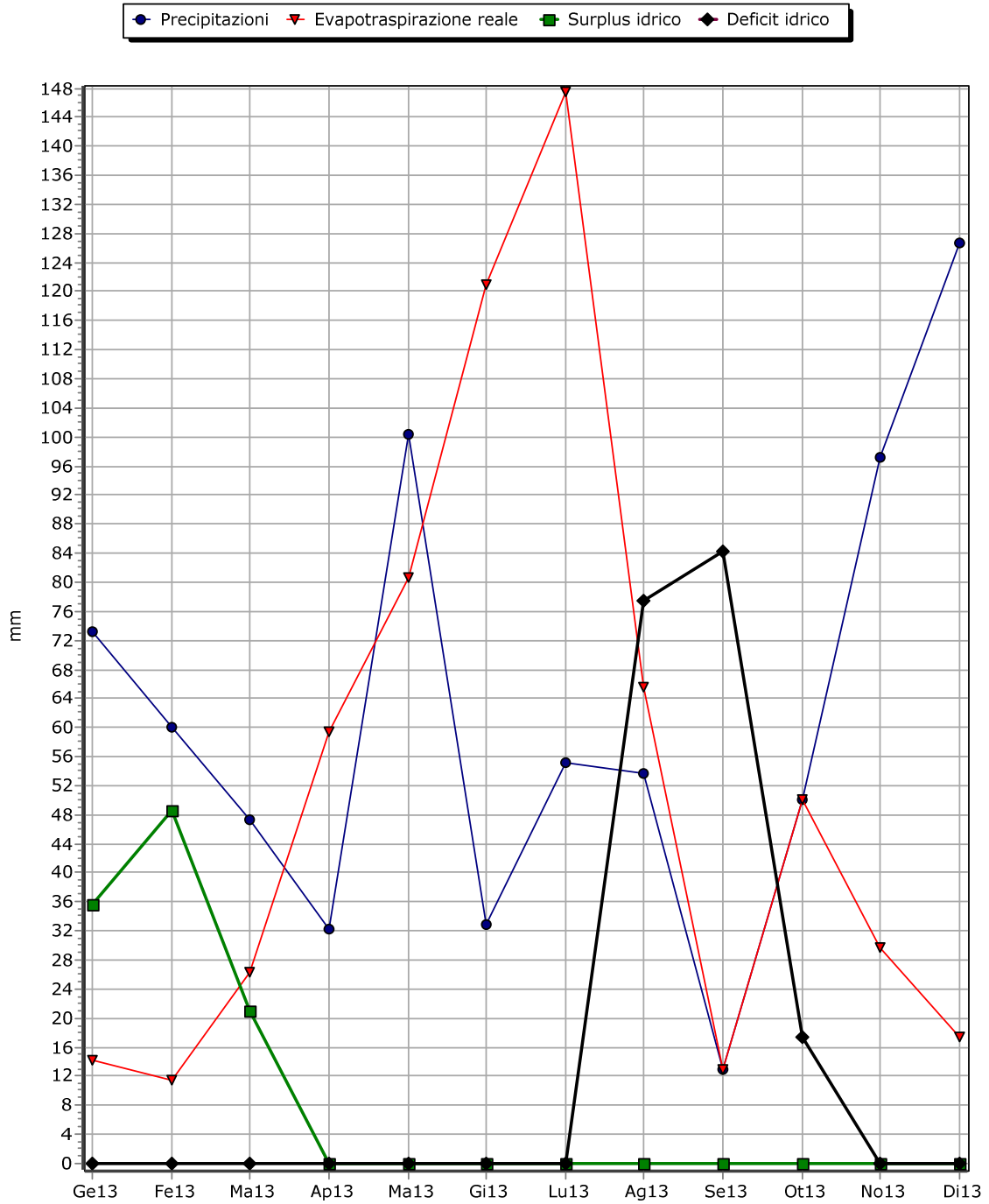
● Precipitazioni ▾ Evapotraspirazione reale ■ Surplus idrico ◆ Deficit idrico



Bilancio idrologico del bacino

| Anno | Mese | P(mm) | T(°) | Fattore K | I | Ep(mm) | EpK(mm) | P-EpK(mm) | R(mm) | Et(mm) | Su(mm) | De(mm) |
|------|-----------|-------|------|-----------|-------|--------|---------|-----------|-------|--------|--------|--------|
| 2013 | Gennaio | 73,2 | 7,7 | 0,79 | 1,92 | 18 | 14 | 59 | 200 | 14 | 36 | 0 |
| 2013 | Febbraio | 60 | 6,3 | 0,88 | 1,42 | 13 | 11 | 49 | 200 | 11 | 49 | 0 |
| 2013 | Marzo | 47,4 | 9,8 | 0,99 | 2,77 | 27 | 26 | 21 | 200 | 26 | 21 | 0 |
| 2013 | Aprile | 32,2 | 15 | 1,12 | 5,28 | 53 | 59 | -27 | 173 | 59 | 0 | 0 |
| 2013 | Maggio | 100,4 | 17,2 | 1,21 | 6,49 | 67 | 81 | 20 | 192 | 81 | 0 | 0 |
| 2013 | Giugno | 32,8 | 21,5 | 1,26 | 9,1 | 96 | 121 | -88 | 104 | 121 | 0 | 0 |
| 2013 | Luglio | 55,2 | 24,6 | 1,24 | 11,16 | 119 | 147 | -92 | 12 | 147 | 0 | 0 |
| 2013 | Agosto | 53,6 | 25,2 | 1,15 | 11,57 | 124 | 143 | -89 | 0 | 66 | 0 | 77 |
| 2013 | Settembre | 13 | 21,1 | 1,05 | 8,85 | 93 | 97 | -84 | 0 | 13 | 0 | 84 |
| 2013 | Ottobre | 50 | 18,1 | 0,93 | 7,01 | 72 | 67 | -17 | 0 | 50 | 0 | 17 |
| 2013 | Novembre | 97,2 | 11,8 | 0,82 | 3,67 | 36 | 30 | 67 | 67 | 30 | 0 | 0 |
| 2013 | Dicembre | 126,6 | 8,9 | 0,77 | 2,39 | 23 | 18 | 109 | 177 | 18 | 0 | 0 |

Bilancio idrologico del bacino

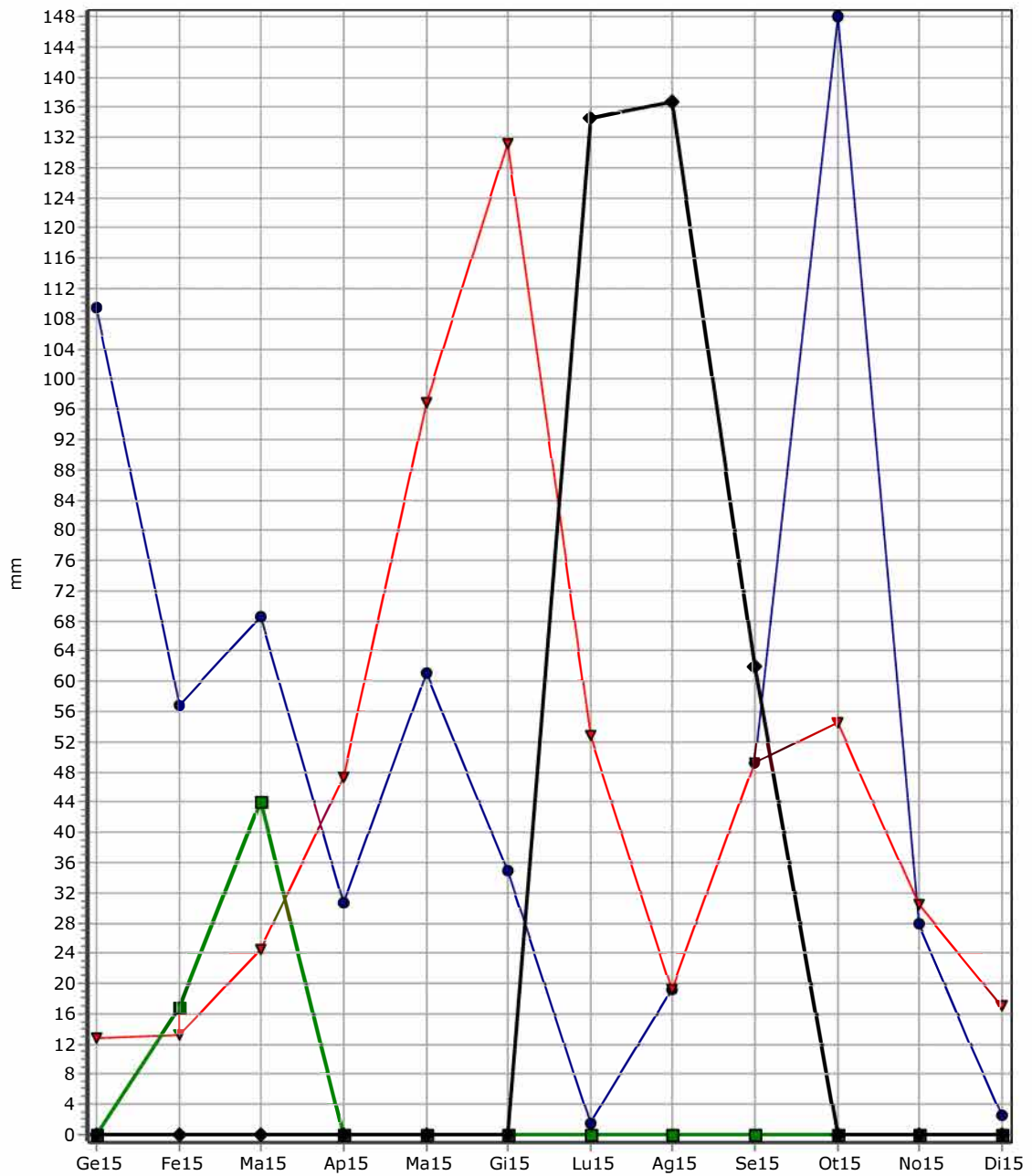


Bilancio idrologico del bacino

| Anno | Mese | P(mm) | T(°) | Fattore K | I | Ep(mm) | EpK(mm) | P-EpK(mm) | R(mm) | Et(mm) | Su(mm) | De(mm) |
|------|-----------|-------|------|-----------|-------|--------|---------|-----------|-------|--------|--------|--------|
| 2015 | Gennaio | 109,4 | 7,9 | 0,79 | 2,0 | 16 | 13 | 97 | 173 | 13 | 0 | 0 |
| 2015 | Febbraio | 56,8 | 7,6 | 0,88 | 1,88 | 15 | 13 | 44 | 200 | 13 | 17 | 0 |
| 2015 | Marzo | 68,6 | 10,1 | 0,99 | 2,9 | 25 | 25 | 44 | 200 | 25 | 44 | 0 |
| 2015 | Aprile | 30,6 | 13,7 | 1,12 | 4,6 | 42 | 47 | -17 | 183 | 47 | 0 | 0 |
| 2015 | Maggio | 61,2 | 19,7 | 1,21 | 7,97 | 80 | 97 | -36 | 148 | 97 | 0 | 0 |
| 2015 | Giugno | 35 | 22,9 | 1,26 | 10,01 | 104 | 131 | -96 | 51 | 131 | 0 | 0 |
| 2015 | Luglio | 1,4 | 28,3 | 1,24 | 13,8 | 151 | 187 | -186 | 0 | 53 | 0 | 135 |
| 2015 | Agosto | 19,2 | 26,6 | 1,15 | 12,56 | 135 | 156 | -137 | 0 | 19 | 0 | 137 |
| 2015 | Settembre | 49,2 | 23,1 | 1,05 | 10,15 | 106 | 111 | -62 | 0 | 49 | 0 | 62 |
| 2015 | Ottobre | 148 | 16,5 | 0,93 | 6,1 | 59 | 55 | 93 | 93 | 55 | 0 | 0 |
| 2015 | Novembre | 28 | 12,7 | 0,82 | 4,1 | 37 | 30 | -2 | 91 | 30 | 0 | 0 |
| 2015 | Dicembre | 2,6 | 9,5 | 0,77 | 2,64 | 22 | 17 | -15 | 77 | 17 | 0 | 0 |

Bilancio idrologico del bacino

● Precipitazioni ▼ Evapotraspirazione reale ■ Surplus idrico ◆ Deficit idrico

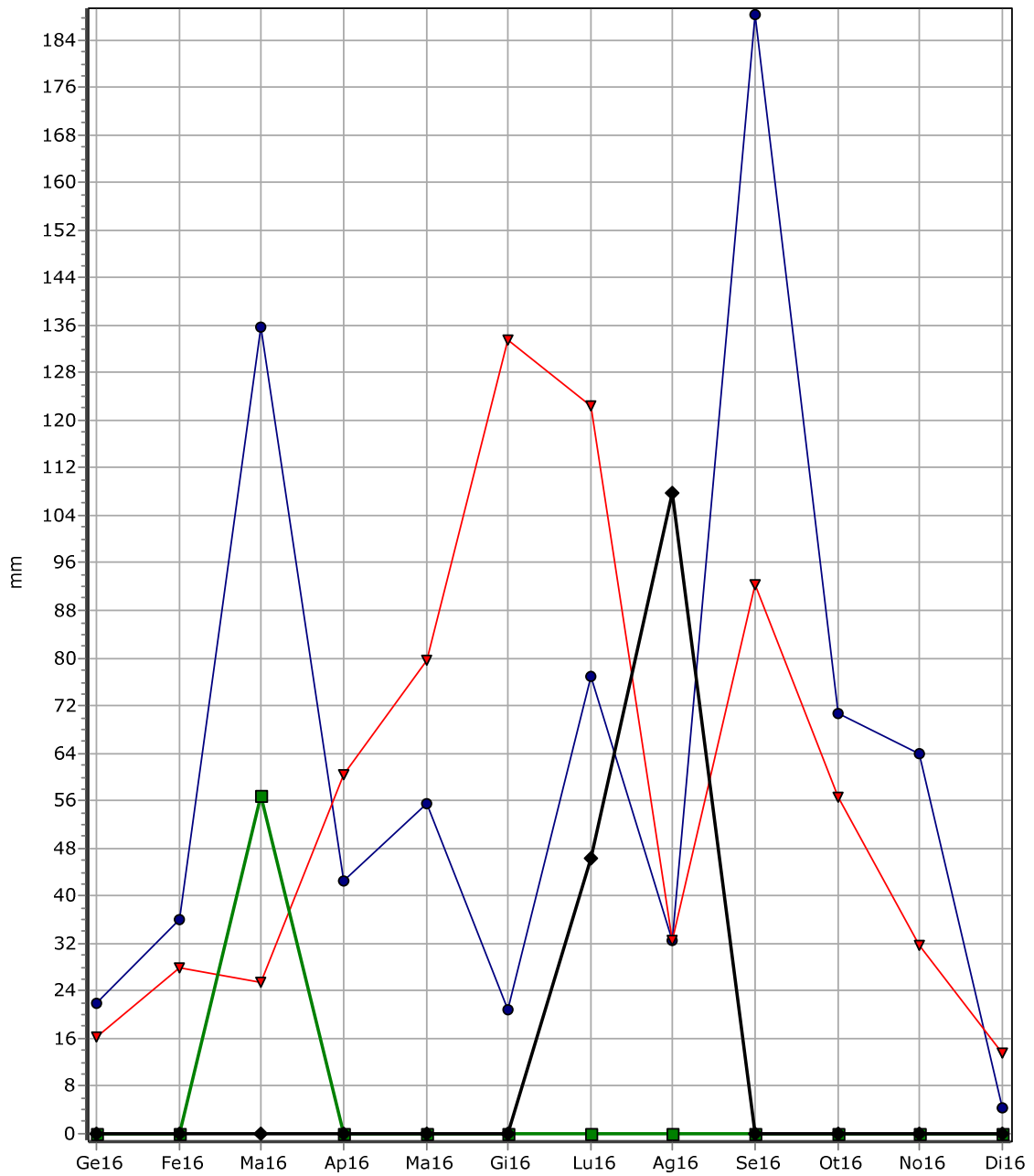


Bilancio idrologico del bacino

| Anno | Mese | P(mm) | T(°) | Fattore K | I | Ep(mm) | EpK(mm) | P-EpK(mm) | R(mm) | Et(mm) | Su(mm) | De(mm) |
|------|-----------|-------|------|-----------|-------|--------|---------|-----------|-------|--------|--------|--------|
| 2016 | Gennaio | 21,8 | 8,8 | 0,79 | 2,35 | 21 | 16 | 6 | 139 | 16 | 0 | 0 |
| 2016 | Febbraio | 36 | 11,3 | 0,88 | 3,44 | 32 | 28 | 8 | 147 | 28 | 0 | 0 |
| 2016 | Marzo | 135,6 | 10 | 0,99 | 2,86 | 26 | 25 | 110 | 200 | 25 | 57 | 0 |
| 2016 | Aprile | 42,6 | 15,5 | 1,12 | 5,55 | 54 | 60 | -18 | 182 | 60 | 0 | 0 |
| 2016 | Maggio | 55,4 | 17,4 | 1,21 | 6,61 | 66 | 80 | -24 | 158 | 80 | 0 | 0 |
| 2016 | Giugno | 20,8 | 23 | 1,26 | 10,08 | 106 | 133 | -113 | 45 | 133 | 0 | 0 |
| 2016 | Luglio | 77 | 26,7 | 1,24 | 12,63 | 136 | 169 | -92 | 0 | 122 | 0 | 46 |
| 2016 | Agosto | 32,6 | 25 | 1,15 | 11,44 | 122 | 140 | -108 | 0 | 33 | 0 | 108 |
| 2016 | Settembre | 188,2 | 20,7 | 1,05 | 8,59 | 88 | 92 | 96 | 96 | 92 | 0 | 0 |
| 2016 | Ottobre | 70,8 | 16,6 | 0,93 | 6,15 | 61 | 56 | 14 | 110 | 56 | 0 | 0 |
| 2016 | Novembre | 64 | 12,7 | 0,82 | 4,1 | 38 | 32 | 32 | 142 | 32 | 0 | 0 |
| 2016 | Dicembre | 4,2 | 8 | 0,77 | 2,04 | 18 | 13 | -9 | 133 | 13 | 0 | 0 |

Bilancio idrologico del bacino

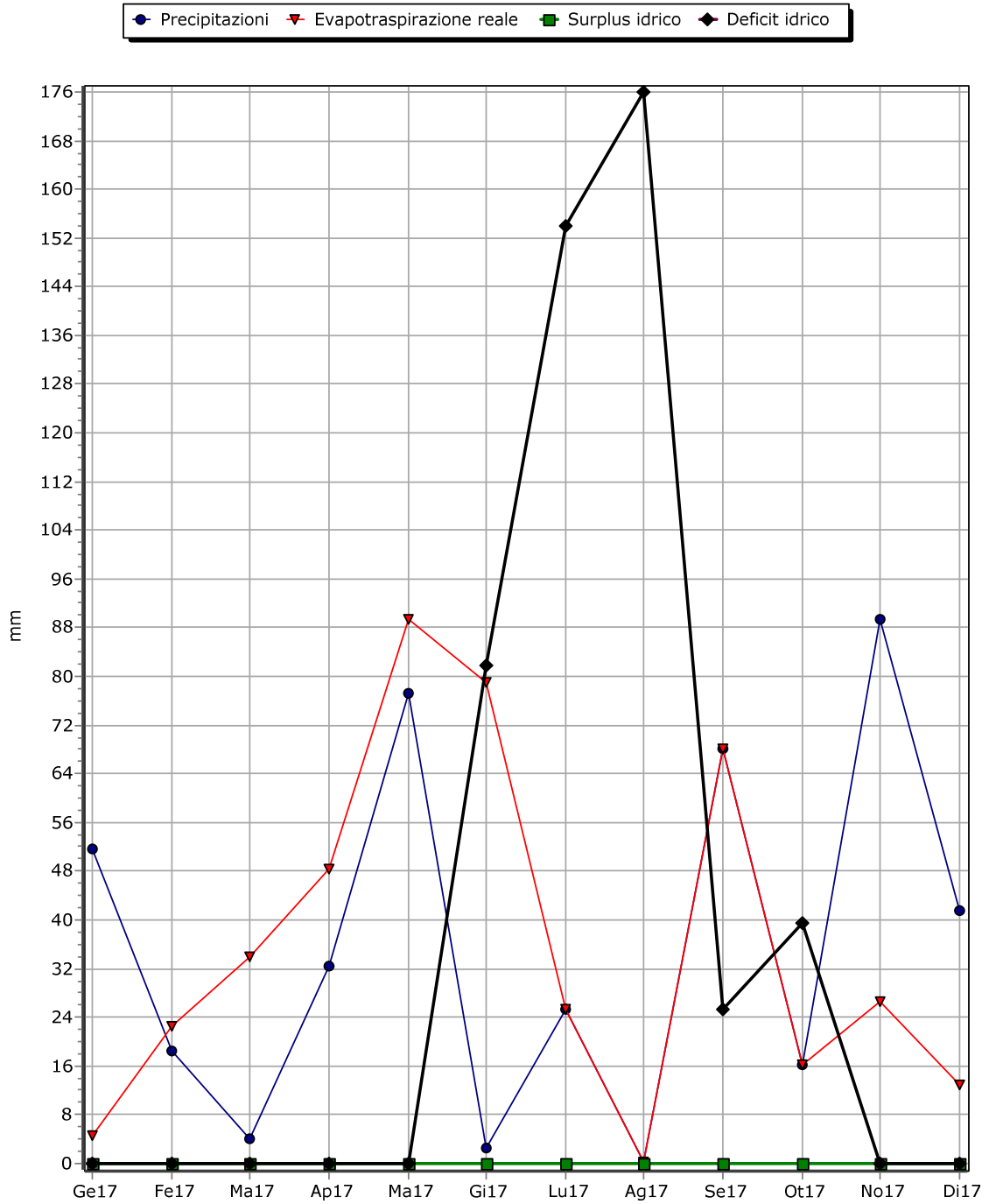
● Precipitazioni ▾ Evapotraspirazione reale ■ Surplus idrico ◆ Deficit idrico



Bilancio idrologico del bacino

| Anno | Mese | P(mm) | T(°) | Fattore K | I | Ep(mm) | EpK(mm) | P-EpK(mm) | R(mm) | Et(mm) | Su(mm) | De(mm) |
|------|-----------|-------|------|-----------|-------|--------|---------|-----------|-------|--------|--------|--------|
| 2017 | Gennaio | 51,6 | 4,5 | 0,79 | 0,85 | 6 | 5 | 47 | 138 | 5 | 0 | 0 |
| 2017 | Febbraio | 18,4 | 10,4 | 0,88 | 3,03 | 25 | 22 | -4 | 134 | 22 | 0 | 0 |
| 2017 | Marzo | 4 | 12,3 | 0,99 | 3,91 | 34 | 34 | -30 | 104 | 34 | 0 | 0 |
| 2017 | Aprile | 32,4 | 14 | 1,12 | 4,75 | 43 | 48 | -16 | 88 | 48 | 0 | 0 |
| 2017 | Maggio | 77,2 | 18,9 | 1,21 | 7,49 | 74 | 89 | -12 | 76 | 89 | 0 | 0 |
| 2017 | Giugno | 2,6 | 25,7 | 1,26 | 11,92 | 127 | 161 | -158 | 0 | 79 | 0 | 82 |
| 2017 | Luglio | 25,4 | 27,6 | 1,24 | 13,28 | 145 | 179 | -154 | 0 | 25 | 0 | 154 |
| 2017 | Agosto | 0,2 | 28,5 | 1,15 | 13,94 | 153 | 176 | -176 | 0 | 0 | 0 | 176 |
| 2017 | Settembre | 68,2 | 21 | 1,05 | 8,78 | 89 | 93 | -25 | 0 | 68 | 0 | 25 |
| 2017 | Ottobre | 16,2 | 16,8 | 0,93 | 6,26 | 60 | 56 | -39 | 0 | 16 | 0 | 39 |
| 2017 | Novembre | 89,4 | 11,9 | 0,82 | 3,72 | 32 | 27 | 63 | 63 | 27 | 0 | 0 |
| 2017 | Dicembre | 41,4 | 8,2 | 0,77 | 2,11 | 17 | 13 | 29 | 91 | 13 | 0 | 0 |

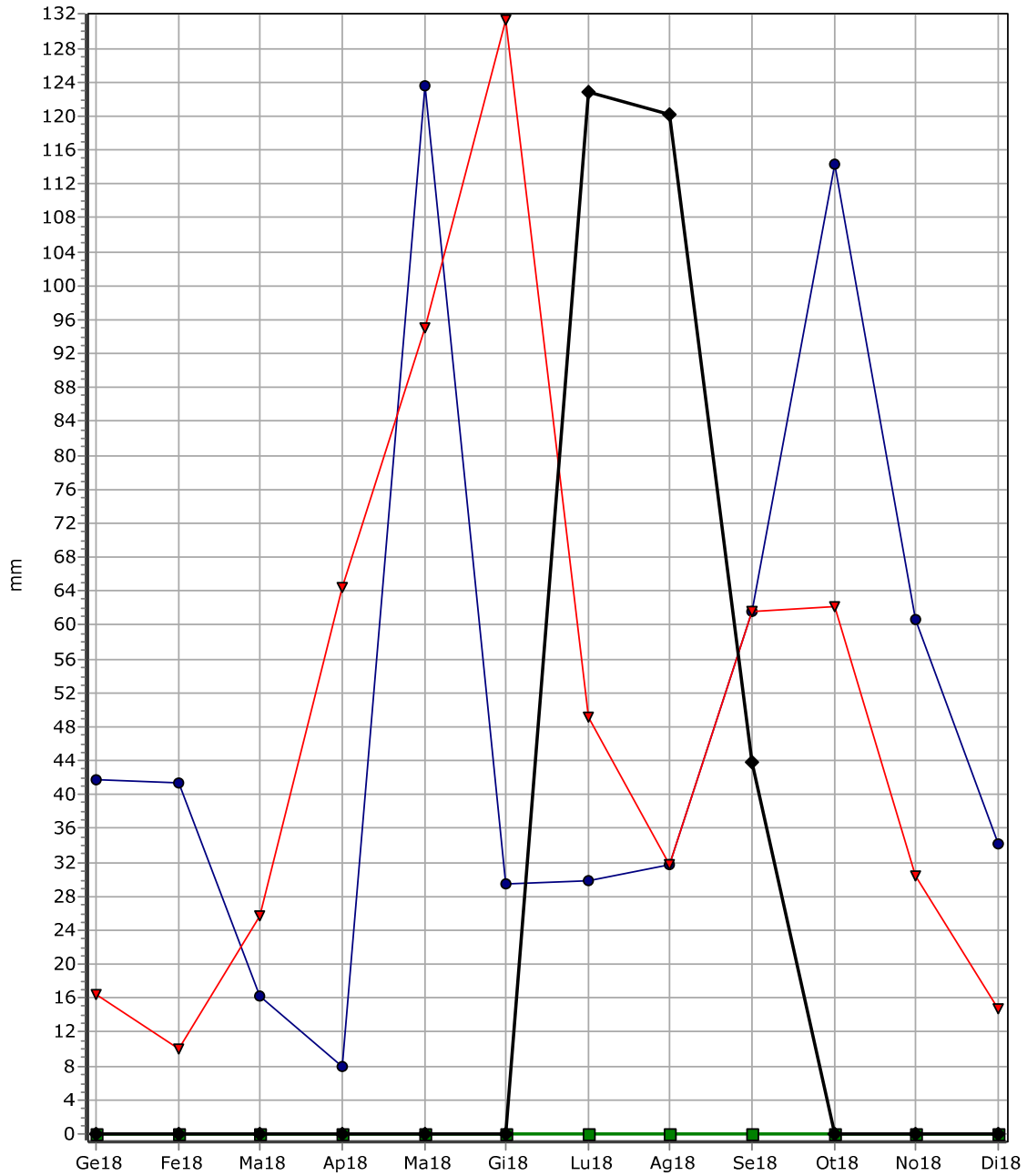
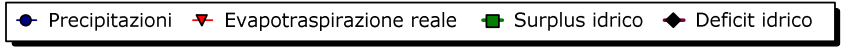
Bilancio idrologico del bacino



Bilancio idrologico del bacino

| Anno | Mese | P(mm) | T(°) | Fattore K | I | Ep(mm) | EpK(mm) | P-EpK(mm) | R(mm) | Et(mm) | Su(mm) | De(mm) |
|------|-----------|-------|------|-----------|-------|--------|---------|-----------|-------|--------|--------|--------|
| 2018 | Gennaio | 41,8 | 9,2 | 0,79 | 2,52 | 21 | 16 | 25 | 127 | 16 | 0 | 0 |
| 2018 | Febbraio | 41,4 | 6,5 | 0,88 | 1,49 | 11 | 10 | 31 | 159 | 10 | 0 | 0 |
| 2018 | Marzo | 16,2 | 10,4 | 0,99 | 3,03 | 26 | 26 | -9 | 149 | 26 | 0 | 0 |
| 2018 | Aprile | 8 | 16,4 | 1,12 | 6,04 | 58 | 64 | -56 | 93 | 64 | 0 | 0 |
| 2018 | Maggio | 123,6 | 19,5 | 1,21 | 7,85 | 78 | 95 | 29 | 121 | 95 | 0 | 0 |
| 2018 | Giugno | 29,4 | 22,9 | 1,26 | 10,01 | 104 | 131 | -102 | 19 | 131 | 0 | 0 |
| 2018 | Luglio | 29,8 | 27 | 1,24 | 12,85 | 139 | 172 | -142 | 0 | 49 | 0 | 123 |
| 2018 | Agosto | 31,8 | 26,2 | 1,15 | 12,28 | 132 | 152 | -120 | 0 | 32 | 0 | 120 |
| 2018 | Settembre | 61,6 | 22,5 | 1,05 | 9,75 | 101 | 106 | -44 | 0 | 62 | 0 | 44 |
| 2018 | Ottobre | 114,4 | 17,8 | 0,93 | 6,84 | 67 | 62 | 52 | 52 | 62 | 0 | 0 |
| 2018 | Novembre | 60,6 | 12,7 | 0,82 | 4,1 | 37 | 30 | 30 | 83 | 30 | 0 | 0 |
| 2018 | Dicembre | 34,2 | 8,8 | 0,77 | 2,35 | 19 | 15 | 19 | 102 | 15 | 0 | 0 |

Bilancio idrologico del bacino

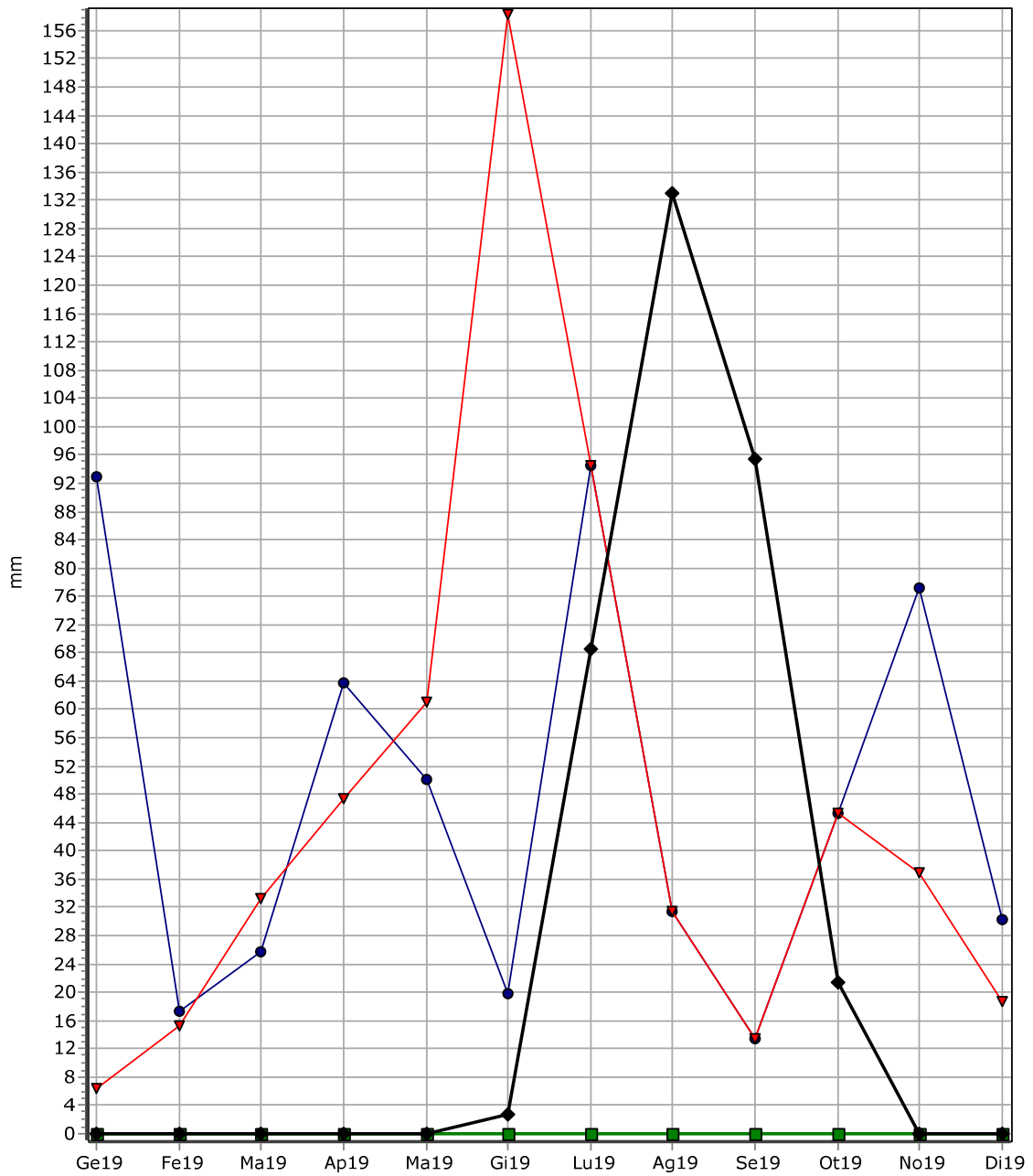


Bilancio idrologico del bacino

| Anno | Mese | P(mm) | T(°) | Fattore K | I | Ep(mm) | EpK(mm) | P-EpK(mm) | R(mm) | Et(mm) | Su(mm) | De(mm) |
|------|-----------|-------|------|-----------|-------|--------|---------|-----------|-------|--------|--------|--------|
| 2019 | Gennaio | 92,8 | 5,4 | 0,79 | 1,12 | 8 | 6 | 86 | 138 | 6 | 0 | 0 |
| 2019 | Febbraio | 17,2 | 8,3 | 0,88 | 2,15 | 17 | 15 | 2 | 140 | 15 | 0 | 0 |
| 2019 | Marzo | 25,8 | 12,1 | 0,99 | 3,81 | 34 | 33 | -7 | 133 | 33 | 0 | 0 |
| 2019 | Aprile | 63,8 | 13,8 | 1,12 | 4,65 | 42 | 47 | 16 | 149 | 47 | 0 | 0 |
| 2019 | Maggio | 50,2 | 15,2 | 1,21 | 5,38 | 50 | 61 | -11 | 138 | 61 | 0 | 0 |
| 2019 | Giugno | 19,8 | 25,7 | 1,26 | 11,92 | 127 | 161 | -141 | 0 | 158 | 0 | 3 |
| 2019 | Luglio | 94,4 | 26,2 | 1,24 | 12,28 | 132 | 163 | -69 | 0 | 94 | 0 | 69 |
| 2019 | Agosto | 31,4 | 27,4 | 1,15 | 13,14 | 143 | 164 | -133 | 0 | 31 | 0 | 133 |
| 2019 | Settembre | 13,4 | 22,9 | 1,05 | 10,01 | 104 | 109 | -95 | 0 | 13 | 0 | 95 |
| 2019 | Ottobre | 45,4 | 18,6 | 0,93 | 7,31 | 72 | 67 | -22 | 0 | 45 | 0 | 22 |
| 2019 | Novembre | 77,2 | 14,2 | 0,82 | 4,86 | 45 | 37 | 40 | 40 | 37 | 0 | 0 |
| 2019 | Dicembre | 30,2 | 10,1 | 0,77 | 2,9 | 24 | 19 | 11 | 52 | 19 | 0 | 0 |

Bilancio idrologico del bacino

● Precipitazioni ▾ Evapotraspirazione reale ■ Surplus idrico ◆ Deficit idrico



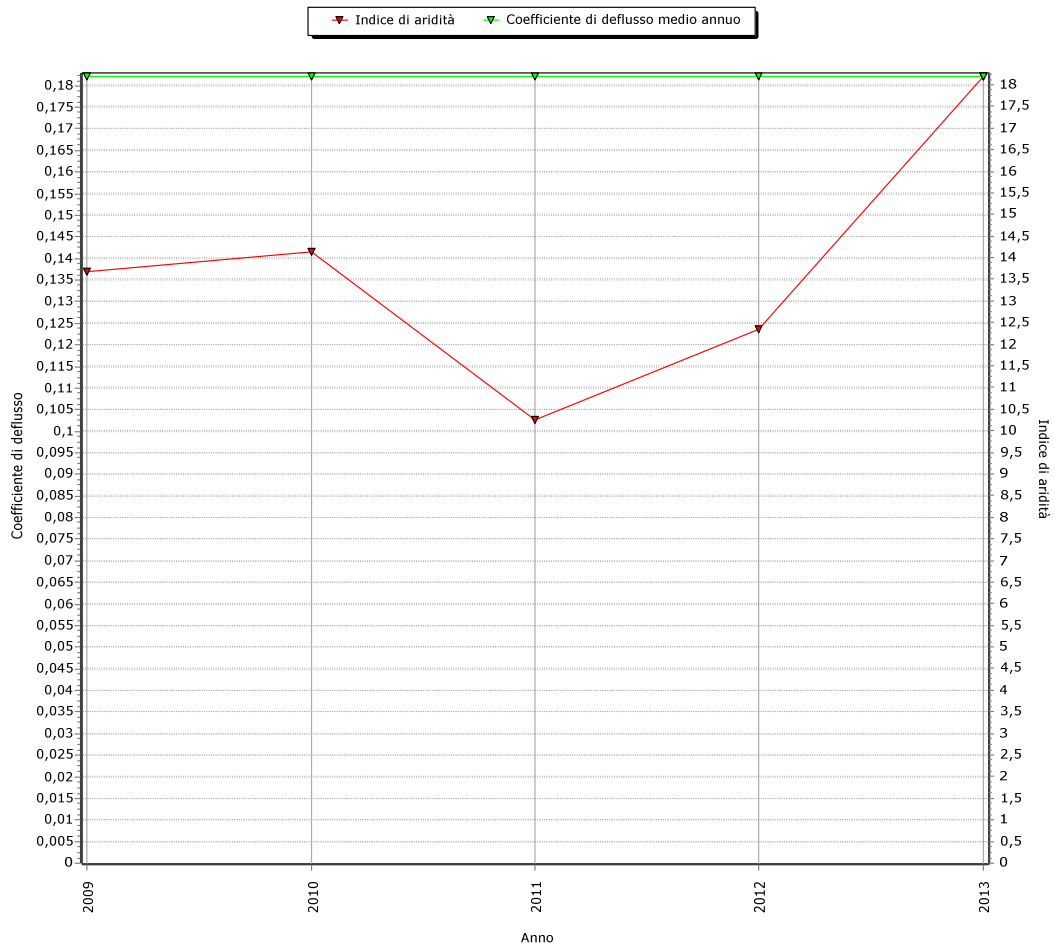
Stima del coefficiente di deflusso medio annuo di un bacino (metodo di Kennessey)

| Parametro | Descrizione | Ia<25 | 25<=Ia<=40 | Ia>40 | Area parz.(kmq) | Area tot.(kmq) |
|--------------|---------------------|-------|------------|-------|-----------------|----------------|
| Permeabilità | Molto bassa | 0,21 | 0,26 | 0,3 | 0,000 | |
| | Bassa | 0,16 | 0,21 | 0,26 | 0,000 | |
| | Mediocre | 0,12 | 0,16 | 0,2 | 0,454 | |
| | Buona | 0,06 | 0,08 | 0,1 | 0,537 | |
| | Elevata | 0,03 | 0,04 | 0,05 | 0,000 | 0,991 |
| Acclività | >35% | 0,22 | 0,26 | 0,3 | 0,003 | |
| | 10%-35% | 0,12 | 0,16 | 0,2 | 0,170 | |
| | 3.5%-10% | 0,01 | 0,03 | 0,05 | 0,333 | |
| | <3.5% | 0,0 | 0,01 | 0,03 | 0,485 | 0,991 |
| Vegetazione | Assente | 0,26 | 0,28 | 0,3 | 0,000 | |
| | Pascolo | 0,17 | 0,21 | 0,25 | 0,000 | |
| | Terra coltivata, | 0,07 | 0,11 | 0,15 | 0,991 | |
| | Bosco di alto fusto | 0,03 | 0,04 | 0,05 | 0,000 | 0,991 |

Stima del coefficiente di deflusso medio annuo di un bacino (metodo di Kennessey)

| Anno | Prec.media annua(mm) | Temp.media | Prec.mese+arido(mm) | Temp.mese+arido(°C) | Indice di aridità | Coef.deflusso |
|------|----------------------|------------|---------------------|---------------------|-------------------|---------------|
| 2009 | 664 | 15,8 | 3,6 | 26,4 | 13,7 | 0,182 |
| 2010 | 716 | 15,3 | 0 | 25,6 | 14,2 | 0,182 |
| 2011 | 520 | 15,8 | 0,8 | 26,7 | 10,3 | 0,182 |
| 2012 | 640 | 16,1 | 0,4 | 25,3 | 12,4 | 0,182 |
| 2013 | 742 | 15,6 | 13 | 21,1 | 18,2 | 0,182 |

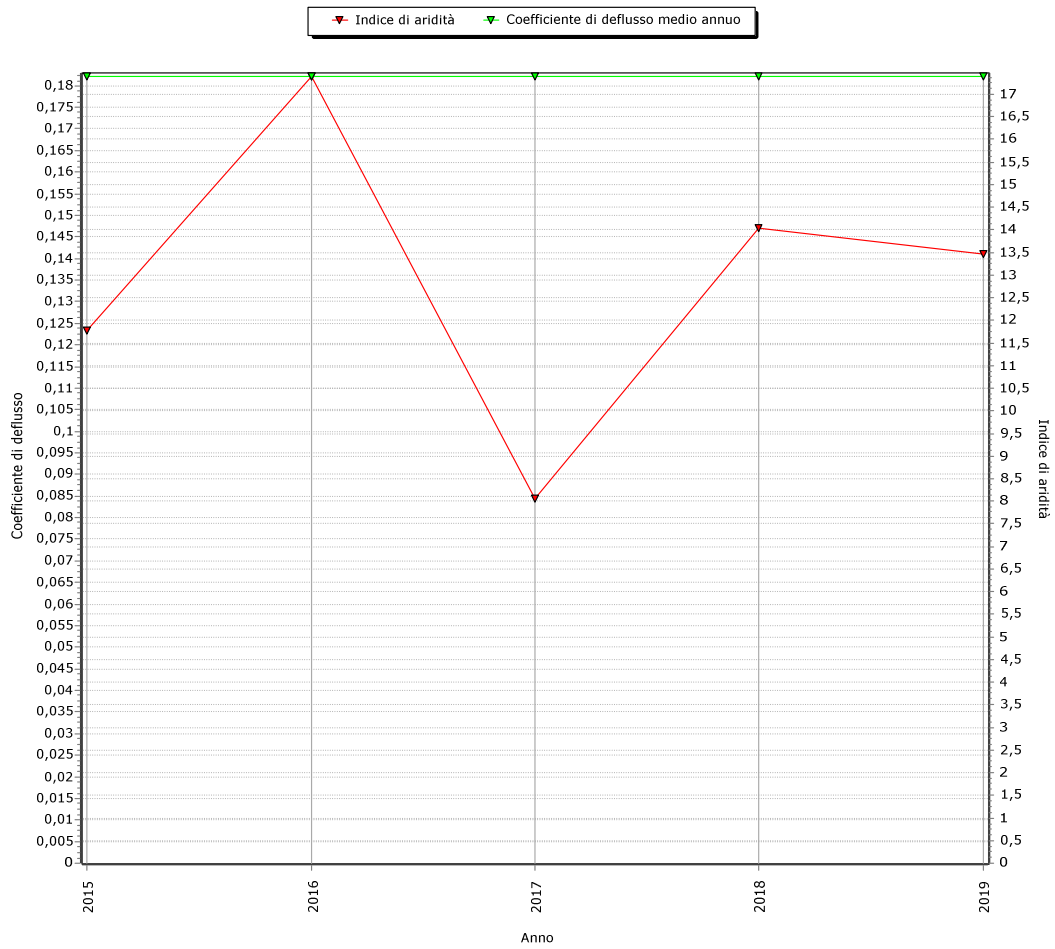
Stima del coefficiente di deflusso medio annuo di un bacino (metodo di Kennessey)



Stima del coefficiente di deflusso medio annuo di un bacino (metodo di Kennessey)

| Anno | Prec.media annua(mm) | Temp.media | Prec.mese+arido(mm) | Temp.mese+arido(°C) | Indice di aridità | Coef.deflusso |
|------|----------------------|------------|---------------------|---------------------|-------------------|---------------|
| 2015 | 610 | 16,6 | 1,4 | 28,3 | 11,8 | 0,182 |
| 2016 | 749 | 16,3 | 4,2 | 8 | 17,4 | 0,182 |
| 2017 | 427 | 16,6 | 0,2 | 28,5 | 8,1 | 0,182 |
| 2018 | 593 | 16,7 | 8 | 16,4 | 14,0 | 0,182 |
| 2019 | 562 | 16,7 | 13,4 | 27,4 | 13,5 | 0,182 |

Stima del coefficiente di deflusso medio annuo di un bacino (metodo di Kennessey)

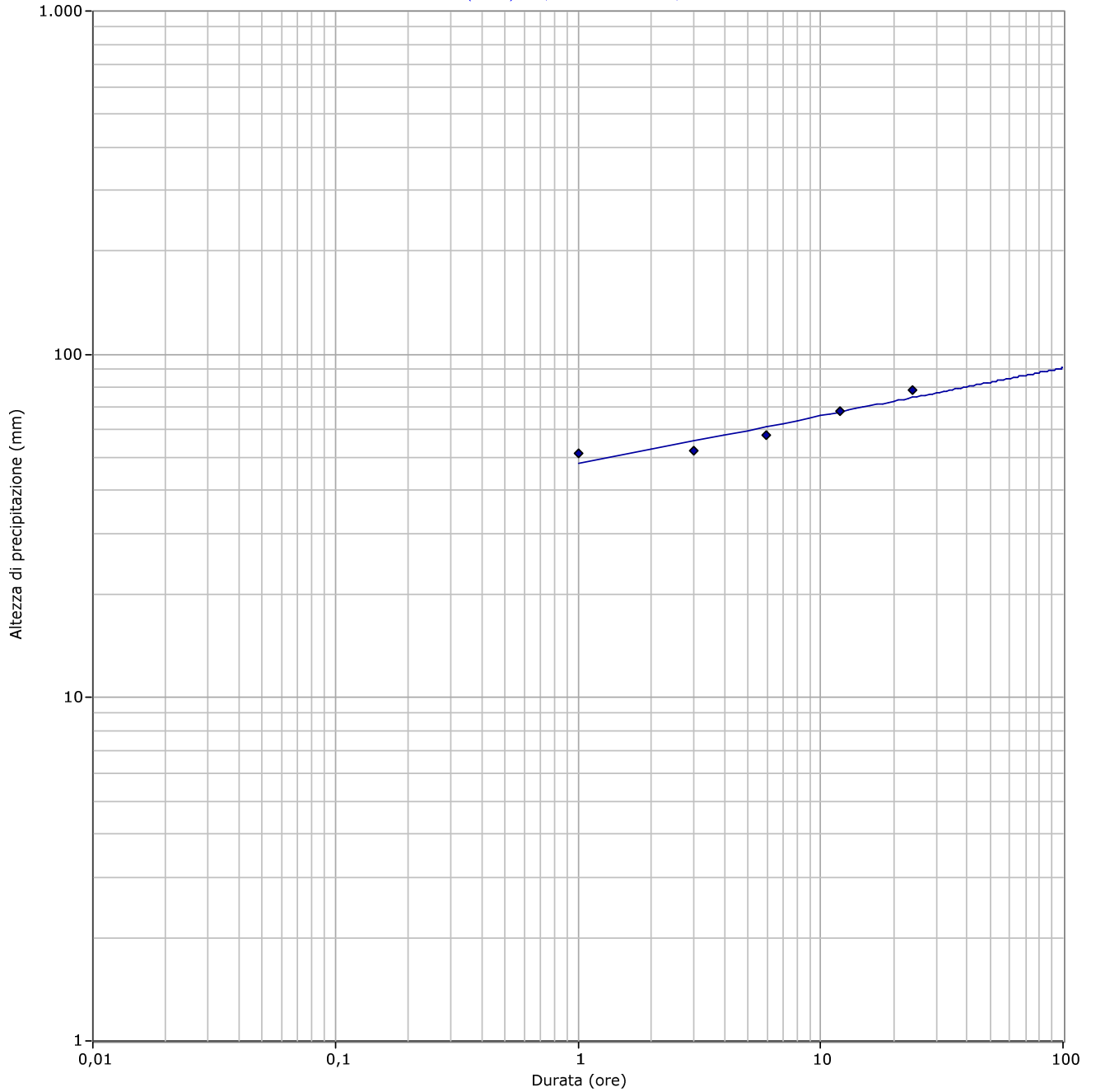


Curva di possibilità pluviometrica

| N. | T(anno) | t=10min | t=15min | t=30min | t=45min | t=1h | t=3h | t=6h | t=12h | t=24h |
|----|---------|---------|---------|---------|---------|------|------|------|-------|-------|
| 1 | 2009 | | | | | 24,6 | 25,2 | 31,2 | 35,4 | 41,2 |
| 2 | 2010 | | | | | 19,4 | 29,2 | 41,4 | 42,8 | 44 |
| 3 | 2011 | | | | | 27,2 | 27,8 | 27,8 | 33,2 | 35,2 |
| 4 | 2012 | | | | | 26,4 | 26,8 | 30 | 33 | 46 |
| 5 | 2015 | | | | | 32,8 | 35,6 | 39,8 | 49 | 49,2 |
| 6 | 2016 | | | | | 46 | 47,2 | 47,2 | 47,6 | 67,6 |
| 7 | 2017 | | | | | 25,8 | 29,8 | 41,2 | 43,8 | 46,2 |
| 8 | 2018 | | | | | 37 | 42,8 | 43,4 | 43,4 | 58 |
| 9 | 2019 | | | | | 18,4 | 32,4 | 48,2 | 63,4 | 65 |

0

Parametro a(mm/h)= 48,03 Parametro n= 0,14

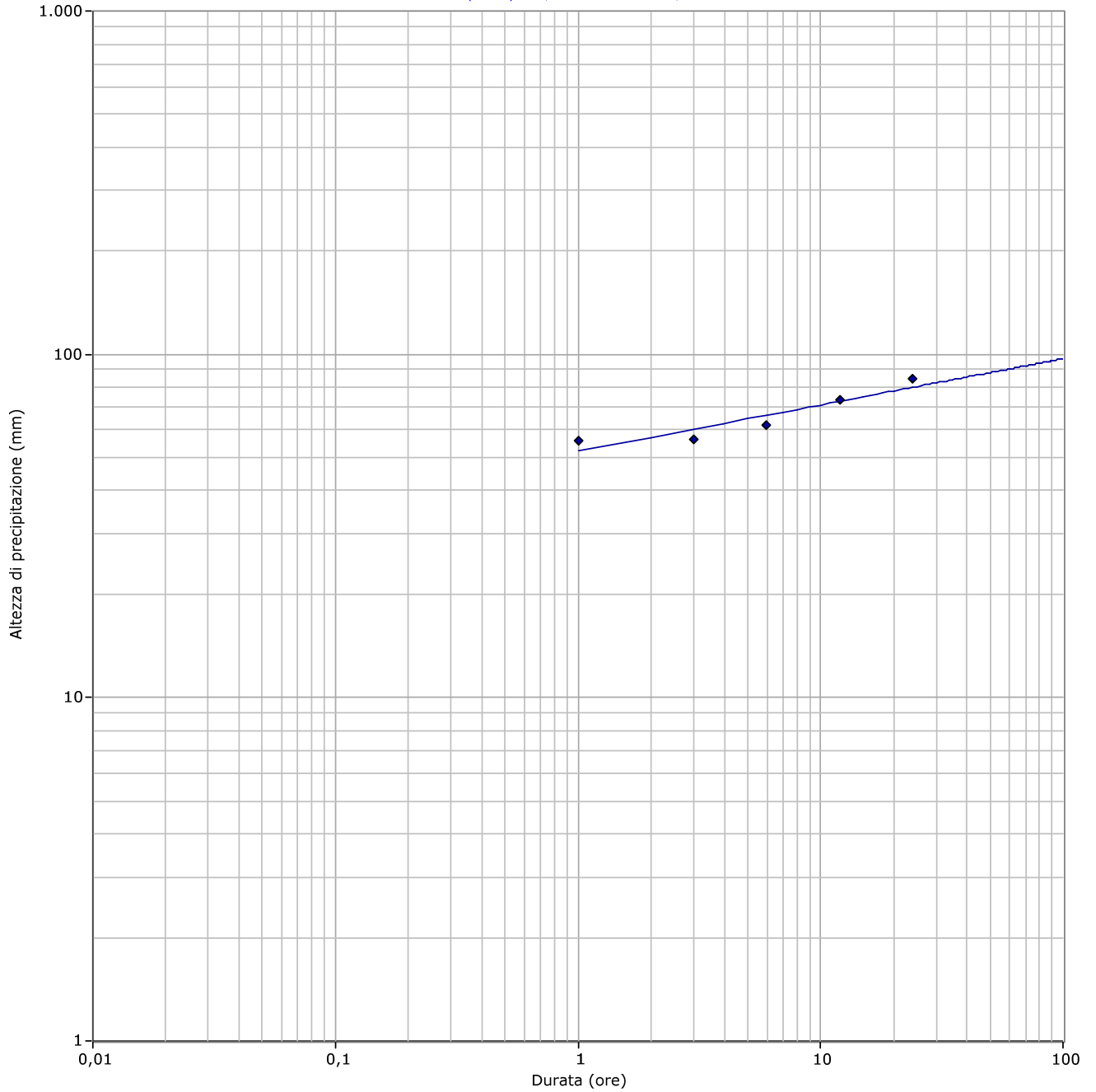


Tempo di ritorno (anni):50-precipitazioni con durata >=1h

GEO CONSULTLAB S.r.l. S.S. 7 Bis - Area P.I.P. 83030 - Manocalzati (AV) info@geoconsultlab.it 0825675873

0

Parametro a(mm/h)= 52,22 Parametro n= 0,13

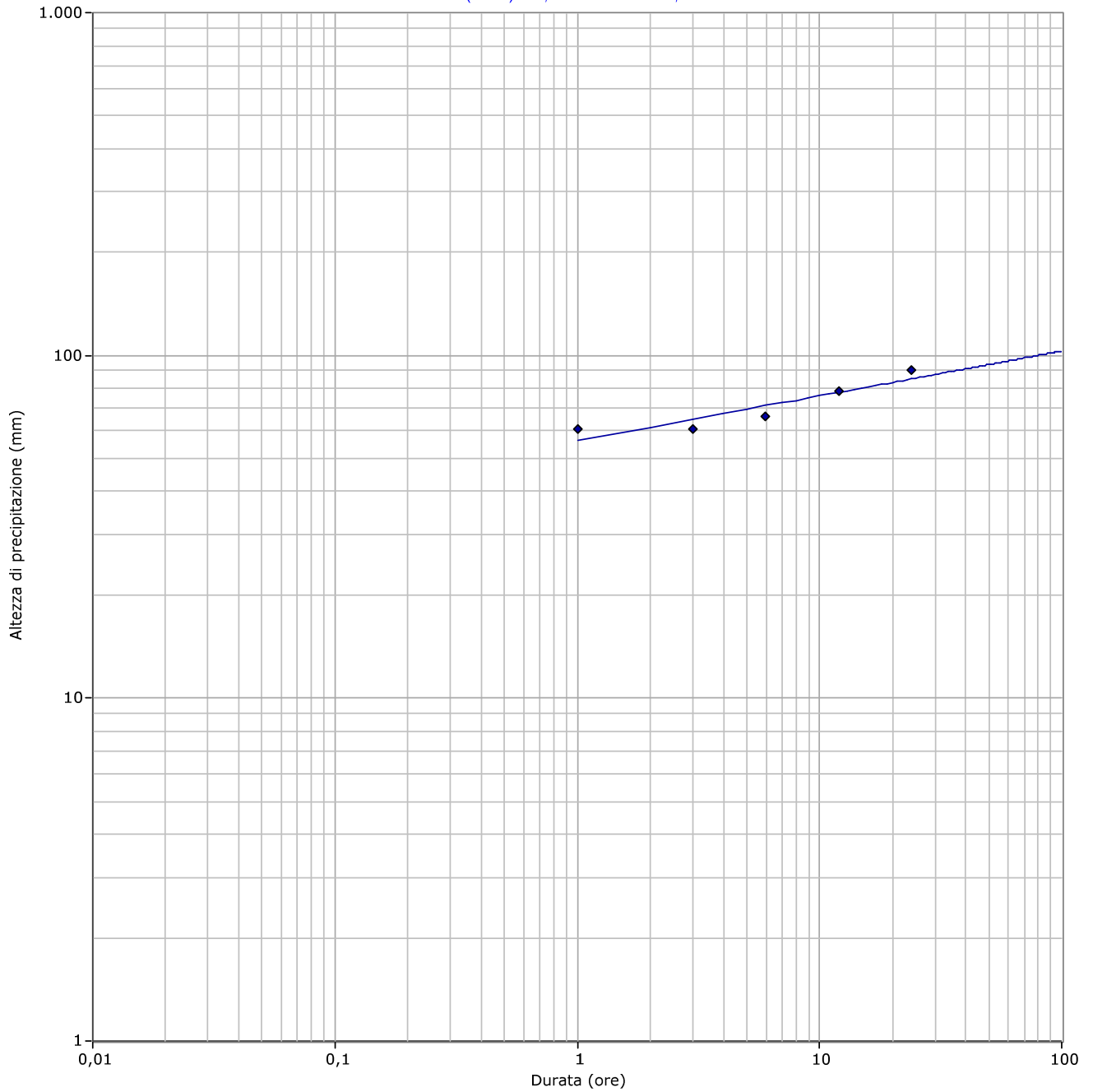


Tempo di ritorno (anni):100-precipitazioni con durata >=1h

GEO CONSULTLAB S.r.l. S.S. 7 Bis - Area P.I.P. 83030 - Manocalzati (AV) info@geoconsultlab.it 0825675873

0

Parametro a(mm/h)= 56,39 Parametro n= 0,13



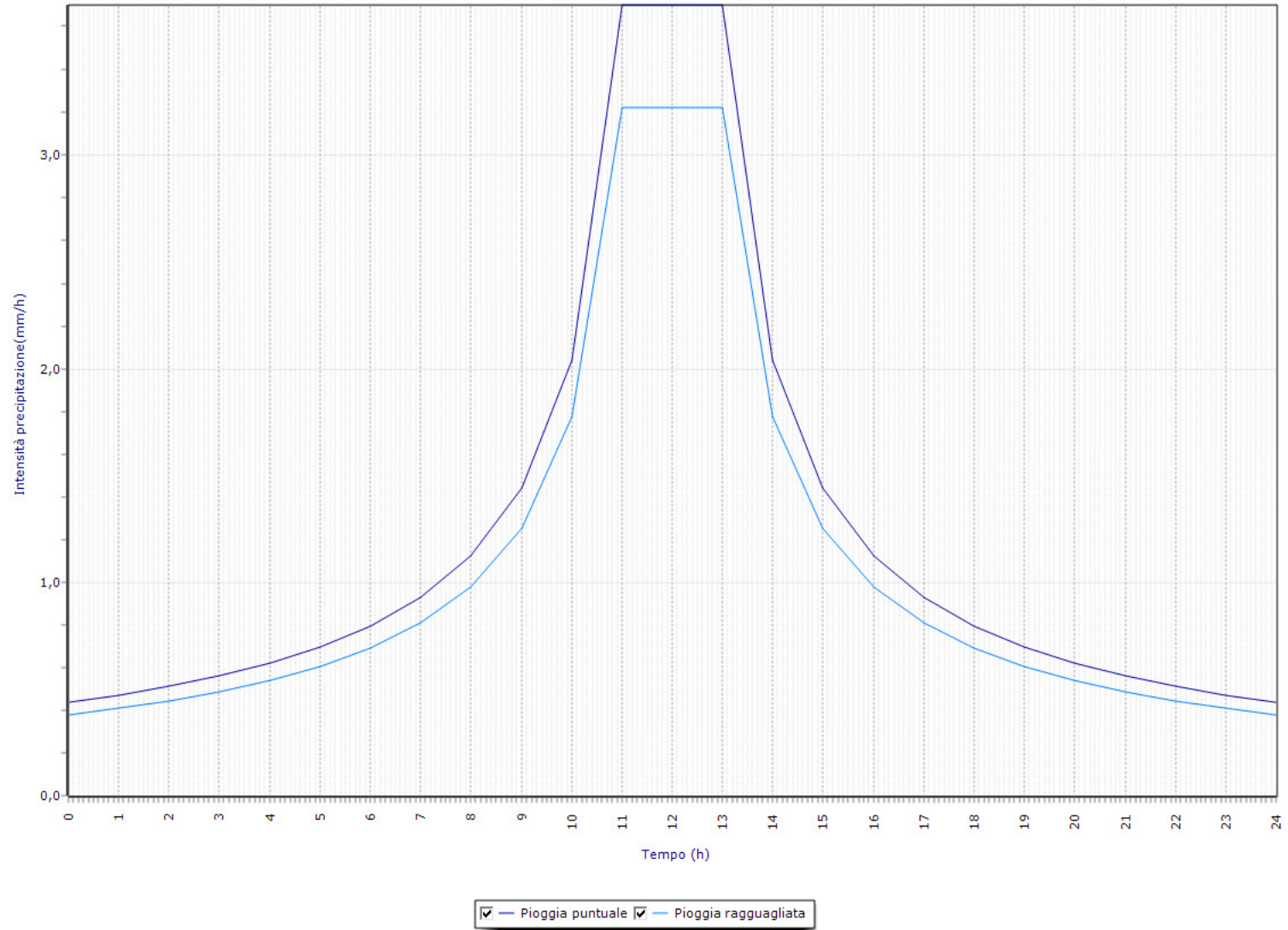
Tempo di ritorno (anni):200-precipitazioni con durata >=1h

GEO CONSULTLAB S.r.l. S.S. 7 Bis - Area P.I.P. 83030 - Manocalzati (AV) info@geoconsultlab.it 0825675873

Ietogramma della pioggia di progetto

| N. | Tempo(ore) | intensità(mm/h) | int.ragg.(mm/h) |
|----|------------|-----------------|-----------------|
| 1 | 0,0 | 0,44 | 0,38 |
| 2 | 1,0 | 0,47 | 0,41 |
| 3 | 2,0 | 0,51 | 0,44 |
| 4 | 3,0 | 0,56 | 0,49 |
| 5 | 4,0 | 0,62 | 0,54 |
| 6 | 5,0 | 0,69 | 0,6 |
| 7 | 6,0 | 0,79 | 0,69 |
| 8 | 7,0 | 0,93 | 0,81 |
| 9 | 8,0 | 1,12 | 0,98 |
| 10 | 9,0 | 1,44 | 1,25 |
| 11 | 10,0 | 2,04 | 1,78 |
| 12 | 11,0 | 3,7 | 3,22 |
| 13 | 12,0 | 3,7 | 3,22 |
| 14 | 13,0 | 3,7 | 3,22 |
| 15 | 14,0 | 2,04 | 1,78 |
| 16 | 15,0 | 1,44 | 1,25 |
| 17 | 16,0 | 1,12 | 0,98 |
| 18 | 17,0 | 0,93 | 0,81 |
| 19 | 18,0 | 0,79 | 0,69 |
| 20 | 19,0 | 0,69 | 0,6 |
| 21 | 20,0 | 0,62 | 0,54 |
| 22 | 21,0 | 0,56 | 0,49 |
| 23 | 22,0 | 0,51 | 0,44 |
| 24 | 23,0 | 0,47 | 0,41 |
| 25 | 24,0 | 0,44 | 0,38 |

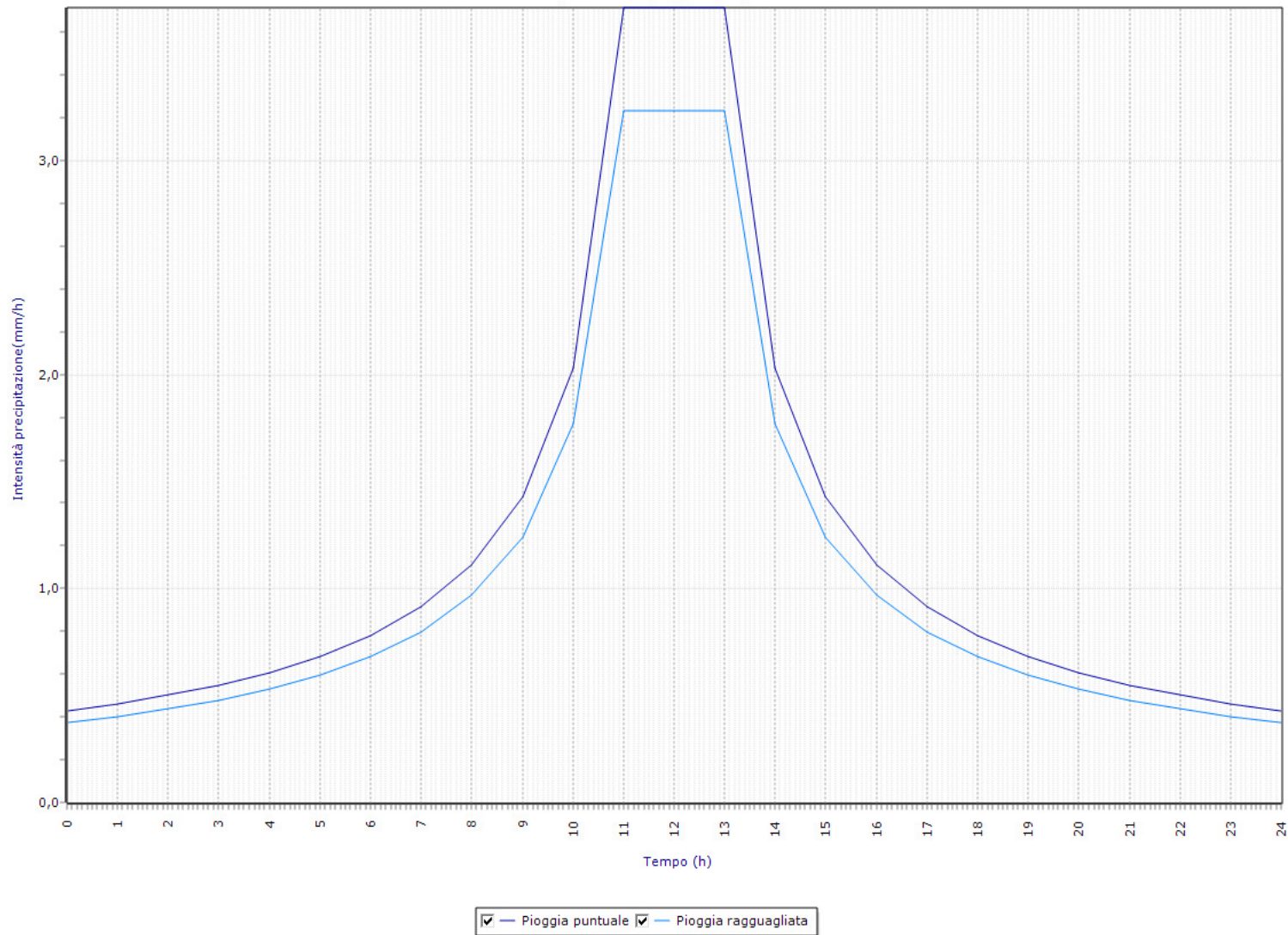
Ietogramma della pioggia di progetto



Ietogramma della pioggia di progetto

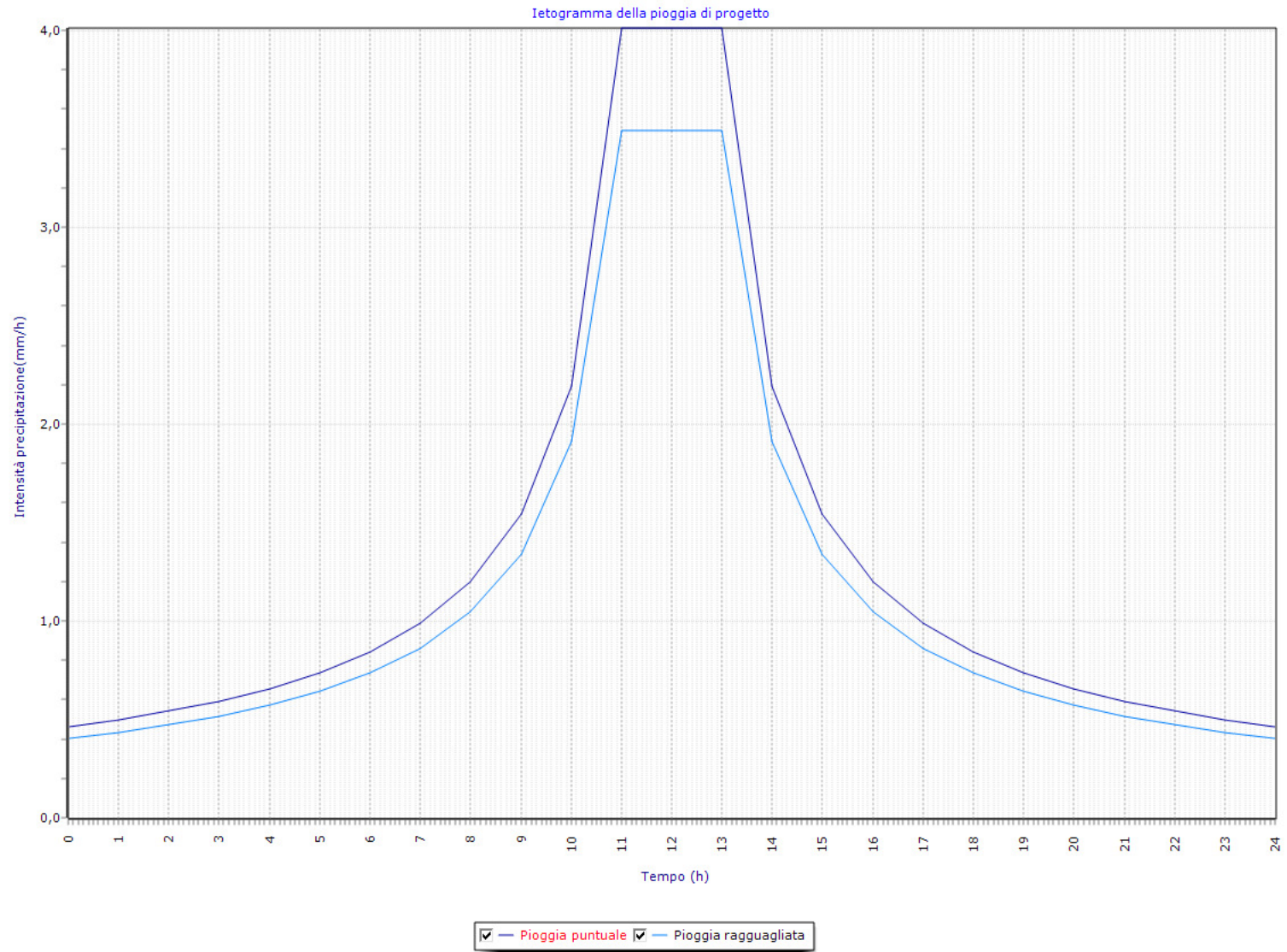
| N. | Tempo(ore) | intensità(mm/h) | int.ragg.(mm/h) |
|----|------------|-----------------|-----------------|
| 1 | 0,0 | 0,43 | 0,37 |
| 2 | 1,0 | 0,46 | 0,4 |
| 3 | 2,0 | 0,5 | 0,44 |
| 4 | 3,0 | 0,55 | 0,48 |
| 5 | 4,0 | 0,61 | 0,53 |
| 6 | 5,0 | 0,68 | 0,59 |
| 7 | 6,0 | 0,78 | 0,68 |
| 8 | 7,0 | 0,92 | 0,8 |
| 9 | 8,0 | 1,11 | 0,97 |
| 10 | 9,0 | 1,43 | 1,24 |
| 11 | 10,0 | 2,03 | 1,77 |
| 12 | 11,0 | 3,71 | 3,23 |
| 13 | 12,0 | 3,71 | 3,23 |
| 14 | 13,0 | 3,71 | 3,23 |
| 15 | 14,0 | 2,03 | 1,77 |
| 16 | 15,0 | 1,43 | 1,24 |
| 17 | 16,0 | 1,11 | 0,97 |
| 18 | 17,0 | 0,92 | 0,8 |
| 19 | 18,0 | 0,78 | 0,68 |
| 20 | 19,0 | 0,68 | 0,59 |
| 21 | 20,0 | 0,61 | 0,53 |
| 22 | 21,0 | 0,55 | 0,48 |
| 23 | 22,0 | 0,5 | 0,44 |
| 24 | 23,0 | 0,46 | 0,4 |
| 25 | 24,0 | 0,43 | 0,37 |

Ietogramma della pioggia di progetto



Ietogramma della pioggia di progetto

| N. | Tempo(ore) | intensità(mm/h) | int.ragg.(mm/h) |
|----|------------|-----------------|-----------------|
| 1 | 0,0 | 0,46 | 0,4 |
| 2 | 1,0 | 0,5 | 0,43 |
| 3 | 2,0 | 0,54 | 0,47 |
| 4 | 3,0 | 0,59 | 0,52 |
| 5 | 4,0 | 0,66 | 0,57 |
| 6 | 5,0 | 0,74 | 0,64 |
| 7 | 6,0 | 0,84 | 0,73 |
| 8 | 7,0 | 0,99 | 0,86 |
| 9 | 8,0 | 1,2 | 1,04 |
| 10 | 9,0 | 1,54 | 1,34 |
| 11 | 10,0 | 2,19 | 1,91 |
| 12 | 11,0 | 4,01 | 3,49 |
| 13 | 12,0 | 4,01 | 3,49 |
| 14 | 13,0 | 4,01 | 3,49 |
| 15 | 14,0 | 2,19 | 1,91 |
| 16 | 15,0 | 1,54 | 1,34 |
| 17 | 16,0 | 1,2 | 1,04 |
| 18 | 17,0 | 0,99 | 0,86 |
| 19 | 18,0 | 0,84 | 0,73 |
| 20 | 19,0 | 0,74 | 0,64 |
| 21 | 20,0 | 0,66 | 0,57 |
| 22 | 21,0 | 0,59 | 0,52 |
| 23 | 22,0 | 0,54 | 0,47 |
| 24 | 23,0 | 0,5 | 0,43 |
| 25 | 24,0 | 0,46 | 0,4 |

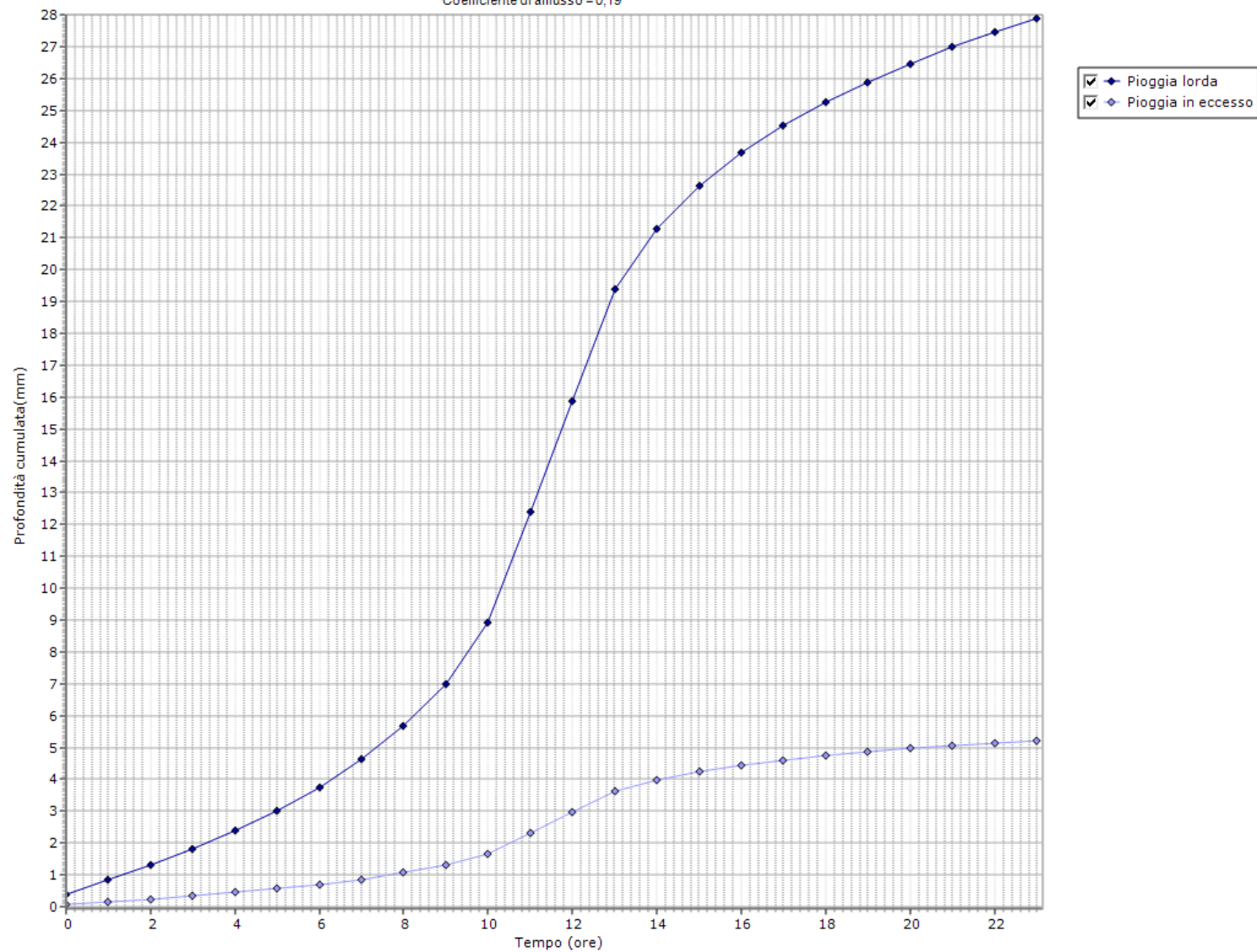


Precipitazione efficace (Rasulo e Gisonni)

| N. | Tempo(ore) | Pioggia(mm/h) | Pioggia(mm) | Pioggia(mm) | P.eff.(mm) | P.eff.(mm) |
|----|------------|---------------|-------------|-------------|------------|------------|
| 1 | 0,0 | 0,4 | 0,4 | 0,4 | 0,08 | 0,08 |
| 2 | 1,0 | 0,43 | 0,43 | 0,83 | 0,08 | 0,16 |
| 3 | 2,0 | 0,47 | 0,47 | 1,3 | 0,09 | 0,24 |
| 4 | 3,0 | 0,52 | 0,52 | 1,82 | 0,1 | 0,34 |
| 5 | 4,0 | 0,57 | 0,57 | 2,39 | 0,11 | 0,45 |
| 6 | 5,0 | 0,64 | 0,64 | 3,03 | 0,12 | 0,57 |
| 7 | 6,0 | 0,73 | 0,73 | 3,76 | 0,14 | 0,71 |
| 8 | 7,0 | 0,86 | 0,86 | 4,62 | 0,16 | 0,87 |
| 9 | 8,0 | 1,04 | 1,04 | 5,66 | 0,19 | 1,06 |
| 10 | 9,0 | 1,34 | 1,34 | 7,0 | 0,25 | 1,31 |
| 11 | 10,0 | 1,91 | 1,91 | 8,91 | 0,36 | 1,67 |
| 12 | 11,0 | 3,49 | 3,49 | 12,4 | 0,65 | 2,33 |
| 13 | 12,0 | 3,49 | 3,49 | 15,89 | 0,65 | 2,98 |
| 14 | 13,0 | 3,49 | 3,49 | 19,38 | 0,65 | 3,63 |
| 15 | 14,0 | 1,91 | 1,91 | 21,29 | 0,36 | 3,99 |
| 16 | 15,0 | 1,34 | 1,34 | 22,63 | 0,25 | 4,24 |
| 17 | 16,0 | 1,04 | 1,04 | 23,67 | 0,19 | 4,44 |
| 18 | 17,0 | 0,86 | 0,86 | 24,53 | 0,16 | 4,6 |
| 19 | 18,0 | 0,73 | 0,73 | 25,26 | 0,14 | 4,74 |
| 20 | 19,0 | 0,64 | 0,64 | 25,9 | 0,12 | 4,86 |
| 21 | 20,0 | 0,57 | 0,57 | 26,47 | 0,11 | 4,96 |
| 22 | 21,0 | 0,52 | 0,52 | 26,99 | 0,1 | 5,06 |
| 23 | 22,0 | 0,47 | 0,47 | 27,46 | 0,09 | 5,15 |
| 24 | 23,0 | 0,43 | 0,43 | 27,89 | 0,08 | 5,23 |

Precipitazione efficace (Rasulo e Gisondi)

Coefficiente di afflusso = 0,19

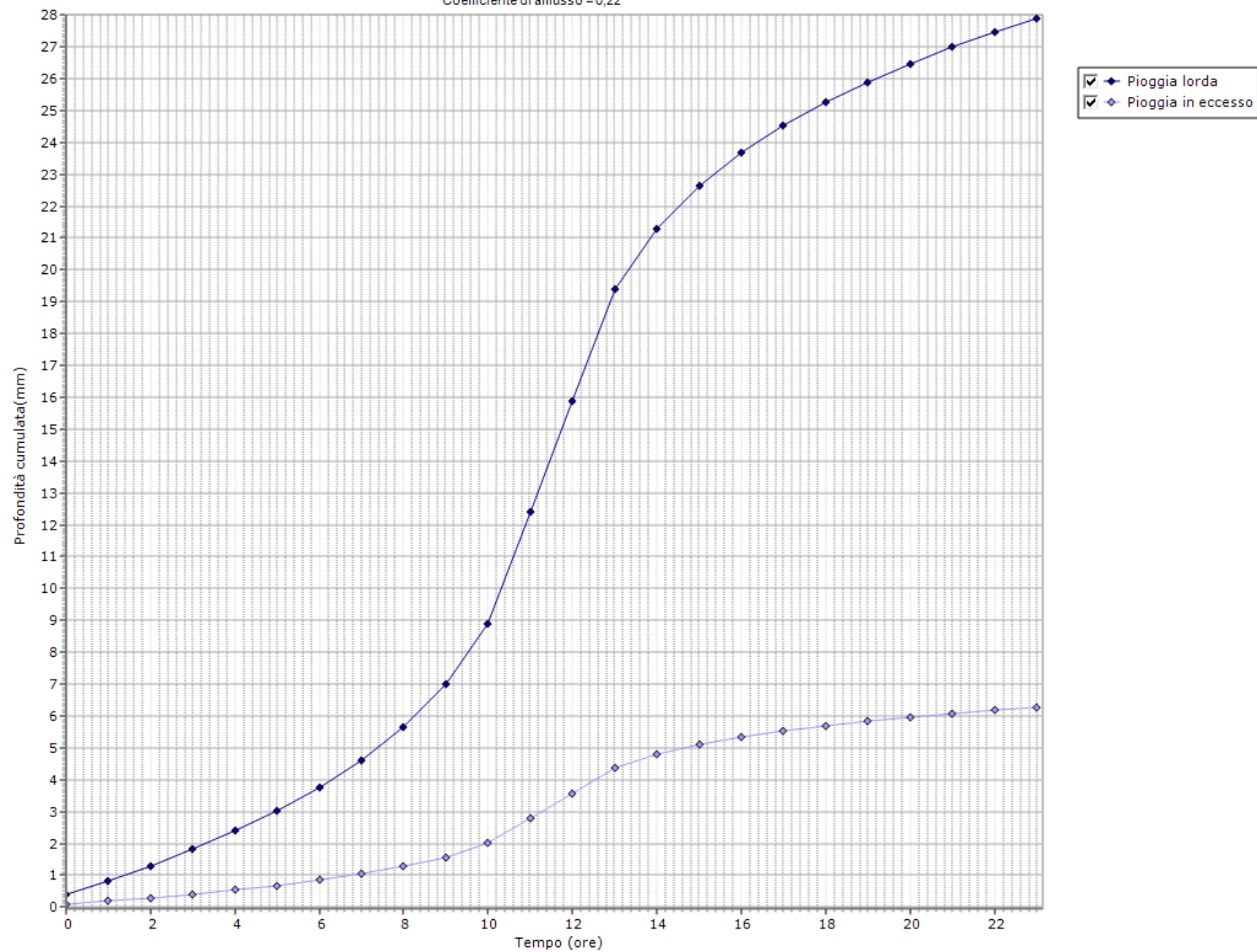


Precipitazione efficace (Rasulo e Gisonni)

| N. | Tempo(ore) | Pioggia(mm/h) | Pioggia(mm) | Pioggia(mm) | P.eff.(mm) | P.eff.(mm) |
|----|------------|---------------|-------------|-------------|------------|------------|
| 1 | 0,0 | 0,4 | 0,4 | 0,4 | 0,09 | 0,09 |
| 2 | 1,0 | 0,43 | 0,43 | 0,83 | 0,1 | 0,19 |
| 3 | 2,0 | 0,47 | 0,47 | 1,3 | 0,11 | 0,29 |
| 4 | 3,0 | 0,52 | 0,52 | 1,82 | 0,12 | 0,41 |
| 5 | 4,0 | 0,57 | 0,57 | 2,39 | 0,13 | 0,54 |
| 6 | 5,0 | 0,64 | 0,64 | 3,03 | 0,14 | 0,68 |
| 7 | 6,0 | 0,73 | 0,73 | 3,76 | 0,16 | 0,85 |
| 8 | 7,0 | 0,86 | 0,86 | 4,62 | 0,19 | 1,04 |
| 9 | 8,0 | 1,04 | 1,04 | 5,66 | 0,23 | 1,27 |
| 10 | 9,0 | 1,34 | 1,34 | 7,0 | 0,3 | 1,57 |
| 11 | 10,0 | 1,91 | 1,91 | 8,91 | 0,43 | 2,0 |
| 12 | 11,0 | 3,49 | 3,49 | 12,4 | 0,79 | 2,79 |
| 13 | 12,0 | 3,49 | 3,49 | 15,89 | 0,79 | 3,58 |
| 14 | 13,0 | 3,49 | 3,49 | 19,38 | 0,79 | 4,36 |
| 15 | 14,0 | 1,91 | 1,91 | 21,29 | 0,43 | 4,79 |
| 16 | 15,0 | 1,34 | 1,34 | 22,63 | 0,3 | 5,09 |
| 17 | 16,0 | 1,04 | 1,04 | 23,67 | 0,23 | 5,33 |
| 18 | 17,0 | 0,86 | 0,86 | 24,53 | 0,19 | 5,52 |
| 19 | 18,0 | 0,73 | 0,73 | 25,26 | 0,16 | 5,68 |
| 20 | 19,0 | 0,64 | 0,64 | 25,9 | 0,14 | 5,83 |
| 21 | 20,0 | 0,57 | 0,57 | 26,47 | 0,13 | 5,96 |
| 22 | 21,0 | 0,52 | 0,52 | 26,99 | 0,12 | 6,07 |
| 23 | 22,0 | 0,47 | 0,47 | 27,46 | 0,11 | 6,18 |
| 24 | 23,0 | 0,43 | 0,43 | 27,89 | 0,1 | 6,28 |

Precipitazione efficace (Rasulo e Gisondi)

Coefficiente di afflusso = 0,22

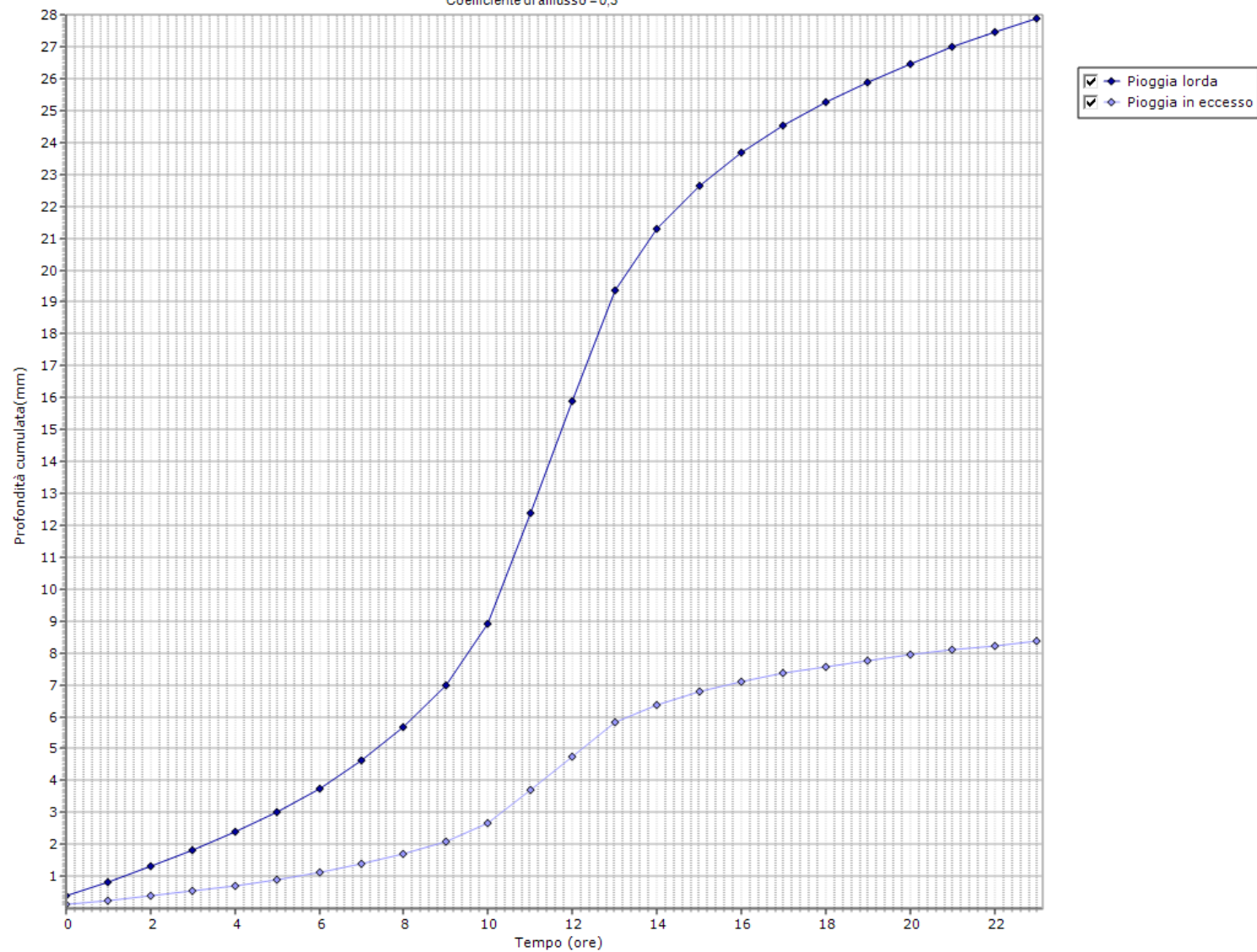


Precipitazione efficace (Rasulo e Gisonni)

| N. | Tempo(ore) | Pioggia(mm/h) | Pioggia(mm) | Pioggia(mm) | P.eff.(mm) | P.eff.(mm) |
|----|------------|---------------|-------------|-------------|------------|------------|
| 1 | 0,0 | 0,4 | 0,4 | 0,4 | 0,12 | 0,12 |
| 2 | 1,0 | 0,43 | 0,43 | 0,83 | 0,13 | 0,25 |
| 3 | 2,0 | 0,47 | 0,47 | 1,3 | 0,14 | 0,39 |
| 4 | 3,0 | 0,52 | 0,52 | 1,82 | 0,16 | 0,55 |
| 5 | 4,0 | 0,57 | 0,57 | 2,39 | 0,17 | 0,72 |
| 6 | 5,0 | 0,64 | 0,64 | 3,03 | 0,19 | 0,91 |
| 7 | 6,0 | 0,73 | 0,73 | 3,76 | 0,22 | 1,13 |
| 8 | 7,0 | 0,86 | 0,86 | 4,62 | 0,26 | 1,39 |
| 9 | 8,0 | 1,04 | 1,04 | 5,66 | 0,31 | 1,7 |
| 10 | 9,0 | 1,34 | 1,34 | 7,0 | 0,4 | 2,1 |
| 11 | 10,0 | 1,91 | 1,91 | 8,91 | 0,57 | 2,67 |
| 12 | 11,0 | 3,49 | 3,49 | 12,4 | 1,05 | 3,72 |
| 13 | 12,0 | 3,49 | 3,49 | 15,89 | 1,05 | 4,77 |
| 14 | 13,0 | 3,49 | 3,49 | 19,38 | 1,05 | 5,81 |
| 15 | 14,0 | 1,91 | 1,91 | 21,29 | 0,57 | 6,39 |
| 16 | 15,0 | 1,34 | 1,34 | 22,63 | 0,4 | 6,79 |
| 17 | 16,0 | 1,04 | 1,04 | 23,67 | 0,31 | 7,1 |
| 18 | 17,0 | 0,86 | 0,86 | 24,53 | 0,26 | 7,36 |
| 19 | 18,0 | 0,73 | 0,73 | 25,26 | 0,22 | 7,58 |
| 20 | 19,0 | 0,64 | 0,64 | 25,9 | 0,19 | 7,77 |
| 21 | 20,0 | 0,57 | 0,57 | 26,47 | 0,17 | 7,94 |
| 22 | 21,0 | 0,52 | 0,52 | 26,99 | 0,16 | 8,1 |
| 23 | 22,0 | 0,47 | 0,47 | 27,46 | 0,14 | 8,24 |
| 24 | 23,0 | 0,43 | 0,43 | 27,89 | 0,13 | 8,37 |

Precipitazione efficace (Rasulo e Gisondi)

Coefficiente di afflusso = 0,3

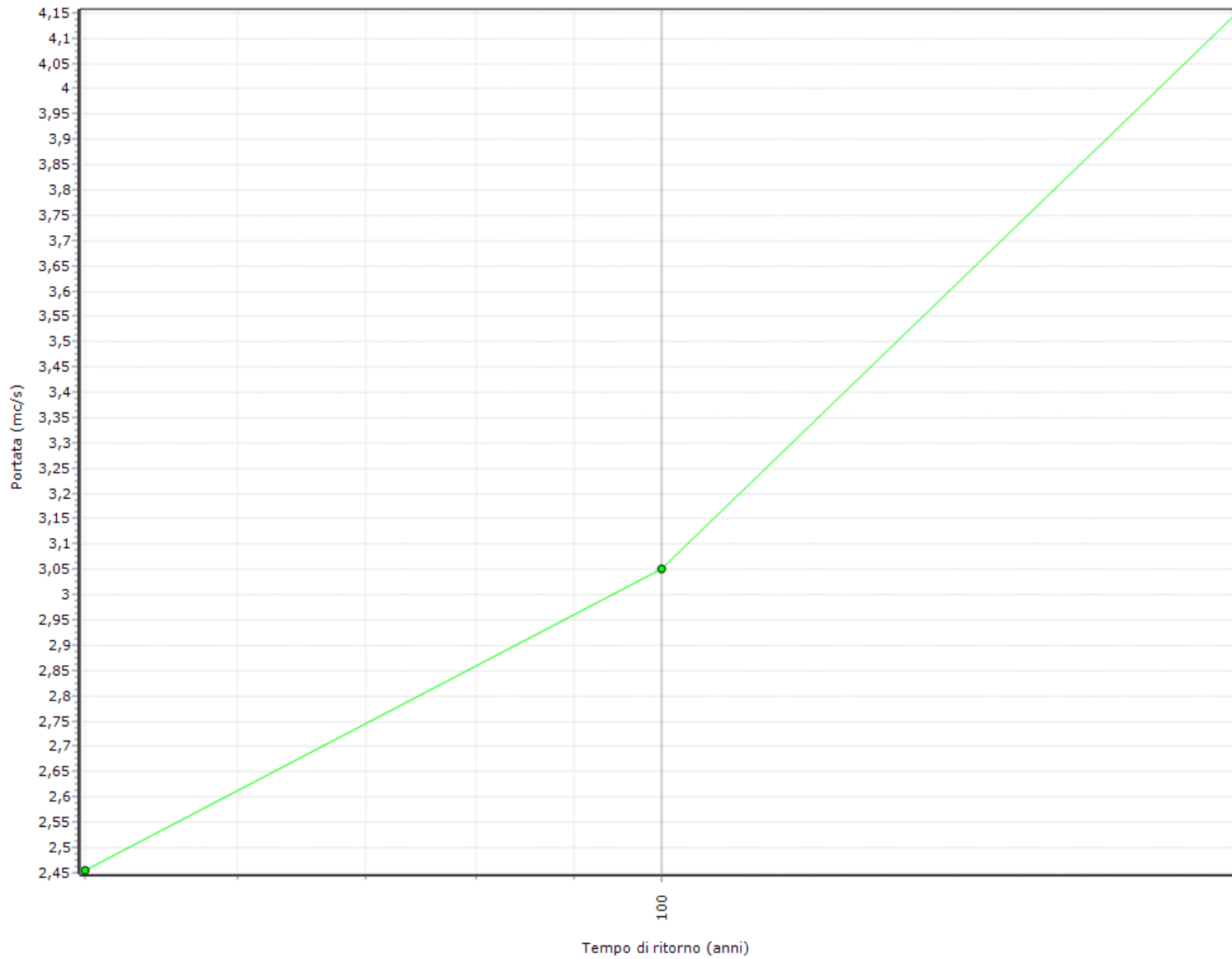


Portata di piena massima (metodi cinematici) - Metodo razionale

| N. | Tempo di ritorno(anni) | H pioggia(mm) | Qmax(mc/s) |
|----|------------------------|---------------|------------|
| 1 | 50 | 5,23 | 2,45 |
| 2 | 100 | 6,28 | 3,05 |
| 3 | 200 | 8,37 | 4,15 |

Portata di piena massima (metodi cinematici) - Metodo razionale

● Portata di piena massima

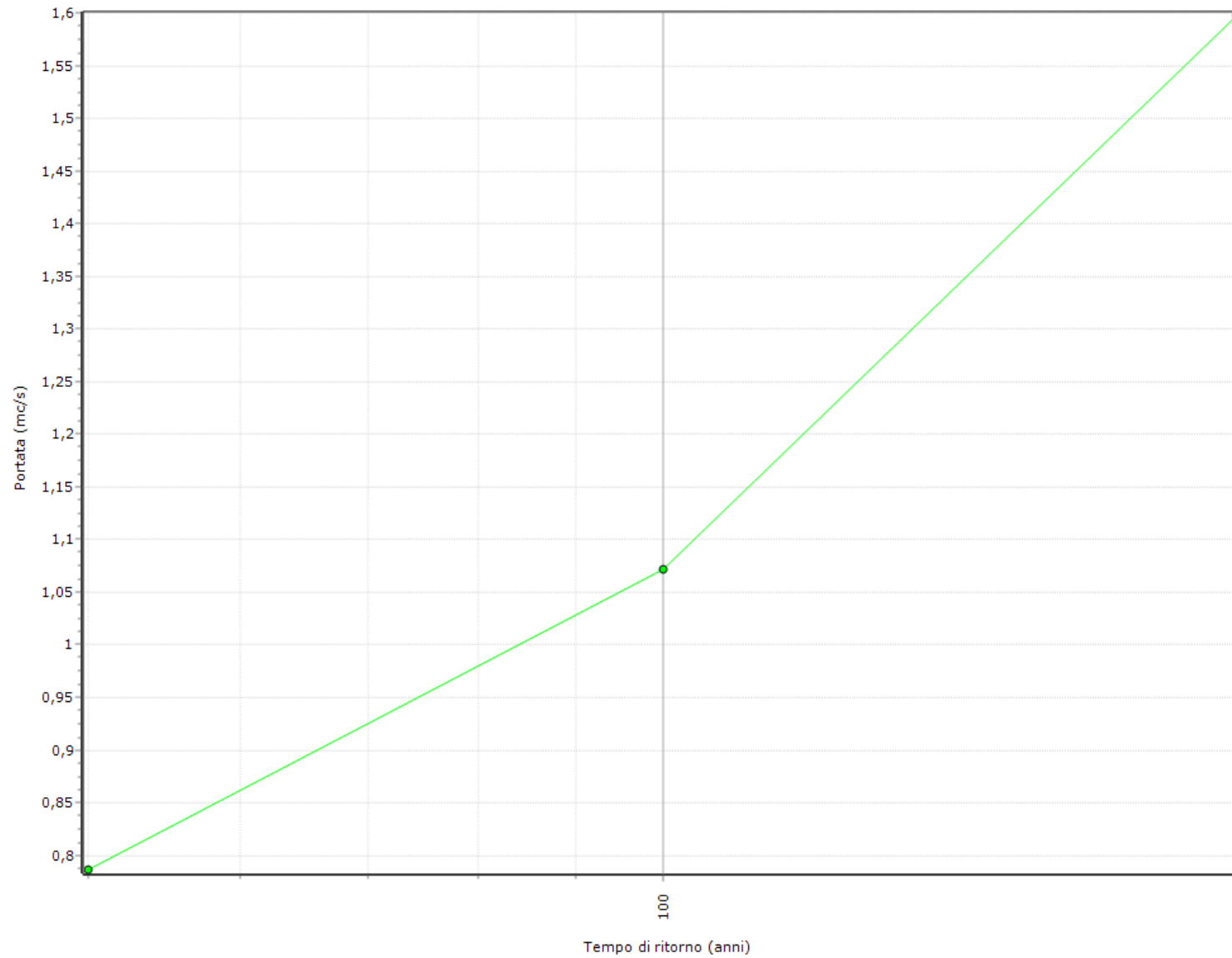


Portata di piena massima (metodi cinematici) - Formula di Merlo

| N. | Tempo di ritorno(anni) | H pioggia(mm) | Qmax(mc/s) |
|----|------------------------|---------------|------------|
| 1 | 50 | 5,23 | 0,79 |
| 2 | 100 | 6,28 | 1,07 |
| 3 | 200 | 8,37 | 1,6 |

Portata di piena massima (metodi cinematici) - Formula di Merlo

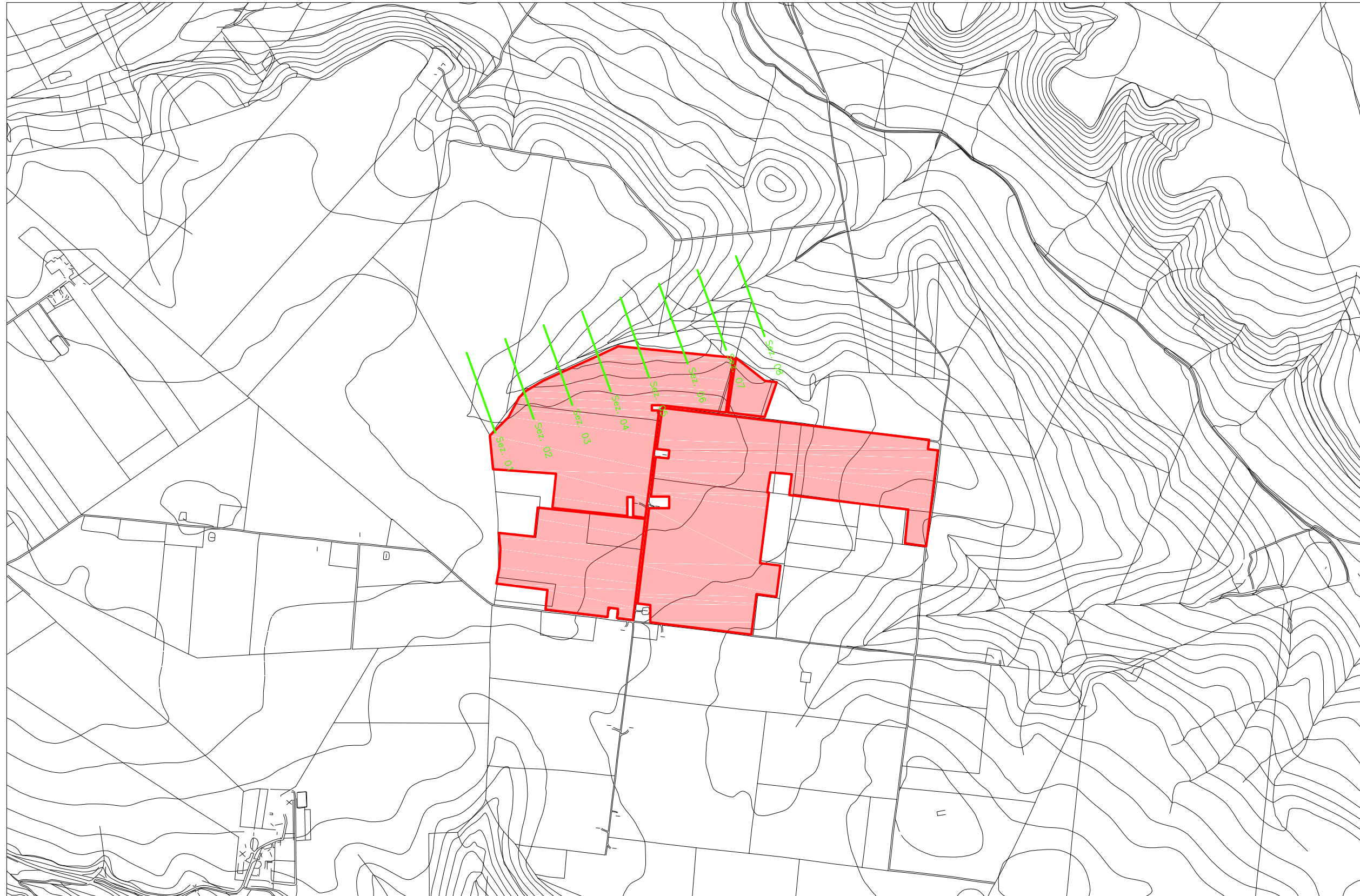
● Portata di piena massima





UBICAZIONE TRACCE SEZIONI TOPOGRAFICHE

"Progetto per la realizzazione di un impianto alimentato da fonte fotovoltaica - Ascoli Satriano"

STUDIO DI COMPATIBILITA' IDROGEOLOGICA



LEGENDA

-  Area impianto fotovoltaico
-  Traccia di sezione



scala 1:10.000

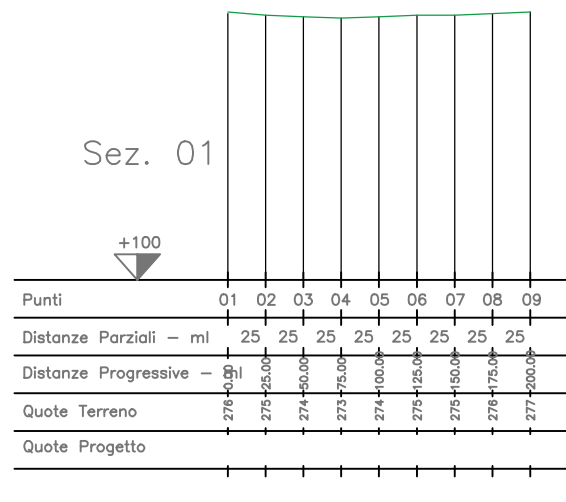
SEZIONI TOPOGRAFICHE

"Progetto per la realizzazione di un impianto alimentato da fonte fotovoltaica - Ascoli Satriano"

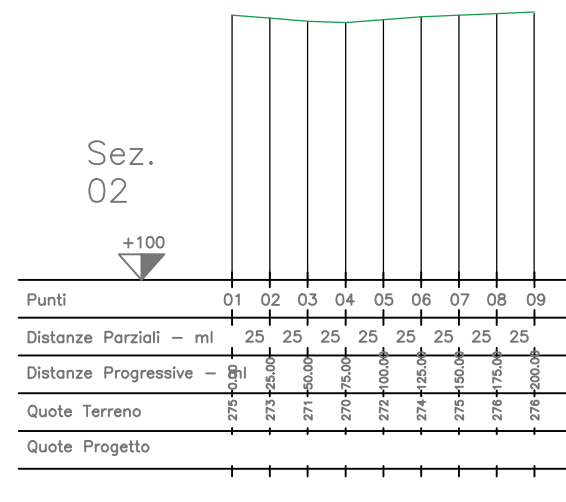
STUDIO DI COMPATIBILITA' IDROGEOLOGICA



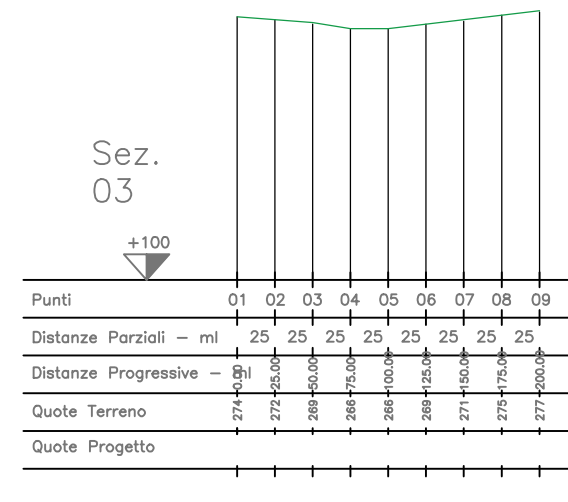
Sez. 01



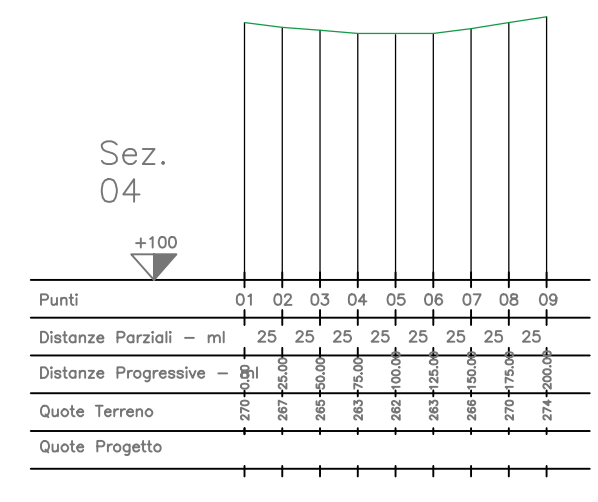
Sez. 02



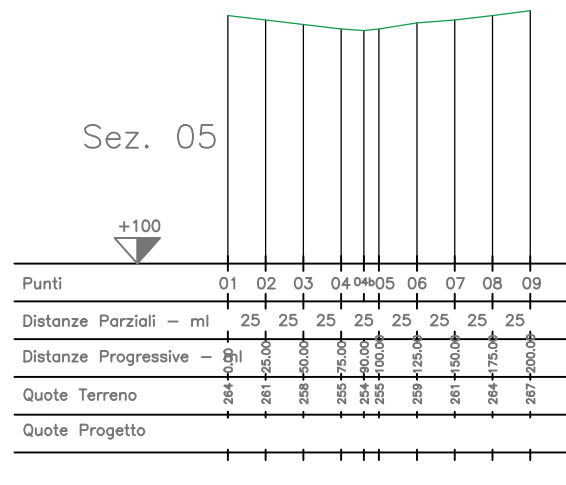
Sez. 03



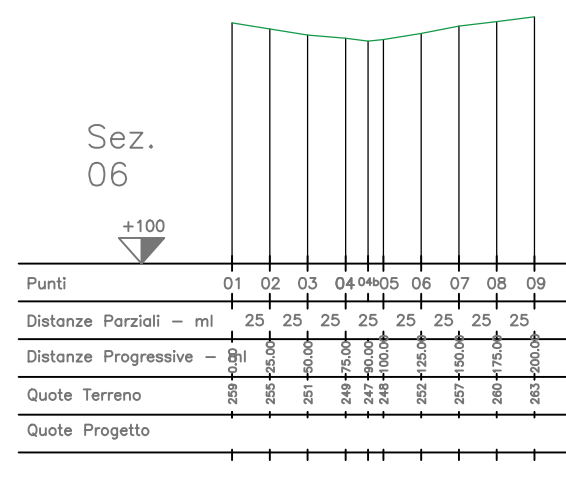
Sez. 04



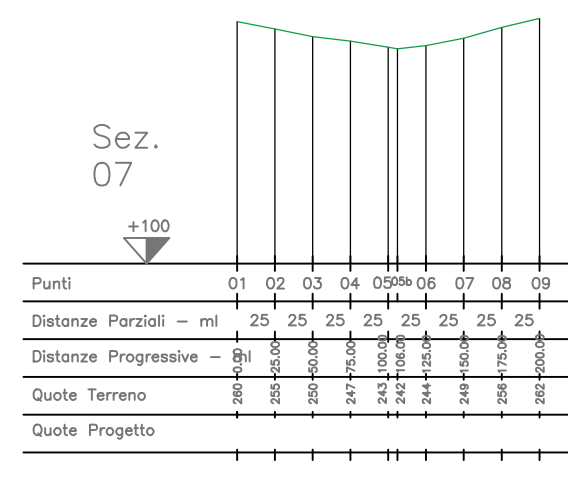
Sez. 05



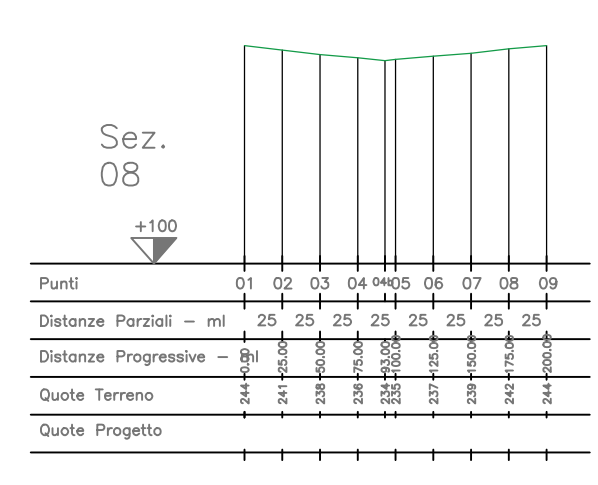
Sez. 06



Sez. 07



Sez. 08



Verifica d'alveo SEZIONE N.1 in condizioni di moto uniforme

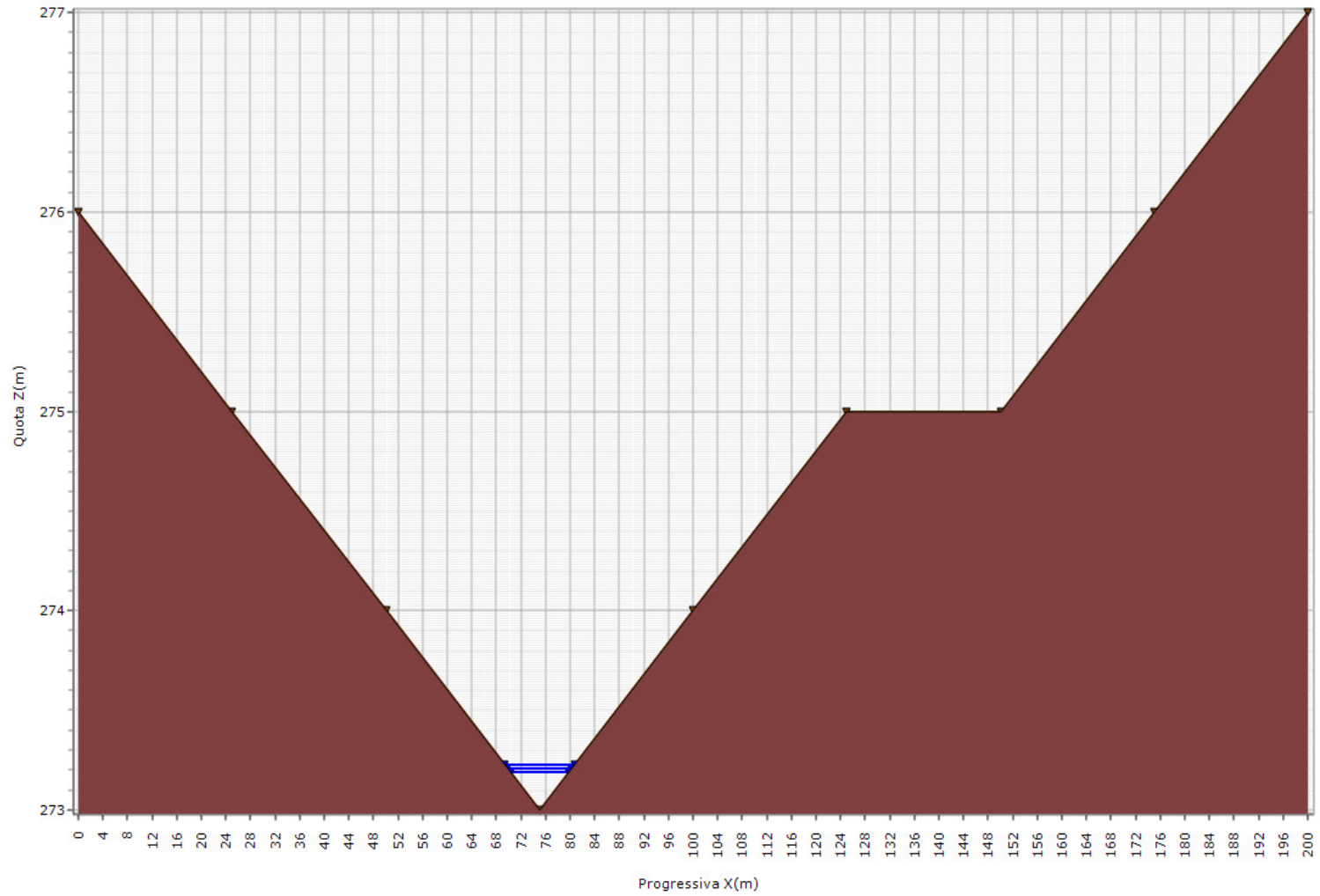
| N. | X (m) | Z (m) | Ks (m ^{1/3} /s) |
|----|-------|-------|--------------------------|
| 1 | 0,00 | 276 | 40 |
| 2 | 25 | 275 | 40 |
| 3 | 50 | 274 | 45 |
| 4 | 75 | 273 | 45 |
| 5 | 100 | 274 | 45 |
| 6 | 125 | 275 | 40 |
| 7 | 150 | 275 | 40 |
| 8 | 175 | 276 | 40 |
| 9 | 200 | 277 | 40 |

Verifica d'alveo SEZIONE N.1 in condizioni di moto uniforme

| N. | T.ritorno(anni) | Portata(mc/s) | Altezza(m) | Velocità(m/s) |
|----|-----------------|---------------|------------|---------------|
| 1 | 50 | 1,62 | 273,19 | 1,98 |
| 2 | 100 | 2,06 | 273,21 | 2,12 |
| 3 | 200 | 2,88 | 273,23 | 2,25 |

Verifica d'alveo SEZIONE N.1 in condizioni di moto uniforme

Sezione alveo Livello idrometrico



GEO CONSULTLAB S.r.l. S.S. 7 Bis - Area P.I.P. 83030 - Manocalzati (AV) info@geoconsultlab.it 0825675873



Verifica d'alveo SEZIONE N.2 in condizioni di moto uniforme

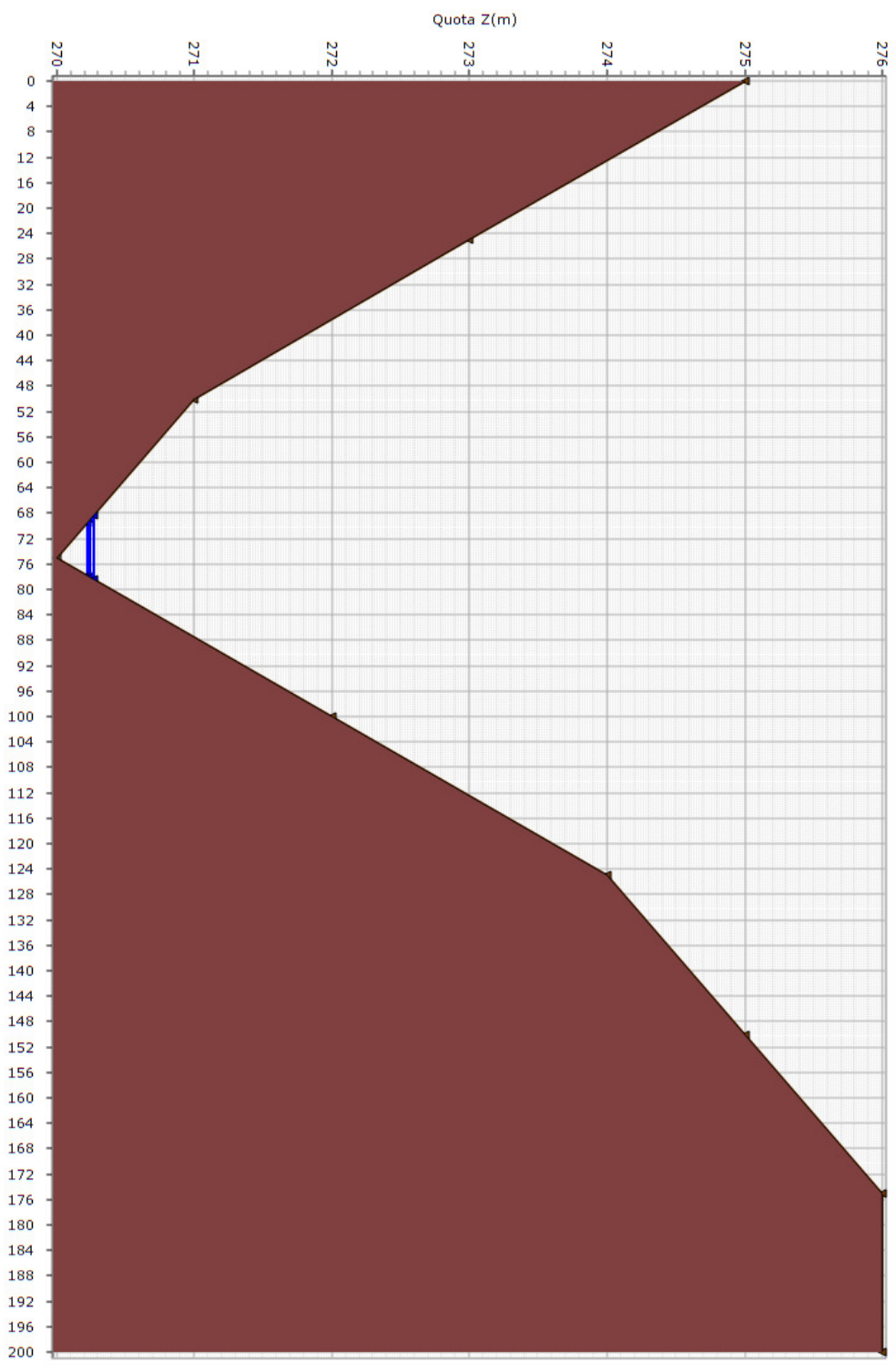
| N. | X (m) | Z (m) | Ks (m ^{1/3} /s) |
|----|-------|-------|--------------------------|
| 1 | 0,00 | 275 | 40 |
| 2 | 25 | 273 | 40 |
| 3 | 50 | 271 | 45 |
| 4 | 75 | 270 | 45 |
| 5 | 100 | 272 | 45 |
| 6 | 125 | 274 | 40 |
| 7 | 150 | 275 | 40 |
| 8 | 175 | 276 | 40 |
| 9 | 200 | 276 | 40 |

Verifica d'alveo SEZIONE N.2 in condizioni di moto uniforme

| N. | T.ritorno(anni) | Portata(mc/s) | Altezza(m) | Velocità(m/s) |
|----|-----------------|---------------|------------|---------------|
| 1 | 50 | 1,62 | 270,22 | 1,99 |
| 2 | 100 | 2,06 | 270,24 | 2,11 |
| 3 | 200 | 2,88 | 270,27 | 2,28 |

Verifica d'alveo SEZIONE N.2 in condizioni di moto uniforme

Sezione alveo Livello idrometrico



GEO CONSULTLAB S.r.l. S.S. 7 Bis - Area P.I.P. 93030 - Manocalzati (AV) info@geconsultlab.it 0825675873

Progressiva X(m)

Quota Z(m)



Verifica d'alveo SEZIONE N.3 in condizioni di moto uniforme

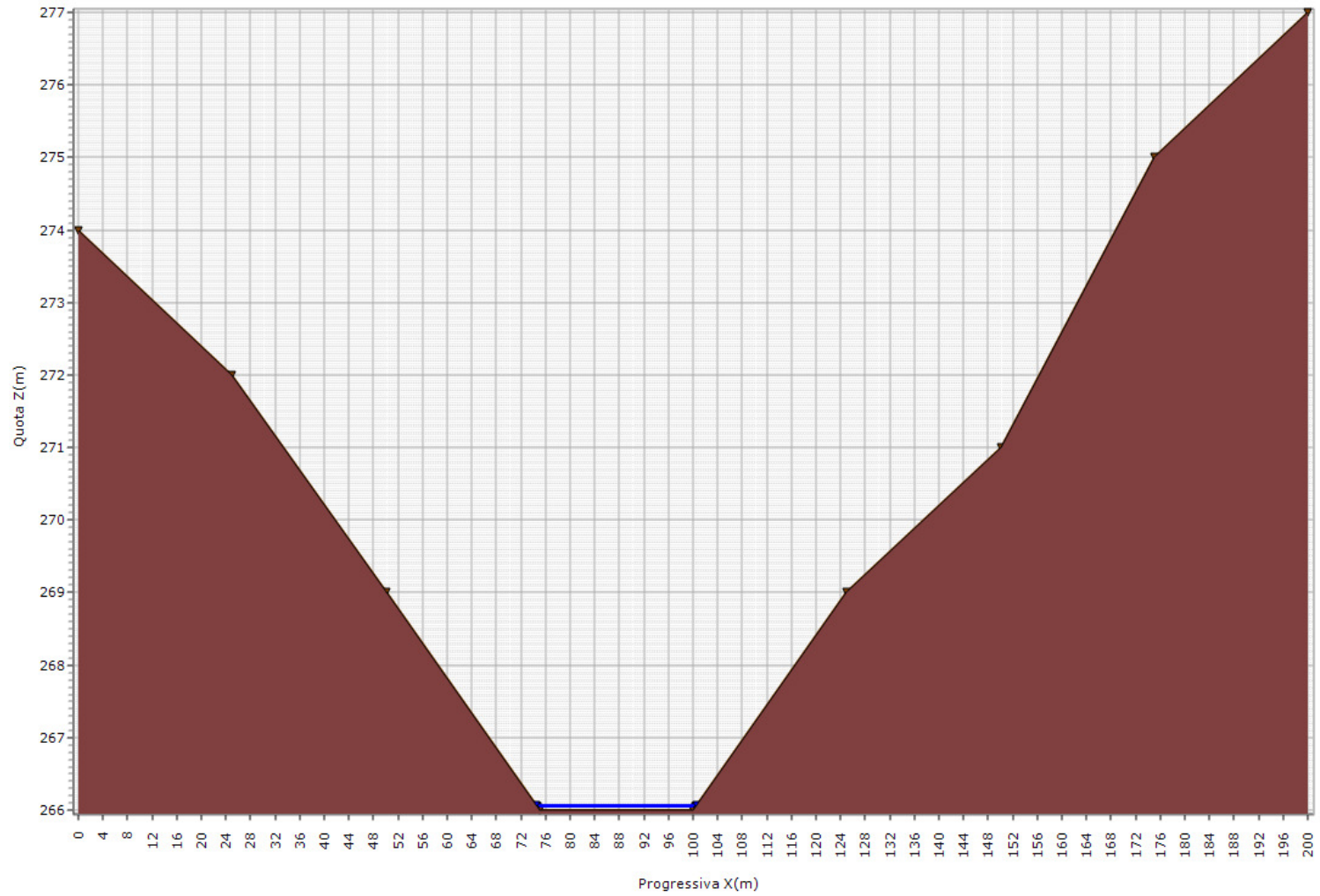
| N. | X (m) | Z (m) | Ks (m ^{1/3} /s) |
|----|-------|-------|--------------------------|
| 1 | 0,00 | 274 | 40 |
| 2 | 25 | 272 | 40 |
| 3 | 50 | 269 | 45 |
| 4 | 75 | 266 | 45 |
| 5 | 100 | 266 | 45 |
| 6 | 125 | 269 | 45 |
| 7 | 150 | 271 | 40 |
| 8 | 175 | 275 | 40 |
| 9 | 200 | 277 | 40 |

Verifica d'alveo SEZIONE N.3 in condizioni di moto uniforme

| N. | T.ritorno(anni) | Portata(mc/s) | Altezza(m) | Velocità(m/s) |
|----|-----------------|---------------|------------|---------------|
| 1 | 50 | 1,62 | 266,05 | 1,78 |
| 2 | 100 | 2,06 | 266,05 | 1,78 |
| 3 | 200 | 2,88 | 266,06 | 2,01 |

Verifica d'alveo SEZIONE N.3 in condizioni di moto uniforme

Sezione alveo Livello idrometrico



GEO CONSULTLAB S.r.l. S.S. 7 Bis - Area P.I.P. 83030 - Manocalzati (AV) info@geoconsultlab.it 0825675873



Verifica d'alveo SEZIONE N.4 in condizioni di moto uniforme

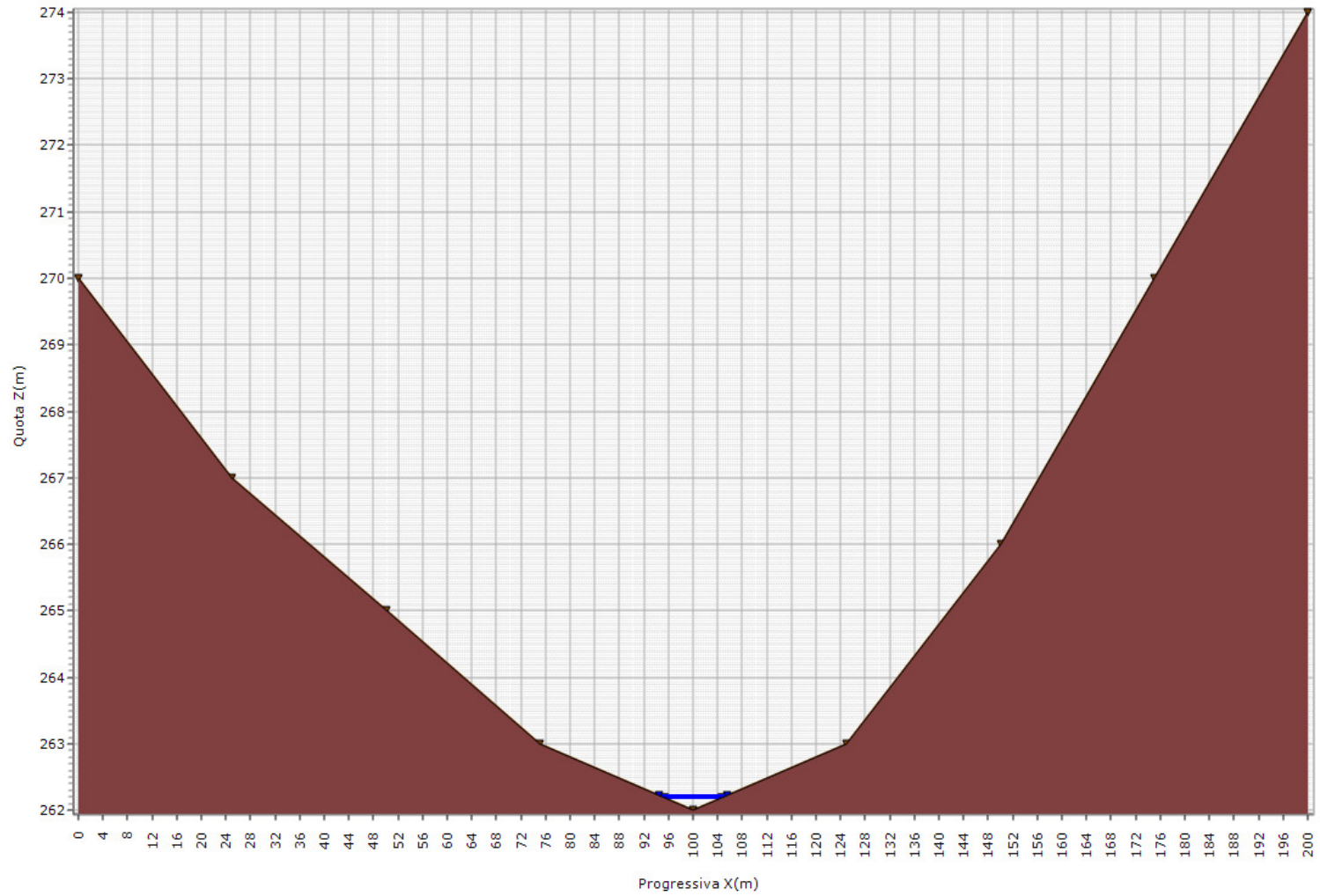
| N. | X (m) | Z (m) | Ks (m ^{1/3} /s) |
|----|-------|-------|--------------------------|
| 1 | 0,00 | 270 | 40 |
| 2 | 25 | 267 | 40 |
| 3 | 50 | 265 | 40 |
| 4 | 75 | 263 | 45 |
| 5 | 100 | 262 | 45 |
| 6 | 125 | 263 | 45 |
| 7 | 150 | 266 | 40 |
| 8 | 175 | 270 | 40 |
| 9 | 200 | 274 | 40 |

Verifica d'alveo SEZIONE N.4 in condizioni di moto uniforme

| N. | T.ritorno(anni) | Portata(mc/s) | Altezza(m) | Velocità(m/s) |
|----|-----------------|---------------|------------|---------------|
| 1 | 50 | 1,62 | 262,18 | 2,21 |
| 2 | 100 | 2,06 | 262,19 | 2,29 |
| 3 | 200 | 2,88 | 262,22 | 2,52 |

Verifica d'alveo SEZIONE N.4 in condizioni di moto uniforme

Sezione alveo Livello idrometrico



GEO CONSULTLAB S.r.l. S.S. 7 Bis - Area P.I.P. 83030 - Manocalzati (AV) info@geoconsultlab.it 0825675873



Verifica d'alveo SEZIONE N.5 in condizioni di moto uniforme

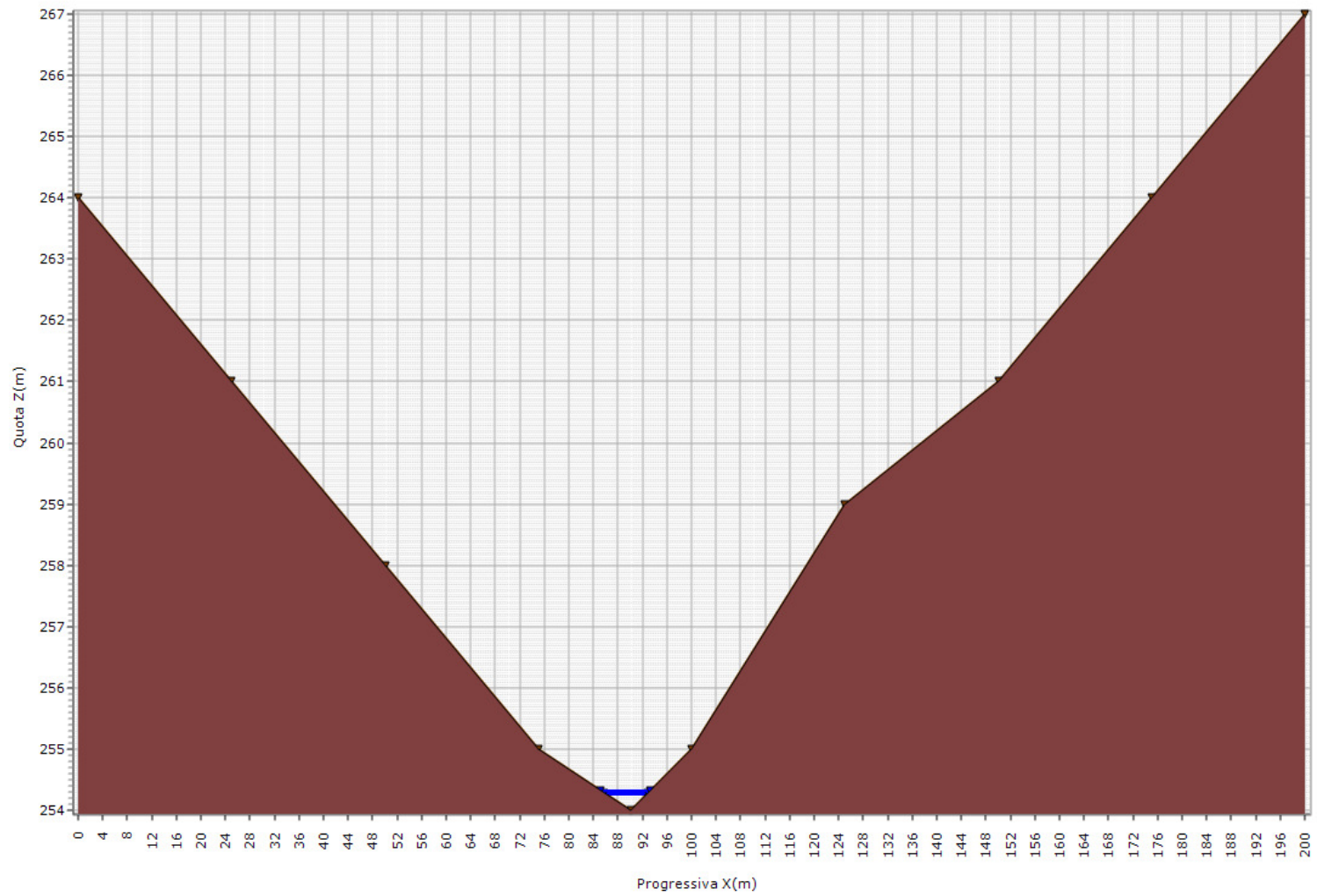
| N. | X (m) | Z (m) | Ks (m ^{1/3} /s) |
|----|-------|-------|--------------------------|
| 1 | 0,00 | 264 | 40 |
| 2 | 25 | 261 | 40 |
| 3 | 50 | 258 | 45 |
| 4 | 75 | 255 | 45 |
| 5 | 90 | 254 | 45 |
| 6 | 100 | 255 | 45 |
| 7 | 125 | 259 | 45 |
| 8 | 150 | 261 | 40 |
| 9 | 175 | 264 | 40 |
| 10 | 200 | 267 | 40 |

Verifica d'alveo SEZIONE N.5 in condizioni di moto uniforme

| N. | T.ritorno(anni) | Portata(mc/s) | Altezza(m) | Velocità(m/s) |
|----|-----------------|---------------|------------|---------------|
| 1 | 50 | 1,62 | 254,26 | 2,01 |
| 2 | 100 | 2,06 | 254,28 | 2,11 |
| 3 | 200 | 2,88 | 254,32 | 2,31 |

Verifica d'alveo SEZIONE N.5 in condizioni di moto uniforme

Sezione alveo Livello idrometrico



GEO CONSULTLAB S.r.l. S.S. 7 Bis - Area P.I.P. 83030 - Manocalzati (AV) info@geoconsultlab.it 0825675873



Verifica d'alveo SEZIONE N.6 in condizioni di moto uniforme

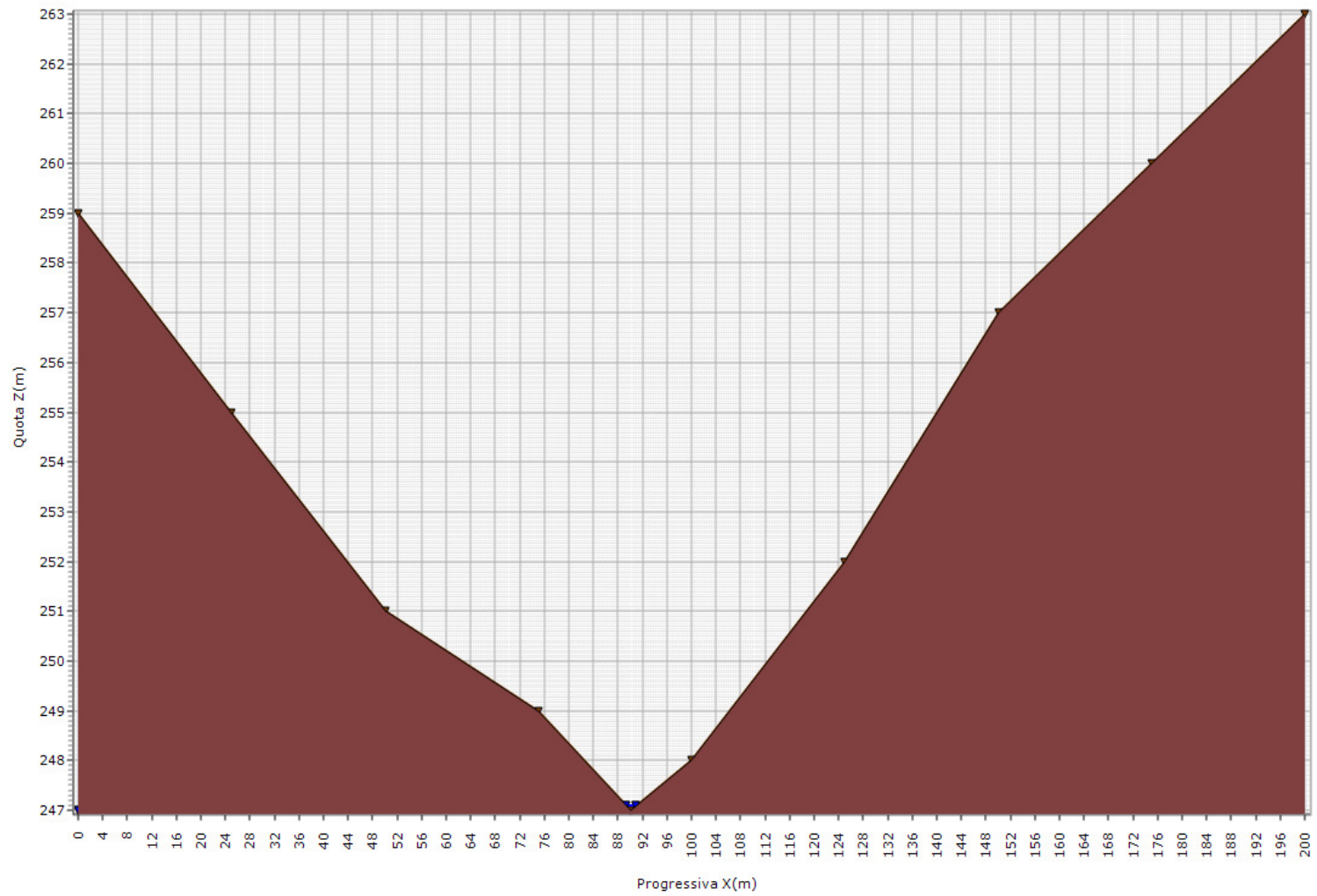
| N. | X (m) | Z (m) | Ks (m ^{1/3} /s) |
|----|-------|-------|--------------------------|
| 1 | 0,00 | 259 | 40 |
| 2 | 25 | 255 | 40 |
| 3 | 50 | 251 | 45 |
| 4 | 75 | 249 | 45 |
| 5 | 90 | 247 | 45 |
| 6 | 100 | 248 | 45 |
| 7 | 125 | 252 | 45 |
| 8 | 150 | 257 | 40 |
| 9 | 175 | 260 | 40 |
| 10 | 200 | 263 | 40 |

Verifica d'alveo SEZIONE N.6 in condizioni di moto uniforme

| N. | T.ritorno(anni) | Portata(mc/s) | Altezza(m) | Velocità(m/s) |
|----|-----------------|---------------|------------|---------------|
| 1 | 50 | 0,0 | 247,0 | 0,0 |
| 2 | 100 | 0,1 | 247,09 | 1,76 |
| 3 | 200 | 0,1 | 247,09 | 1,76 |

Verifica d'alveo SEZIONE N.6 in condizioni di moto uniforme

Sezione alveo Livello idrometrico



GEO CONSULTLAB S.r.l. S.S. 7 Bis - Area P.I.P. 83030 - Manocalzati (AV) info@geoconsultlab.it 0825675873



Verifica d'alveo SEZIONE N.7 in condizioni di moto uniforme

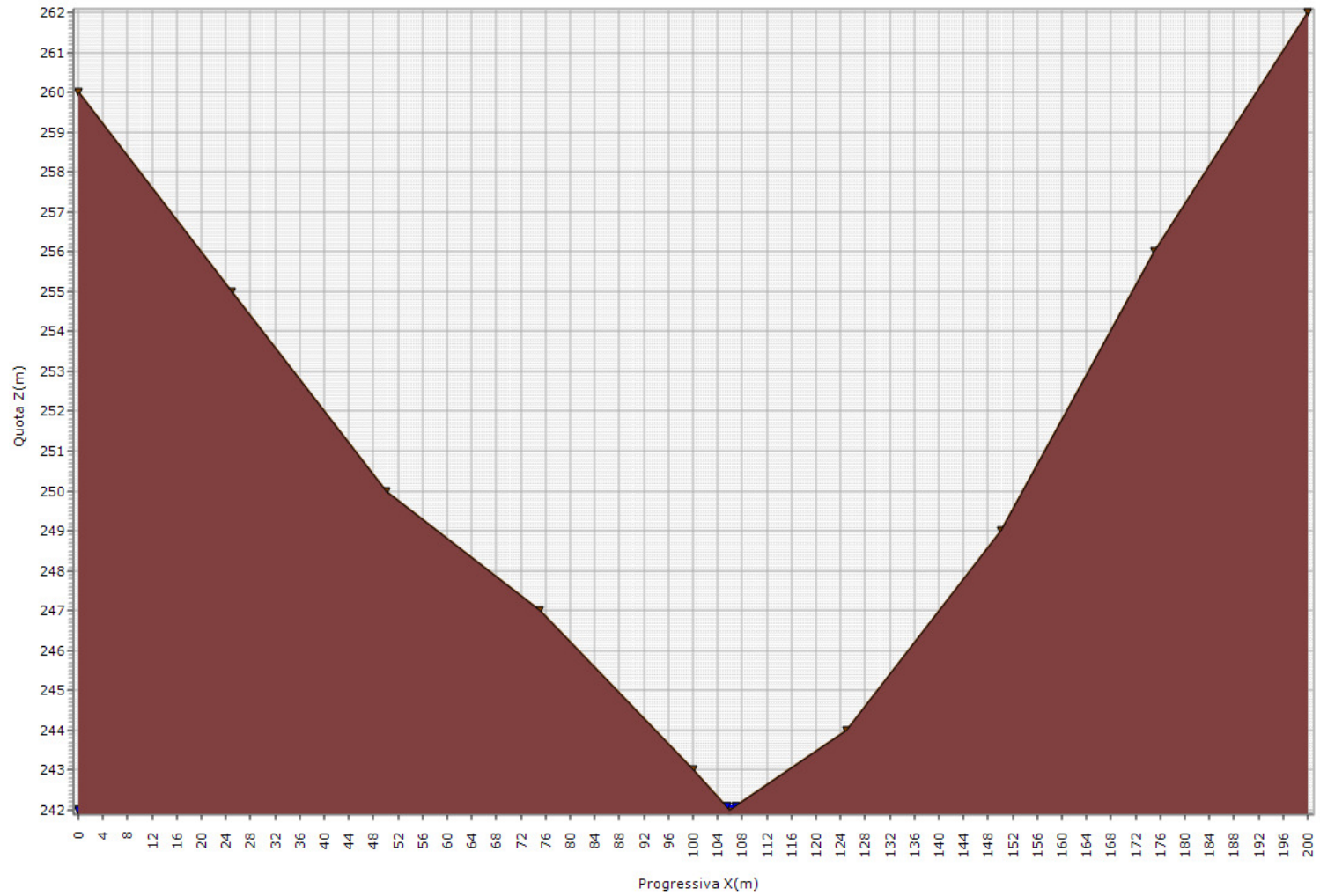
| N. | X (m) | Z (m) | Ks (m ^{1/3} /s) |
|----|-------|-------|--------------------------|
| 1 | 0,00 | 260 | 40 |
| 2 | 25 | 255 | 40 |
| 3 | 50 | 250 | 40 |
| 4 | 75 | 247 | 45 |
| 5 | 100 | 243 | 45 |
| 6 | 106 | 242 | 45 |
| 7 | 125 | 244 | 45 |
| 8 | 150 | 249 | 40 |
| 9 | 175 | 256 | 40 |
| 10 | 200 | 262 | 40 |

Verifica d'alveo SEZIONE N.7 in condizioni di moto uniforme

| N. | T.ritorno(anni) | Portata(mc/s) | Altezza(m) | Velocità(m/s) |
|----|-----------------|---------------|------------|---------------|
| 1 | 50 | 0,0 | 242,0 | 0,0 |
| 2 | 100 | 0,1 | 242,09 | 1,62 |
| 3 | 200 | 0,1 | 242,09 | 1,62 |

Verifica d'alveo SEZIONE N.7 in condizioni di moto uniforme

Sezione alveo Livello idrometrico



GEO CONSULTLAB S.r.l. S.S. 7 Bis - Area P.I.P. 83030 - Manocalzati (AV) info@geoconsultlab.it 0825675873



Verifica d'alveo SEZIONE N.8 in condizioni di moto uniforme

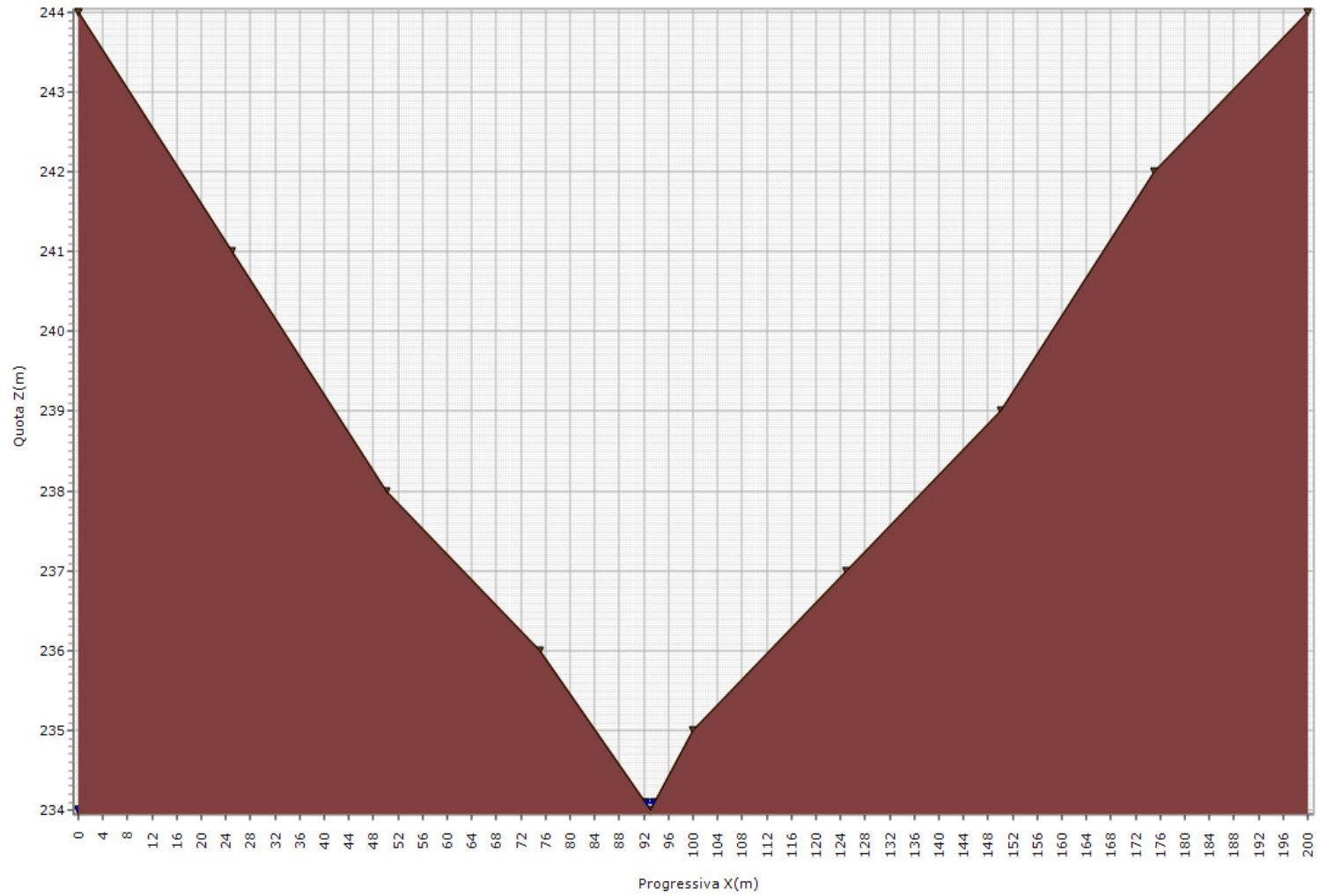
| N. | X (m) | Z (m) | Ks (m ^{1/3} /s) |
|----|-------|-------|--------------------------|
| 1 | 0,00 | 244 | 40 |
| 2 | 25 | 241 | 40 |
| 3 | 50 | 238 | 40 |
| 4 | 75 | 236 | 45 |
| 5 | 93 | 234 | 45 |
| 6 | 100 | 235 | 45 |
| 7 | 125 | 237 | 45 |
| 8 | 150 | 239 | 40 |
| 9 | 175 | 242 | 40 |
| 10 | 200 | 244 | 40 |

Verifica d'alveo SEZIONE N.8 in condizioni di moto uniforme

| N. | T.ritorno(anni) | Portata(mc/s) | Altezza(m) | Velocità(m/s) |
|----|-----------------|---------------|------------|---------------|
| 1 | 50 | 0,0 | 234,0 | 0,0 |
| 2 | 100 | 0,1 | 234,09 | 1,55 |
| 3 | 200 | 0,1 | 234,09 | 1,55 |

Verifica d'alveo SEZIONE N.8 in condizioni di moto uniforme

Sezione alveo Livello idrometrico



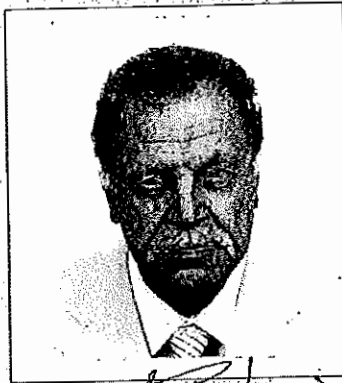
GEO CONSULTLAB S.r.l. S.S. 7 Bis - Area P.I.P. 83030 - Manocalzati (AV) info@geoconsultlab.it 0825675873



Cognome **POLZONE**
 Nome **NICOLA**
 nato il **19-03-1948**
 (atto n. **30** p. **1** s. A **1948**)
 a **PRATOLA SERRA (AV)**
 Cittadinanza **Italiana**
 Residenza **PRATOLA SERRA (AV)**
 Via **GARIBALDI 13**
 Stato civile **STATO LIBERO**
 Professione **PENSIONATO**

CONNOTATI E CONTRASSEGNI SALIENTI


Statura **176**
 Capelli **Brizzolati**
 Occhi **Castani**
 Segni particolari **N.N.**

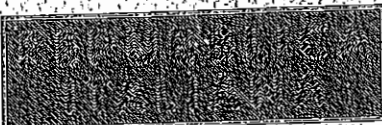
Firma del titolare *Nicola Polzone*
 PRATOLA SERRA il **30-07-2014**
 IL SINDACO



Scadenza: **19-03-2025**




AT 1685899



IP.Z.S. spa - OFFICINA C.V. - ROMA

REPUBBLICA ITALIANA



COMUNE DI
PRATOLA SERRA

CARTA D'IDENTITA'
 N° AT 1685899
 DI
 POLZONE NICOLA